



Na - пакеты

VIII-3901

1950

CeCl₃-NaCl; CeCl₃-CaCl₂, CeCl₃
(Tm)

Nishihara K., Shimizu Y., Katori S.
J. Electrochem. Soc. Japan,
1950, 18, 179-180



5

lets g.k

P39·Cl₃·Mcl

BGP-9009-5 1961.

P.39 = La, Ce, Pr, Nd Новиков Т. И.

M = R, Na Баев А. К.

Вестн. Академии наук Узбекской ССР. 1961, № 22, 116 - 126

АН

Na Ga Fy

(Tm)

1962
BP-1073-8

Matches F., Holz S.

L. Chev. 1962, 2, N1, 22-23

Na Gd O₂

Blasse H.

11964

J. Inorg. Nucl. Chem. 26(5), 901-2

Nippon.

Cryogenic structure and magnetism
of Li Gd O₂ and Na Gd O₂.

(Cited: Li Gd O₂)

X-6010

1984

Na_2SmCl_5 , $\text{K}_2\text{Sm}_2\text{Cl}_7$, K_2SmCl_5 , K_3SmCl_6 ,
 $\text{Rb}_2\text{Sm}_2\text{Cl}_7$, Rb_2SmCl_5 , Rb_3SmCl_6 , $\text{Cs}_2\text{Sm}_2\text{Cl}_7$,
 Cs_3SmCl_6
(Tm)

Коршунов Б.Г., Дроботом А.В.,

Бухтиаров В.В., Мебиевъ З.Н.,

Ж. неоргик. химии, 1964, 9, 1427-1430

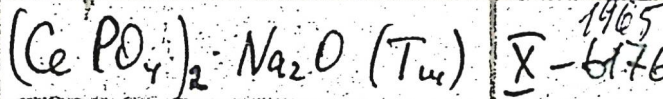


Б

СА, 1964, 61, № 5, 5788+

50524.I748

Х



Взаимодействие метафосфата натрия с
окислами церия, неодима и самария.

Беруль С.И., Воскресенская Н.К.

"Ж. неорган. химии", 1965, 10, № 5, III0-II20

Б

РИНИТИ 806

50524.1748

X

$Na_6Ce_2(P_2O_7)_3$ (T_u)

1968
X-6176

Взаимодействие метафосфата натрия с
окислами церия, неодима и самария.

Беруль С.И., Воскресенская Н.К.

"Ж. неорган. химии", 1965, 10, № 5, III0-II20

Б

РИНИТИ 806

1965

NaNdF₄

6 Б351. Кристаллическая структура гексагонального фторида Na и Nd и сходных с ним соединений. Billups John H. Crystal structure of hexagonal sodium neodymium fluoride and related compounds. «Inorgan. Chem.», 1965, 4, № 6, 881—886 (англ.)

Проведено рентгенографич. исследование (методы порошка, Вейссенберга, вращения и прецессии, λ Cu, Mo) NaNdF₄. Параметры гексагон. решетки: a 6,100, c 3,711 Å, ф. гр. Р6. Структура найдена из трехмерного распределения функции Паттерсона и уточнена методом наименьших квадратов до R 0,019. Атомы F в структуре располагаются на плоскостях $r=0$ и $1/2$ и образуют «треугольный» мотив. Катионы в структуре занимают позиции трех типов: однократные, занимаемые ионами Nd^{+3} , однократные, неупорядоченно занятые на $1/2$ ионами Na^+ и на $1/2$ ионами Nd^{+3} , и двукратные, неупорядоченно занятые ионами Na^+ . В первых двух положе-

крист
стр-ра

РЖХ, 1966,

ниях катионы находятся в окружении 9 атомов F, расположенных по вершинам и над центрами боковых граней тригональной призмы; в третьем — в искаженном октаэдре из атомов F. Межатомные расстояния: Nd—F 2,377 и 2,426, (Na, Nd)—F 2,393 и 2,503, Na—F 2,298, 2,459, F—F 2,708—3,641 Å. Структурой, сходной с NaNdF_4 , обладает тагаринит NaCaMF_6 (РЖХим, 1963, 13Б253), а также, вероятно, соединения NaMF_4 (M — элементы редких земель или Y^{+3}), причем в зависимости от M структура может обладать ф. гр. $P\bar{6}$ или $P\bar{6}_3/m$.
С. Рыкова

Na - Ln - Cl

1965

D 18 Б611. Некоторые закономерности комплексообразования в расплавах, содержащих хлориды редкоземельных и щелочных металлов. Дробот Д. В., Коршунов Б. Г., Шевцова З. М. В сб. «Физ. химия расплавл. солей». М., «Металлургия», 1965, 48—54

Tm
Изучено комплексообразование LnCl_3 , где $\text{Ln} = \text{Sm}, \text{Y}, \text{Gd}, \text{Dy}$ и Er с MCl ($\text{M} = \text{Na}, \text{K}, \text{Rb}, \text{Cs}$) при их совместной кристаллизации из расплавов. В системах РЗЭ с NaCl образуются соединения Na_2LnCl_5 (кроме $\text{NaCl} - \text{SmCl}_3$) с т. пл. (инконгруэнтно) 550; 486; 520 и 542 соотв. для $\text{Ln} = \text{Y}, \text{Gd}, \text{Dy}, \text{Er}$. В системе $\text{NaCl} - \text{SmCl}_3$ фаза Na_2SmCl_5 плавится инконгруэнтно при 425° . В системе $\text{NaCl} - \text{DyCl}_3$ образуется вторая фаза NaDyCl_{10} с т. пл. 420° (инконгруэнтно). В системах с KCl общими фазами являются $\text{KLn}_3\text{Cl}_{10}$ (кроме Sm) с т. пл. 535° (инконгруэнтно); 580 и 600° (конгруэнтно); 490° (инконг-

+3

X. 1966-18



руэнтино) для $\text{Ln} = \text{Y}, \text{Gd}, \text{Dy}, \text{Er}$ соотв. и K_3LnCl_6 (кроме Gd), к-рые плавятся конгруэнтино при 745, 830, 790 и 780 соотв. для $\text{Sm}, \text{Y}, \text{Dy}$ и Er . В системах (Sm, Gd) Cl_3-KCl образуются, кроме того, фазы K_2LnCl_5 , плавящиеся инконгруэнтино при 570 и 542° соотв. и KSmCl_7 с т. пл. 545° (конгруэнтино). В системах (Rb, Cs) $\text{Cl}-\text{SmCl}_3$ образуются фазы MSm_2Cl_7 и M_3SmCl_6 с т. пл. 585 и 832° для Rb и 660 и 886° для Cs (конгруэнтино), а также фаза Rb_2SmCl_5 , плавящаяся инконгруэнтино при 480°. Для Sm закономерно увеличивается прочность соединений MSm_2Cl_7 и M_3SmCl_6 , а прочность соединений M_2SmCl_5 уменьшается. Изучены также системы (Sm, Y) $\text{Cl}_3-\text{NaCl}-\text{KCl}$, в к-рых обнаружено соединение $\text{KNa}_2\text{Ln}_2\text{Cl}_{10}$. Расчет линии ликвидуса по ур-нию Шредера позволяет предположить существование в расплаве комплексных ионов $[\text{LnCl}_6]^{3-}$.

Р. Лидин

51019.995

х

Na_3EuCl_6 (T_{tr})

1965

х-6270

Взаимодействие хлоридов европия (III),
гольмия и эрбия с хлоридом натрия.

Коршунов Б.Г., Дробот Д.В.

"Ж. неорган. химии", 1965, 10, № 10,

2310-2314

Б

БОЛЬШИЙ ОРИГИНАЛ

933

ВИНИТИ

1965

Na Yb O₂

4 Б378. Синтез иттербиата натрия. Муравьева И. А., Ковба Л. М., Мартыненко Л. И., Спицын Викт. И. «Ж. неорганической химии», 1965, 10, № 7, 1756—1757

Прокаливанием смесей нитратов Yb и Na с отношением $\text{Yb}(\text{NO}_3)_3 : \text{NaNO}_3 = 1 : 2$ и $1 : 3$ при 850° в течение 6 час. получен NaYbO_2 . Рентгенограмма порошка проиндцирована в гексагон. сингонии (приведены значения I и d). Соединение изоструктурно индиату и α -ферриту натрия (РЖХим, 1959, № 1, 683). Параметры решетки: a 3,350, c 16,53 Å.

Реферат авторов

X · 1966

· 4

БК-6307

1965

NaLaCl₄

15 Б589. Давление и состав насыщенного пара в системе NaCl—LaCl₃. Новиков Г. И., Толмачева В. Д. «Ж. неорган. химии», 1965, 10, № 12, 2712—2716

По общему давл. и брутто-составу пара в системе NaCl—LaCl₃ для т-р 1000—1400° над расплавами, содержащими 25, 50, 67 мол. % NaCl, рассчитаны парц. давл. с учетом равновесий в паре: $(\text{NaLaCl}_4)(\text{пар}) = (\text{NaCl})(\text{пар}) + (\text{LaCl}_3)(\text{пар})$; $(\text{Na}_2\text{Cl}_2)(\text{пар}) = 2(\text{NaCl})(\text{пар})$. Для процесса диссоциации двойного соединения вычислены $\Delta H^{\circ}(1500^{\circ}\text{ К}) = 69,8 \pm 2,5$ ккал/моль и $\Delta S^{\circ}(1500^{\circ}\text{ К}) = 32,8 \pm 1,8$ энтр. ед. Из сопоставления с другими однотипными системами делается вывод, что двойные соединения типа NaLaCl₄ могут рассматриваться как замещ. димеры соотв-их хлоридов щел. металлов.

Реферат авторов

по Г.И. Новиков, В.Д. Толмачеву
жнх, 1964, 2, 118

Класс = КС + ЛСС (штн)

$$\Delta H_{1350^{\circ}\text{К}} = 61,4 ; \Delta S_{1350^{\circ}\text{К}} = 32,6$$

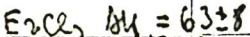
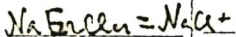
Х. 1966 · 15

ЗР-Х-6306 1965

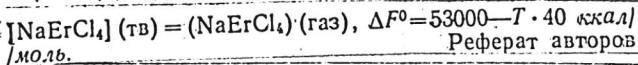
На зе Су

15 Б590. Давление и состав насыщенного пара в системе $\text{NaCl}-\text{ErCl}_3$. Новиков Г. И., Гаврюченков Ф. Г. «Ж. неорган. химии», 1965, № 10, № 12, 2706—2711

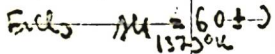
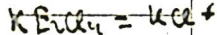
Методом точек кипения в интервале 1000—1200° измерено давл. насыщ. пара и анализом конденсатов определен брутто-состав пара над расплавом в системе $\text{NaCl}-\text{ErCl}_3$. Сделано заключение о существовании в паре двойного хлорида NaErCl_4 и рассчитаны термодинамические функции равновесий: $(\text{NaErCl}_4) \text{ (газ)} = (\text{NaCl}) \text{ (газ)} + (\text{ErCl}_3) \text{ (газ)}$, $\Delta F^0 = 63000 - T \cdot 34$ ккал/моль, и



1373°К



Реферат авторов



1373°К

—200 по решению Г.И.Новикова, проф. Г. Гаврюченко, ЖНХ, № 10, 1668 (1965)

Х. 1966 · 15

51230.13401

х

NaLaCl₄ (0H, 0S°
диссоциация)

1965
Х-6307

Давление и состав насыщенного пара в системе
 $NaCl-LaCl_3$. Новиков Г.И., Толмачева В.Д.
"Х. неорган. химии", 1965, 10, № 12, 2712-
2716

М

Есть оригинал

995

ВИНИТИ

~~74~~ VII - 4954 / 1965

$\text{Li}_2\text{Si}_2\text{O}_7 \cdot 4\text{H}_2\text{O}$, $\text{Na}_2\text{Si}_2\text{O}_7 \cdot 4\text{H}_2\text{O}$,
 $\text{K}_2\text{Si}_2\text{O}_7 \cdot 4\text{H}_2\text{O}$, $\text{Si}_{14}(\text{P}_2\text{O}_7)_3$
(T_{tr})

Ташаев Н.Б., Чебресеко Г.В.,
Узб. Академ. Научн. материалы,
1965, 1, № 3, 369-373'



5

С.А., 1965, 63, № 3, 26058

3675

1965

Zn₂(SO₄)₃ · Na₂SO₄ · 2H₂O (8m)

Зайцева Л.Л., Конаков В.Н.

Хричев А.А., Чертковова Е.Г.,
Бровинчиков М.И.

M. neofranc. химии, 1965, 10,

5 1440-1443.

ст, 1965, 63, № 18704.

$\text{NaCl} \cdot \text{HoCl}_3$

BP - X - 4424

(T_m , T_{tr})

76637s Differential thermal analysis of rare earth and alkali metal chlorides. II. The $\text{HoCl}_3\text{-NaCl}$ and $\text{ErCl}_3\text{-NaCl}$ systems. Chiu-Hsin Ch'ien, T'an-Lun Pe, Chin-Hua Ma, and Mien-Ta'-eng "Su" (Peking Univ., Peking, China). *Kuo Hsueh Tung Pao* 17(2), 70-1(1966)(Ch); cf. *Pei Ching Ta Hauch Hsueh Pao* 4, 401-406(1963). The phase diagrams (temp. vs. g. mole % NaCl) of the 2 title systems indicate the following: (A) in the $\text{HoCl}_3\text{-NaCl}$ system, (1) $\text{NaCl} \cdot \text{HoCl}_3$, m. 434, polymorphic change point 384° , (2) $3\text{NaCl} \cdot \text{HoCl}_3$, transition point 548° , (3) $\text{NaCl} \cdot \text{HoCl}_3\text{-HoCl}_3$ (47 g.-mole % NaCl), eutectic point 424° , and (4) $3\text{NaCl} \cdot \text{HoCl}_3\text{-NaCl} \cdot \text{HoCl}_3$ (53 g.-mole % NaCl), eutectic point 414° ; (B) and in the $\text{ErCl}_3\text{-NaCl}$ system, (1) $\text{NaCl} \cdot 3\text{ErCl}_3$, transition point 420° , (2) $3\text{NaCl} \cdot \text{ErCl}_3$, transition point 544° , (3) $\text{NaCl} \cdot 3\text{ErCl}_3\text{-}3\text{NaCl} \cdot \text{ErCl}_3$ (55 g.-mole % NaCl), eutectic point 410° .

S. C. Ho

$3\text{NaCl} \cdot \text{HoCl}_3$

(T_{tr})

$\text{NaCl} \cdot 3\text{ErCl}_3$

(T_{tr})

$3\text{NaCl} \cdot \text{ErCl}_3$

(T_{tr})

C.A. 1964 • 47 • 16

NaTb₂Cl₆

1966

Na₂TbCl₆

18 Б614. Взаимодействие хлоридов европия (III) и тербия с хлоридами натрия и калия. Коршунов Б. Г., Дробот Д. В., Бородулепко Г. П., Галченко И. Е. «Ж. неорган. химии», 1966, II, № 5, 1013—1017
Методом термич. анализа изучено взаимодействие компонентов в системах $\text{EuCl}_3\text{—KCl}$ и $\text{TbCl}_3\text{—MCl}$ ($\text{M}=\text{Na}, \text{K}$). Построены диаграммы плавкости систем.

Tm

X. 1966. 18

В системах EuCl_3-KCl и TbCl_3-KCl образуются соединения состава KR_2Cl_7 , K_2RCl_5 и K_3RCl_6 ($\text{R}=\text{Eu}, \text{Tb}$). В системе $\text{TbCl}_3-\text{NaCl}$ образуются 2 инконгруэнтно плавящихся соединения NaTb_2Cl_7 и Na_3TbCl_6 . Определена плотность образующихся соединений. Произведены расчеты линии ликвидуса по ур-нию Шредера для кристаллизации MCl из расплавов. Наиболее вероятный состав комплекса в этом интервале конц-ий — $[\text{RCl}_6]^{3-}$. Выполнен рентгенофазовый анализ систем.

Резюме авторов

VIII -2724

K NdCl₄, NaCl, Na NdCl₄, NdCl₃
(Kp; aH, aS)

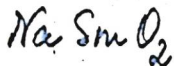
1968

Завгородніков Ф.Г., Мовчук Г.И.

Ім. Нестора Хереску, 1968, II, 1515-1517

III лес орн

1966



1. В25. Синтез самариата и европиата натрия. Муравьева И. А., Ковба Л. М., Мартыненко Л. И., Спицын В. И. «Докл. АН СССР», 1966, 169, № 3. 600—601

Синтезированы соединения NaSmO_2 (I) и NaEuO_2 (II) прокаливанием смесей нитратов $\text{Ln}(\text{Sm, Eu})$ с NaNO_3 при 840° в соотношении $\text{Ln}_2\text{O}_3 : \text{Na}_2\text{O} = 1 : 2$. Рентгенограммы I и II проиндцированы в тетрагональной сингонии. I и II оказались изоструктурными NaGdO_2 (структурный тип 2LiFeO_2), параметры решетки: соотв: $a = 4,697$ и $4,682$, $c = 11,81$ и $11,09$ Å, $c/a = 2,51$ и $2,36$. Реферат авторов

x. 1967. 1

1966

BGP - 6309-XNaDyCl₄Na₂DyCl₅Na₃GdCl₆

Interaction of sodium chloride with dysprosium and gadolinium chlorides. K. V. Orlov, V. G. Kozlov, and N. G. Pospelova. *Met. i Metalloved. Christykh Metal.*, Sb. Nauchn. Rabot No. 5, 73-6(1966)(Russ). The interaction of the components in the systems NaCl-GdCl₃ and NaCl-DyCl₃ were studied by thermal analyses. In the system NaCl-GdCl₃ an incongruent melting of the compd. Na₃GdCl₆ with a m.p. of 500° was observed. In the system NaCl-DyCl₃ 2 compds., NaDyCl₄ m. 430 ± 5° and Na₂DyCl₅ m. 500 ± 2°, were discovered. The calcn. of the liquidus line showed the presence in the melting compds. of ions of the compn. [GdCl₆]³⁻, [DyCl₄]⁻, and [DyCl₅]²⁻.

A. Linial

C. A. 1966-65-7

9817h-

9818a

1966

Na Nd(WO₄)

Phase diagram of the system $\text{Nd}_2(\text{WO}_4)_3\text{-Na}_2\text{WO}_4$. E. Ya. Rode and V. N. Karpov. (N. S. Kurnakov Inst. Gen. and Inorg. Chem., Moscow). *Izv. Akad. Nauk SSSR, Neorgan. Materialy* 2(4), 688-92(1966)(Russ). The phase diagram of the title system was examined, using spectrally pure WO_3 , "N-1" grade Nd_2O_3 , and reagent-grade Na_2CO_3 , supplementarily purified. The diagram of the system was constructed, taking into account the heating, cooling, and reheating curves, obtained with calcined mixts. of different compns. of the components. The individual compds. obtained and their mixts. were analyzed by x-rays, and the data for the former are tabulated. The diagram indicates the formation of only 2 compds.: $\text{NaNd}(\text{WO}_4)_2$ (1:1 compd.) (I) and $\text{Na}_5\text{Nd}(\text{WO}_4)_4$ (5:1 compd.) (II). I melts congruently at 1263° and forms solid solns. with $\text{Nd}_2(\text{WO}_4)_3$. II melts incongruently at 735° . It forms a eutectic with Na_2WO_4 , the compn. of which approaches Na_2WO_4 and with m.p. 686° . Formation of the continuous series of solid solns. between $\text{Nd}_2(\text{WO}_4)_3$ and

C.A. 1966. 65.3

3063 def

I indicates that the transition from the defective scheelite lattice of the rare earth tungstate to the regular scheelite lattice is continuous. Both I and II, when crystg. from Na_2WO_4 , form beautifully faced lilac-colored, transparent tetragonal crystals, the crystals of II having a lighter color. Crystg. II from Na_2WO_4 melt at $720-680^\circ$, at a cooling rate of $2^\circ/\text{hr.}$, yields 1.5-mm. single crystals with II compn., assessed chem. The phase diagram shows that II is less stable than I. The n_s of II and I were detd. For II: $n_\gamma = 1.774$, $n_\beta = 1.746$, and for I 1.953
 $n_\beta < n_\gamma < 1.962$.

S. Scherzer

VIII-4217

1967

Na₂PrF₆, Na₂Pr₆F₃₁, PrF₇,
(a,b,c)

Asprey L.B., Coleman J.S.,
Reisfeld M.J.

Lanthanide / Actinide Chem.,
Washington, D.C., Amer. Chem. Soc.,
1967, 122-126

Mu

ects op.K

VIII - 747

1967

$\text{Ln}(\text{BO}_2)_3$, Ln = La...Tb; $\text{Na}_2\text{O}-\text{B}_2\text{O}_3-\text{Nd}_2\text{O}_3$
(Тио, Кес.)

Днепропетровск Б.Ф. Башкетов И.И.,
Ташкент И.В.,

Члв. АН ССР. Сер. неорганич. материалы,
1967, 3, №10, 1878 - 1880

Б, В

есть оп. к.

$\text{Fe}_2(\text{SO}_4)_3 \cdot \text{Na}_2\text{SO}_4$ (Fe.) ~~X~~-6243 1361

Зайцева Н.Н., Чистяченко В.С., Кондратенко Н.И.,
Коновалов Н.Н., Денисова А.В., Чуботарев А.Т.

Журнал геофизики, 1961, 12, № 4, 906-911

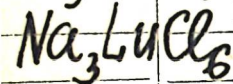
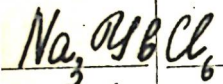
Результирующие сейсмические
измерения супергравитации и магнитов.

РГАНТД, 1967

215760

Б(г)

1968



Tm

21 Б872. К вопросу о геометрии диаграмм плавкости систем, образованных хлоридами редкоземельных и щелочных металлов. Дробот Д. В., Коршунов Б. Г., Бородуленко Г. П. «Ж. неорган. химии», 1968, 13, № 6, 1635—1641

Методом термич. анализа изучено взаимодействие в системах $\text{VbCl}_3-\text{NaCl}$, $\text{LuCl}_3-\text{NaCl}$, LuCl_3-KCl . В изученных системах образуются инконгруэнтно плавящиеся соединения Na_3YbCl_6 (т. пл. 580°), Na_3LuCl_6 (т. пл. 560°); соединение K_3LuCl_6 конгруэнтно плавится при 816° и имеет полиморфное превращение при 374° . Методом рентгенофазового анализа показана индивидуальность синтезированных соединений. Проведена систематизация систем RCl_3-MCl ($\text{R}=\text{La}, \dots, \text{Lu}$) в пределах ряда РЗЭ.

Автореферат

+1

x-1968-21

8

~~MoP₂F₄, KP₂F₅, CsP₂F₆ (T_{m,inc})~~ 1969
K₃P₅F₆ (T_{d2}) n X 4090

Бухалова Г.Я., Литовская Н.Я.

Людогорский В.Я.

213 Г. АИССР. Неоргн. материды,
1969, 5, N3, 570-574.

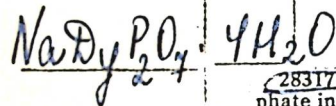
Физико-химическое исследование
и физико-химических свойств
и спекание фторокомпликов
РХК. Кн., 1969

15 0906

5 (9) 7

<u>Na_xSi₂O₅</u>	<u>(X=Y, ¹regiazo, ²Li-Bi) (Ttr.)</u>	<u>1969</u>
<u>Na_xGeO₄</u>	<u>(Ttr)</u>	<u>X=135±10 b.c.m.</u>
<u>Chenavas, J.; Wainital, A.; Cappelli</u>		
<u>J. Y. Gronbech and H.</u>		<u>20+20-35</u>
<u>illater. Res. Bull. 1969, 4(7), 425-31.</u>		
<u>High temperature and high-pressure</u>		
<u>study of Na_xGeO₄ and Na_xSi₂O₅-</u>		
<u>zircon, garnet etc. in quartz and zirconium</u>		
<u>bearing minerals</u>	<u>5' (P)</u>	<u>VII, 1969, 8, NID, 43109a</u>

1969



28317 Reaction of dysprosium ions with sodium pyrophosphate in an aqueous solution. Kalieva, K. D.; Mustaev, A. K. (Inst. Neorg. Fiz. Khim., Frunze; USSR). *Maler. Nauch. Konf., Posvyashch. 100- [Sto] Letiyu Period. Zakona D. I. Mendeleceva* 1969 (Pub. 1970), 140-3 (Russ). Edited by Asanov, U. A. Kirg. Gos. Univ.: Frunze, USSR. $Dy_4(P_2O_7)_3 \cdot 2Dy(OH)_3 \cdot 6H_2O$, $Dy_4(P_2O_7)_3 \cdot xH_2O$ (I), $NaDyP_2O_7 \cdot 4H_2O$, and $Na[Dy(P_2O_7)_2] \cdot 5H_2O$ (II) crystallize in this system at 25°. I has the lowest and II the highest solv. The crystn. kinetics is slow, e.g. the sepn. of II from ~0.05 M soln. started 18-20 days after prepn. of the soln.

L. Kuca

C.A. 1972 76:6

13 Б789. Двойные молибдаты редкоземельных элементов и натрия состава $\text{Na}_5\text{Ln}(\text{MoO}_4)_4$. М о х о с о -
ев М. В., Алексеев Ф. П., Г е т ь м а л Е. И. «Ж. не-
органической химии», 1969, 14, № 2, 596—597

С помощью рентгеновского метода анализа изучены двойные молибдаты РЗЭ и Na состава $\text{Na}_5\text{Ln}(\text{MoO}_4)_4$. Молибдаты были синтезированы нагреванием стехиометрических смесей окислов РЗЭ, Mo_2O_3 и Na_2CO_3 при 600° (15 час.), а также нагревом смесей $\text{Na}_2\text{MoO}_4 + \text{Ln}_2(\text{MoO}_4)_3$. Установлено, что соединения состава $\text{Na}_5\text{Ln}(\text{MoO}_4)_4$ с тетрагональной структурой типа $\text{Na}_5\text{La}(\text{WO}_4)_4$ образуются с участием Y и всех РЗЭ (кроме Ce). Параметры решетки двойных молибдатов уменьшаются с ростом атомного номера РЗЭ. $\text{Na}_5\text{La}(\text{MoO}_4)_4$, $\text{Na}_5\text{Nd}(\text{MoO}_4)_4$ и $\text{Na}_5\text{Sm}(\text{MoO}_4)_4$ плавятся инконгруэнтно при 680 , 685 и 700° соотв. с образованием $\text{NaLn}(\text{MoO}_4)_4$ и Na_2MoO_4 .

Л. В. Шведов

Х. 1969. 13

$\text{Er}_2(\text{SiO}_4)_3$, $\text{Na}_2\text{Si}_2\text{O}_5$ (Tet.) 8.10.1969

$\text{Na}_3\text{Er}_2(\text{SiO}_4)_2$, $\text{NaEr}(\text{MoO}_4)_2$ (T_{min}) VII 2090

Савельев В.В., Шахно И.В., Плющев В.Е.,
Крабчикко В.В., Комлех А.А.

23-й Гос. науч. учебн. Заведений. Учен. журн.
1969, №, 85-89

Исследование взаимодействия титана с
 $\text{Na}_2\text{Si}_2\text{O}_5$ в
также, диспергирован, волнистый и зернистый,

Р. 14.10.1970

35871

6 5 (95)

1970

Na₂SO₄ · K₂(SO₄)₃; Na₂SO₄ · Fe₂(SO₄)₃ (T_{71,11})
 X 4671

Белогусса Я.Н., Шахноди.В.,
 Утюкович В.Е.

Узб. физик. учебн. зоогеограф. Книга
 в курс. технол. 1970, В. VI, 6-8.

Технический анализ зборки
 ей же самой Чимтиринг, Амирбозига и
 Зубан с Кашрином.

РНХ УзССР, 1970 0 . 6 15 (9)

135973

Na-P33

1970

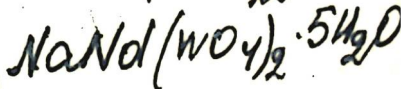
All na 06

Tt2

115288d Double molybdates and tungstates of rare-earth elements with sodium. Golub, A. M.; Aganyazov, K. S.; Kisel, N. G.; Mokhosoev, M. V. (Kiev. Gos. Univ. im. Shevchenko, Kiev, USSR). *Izv. Akad. Nauk SSSR, Neorg. Mater.* 1970, 6(1), 170-2 (Russ). In order to confirm the establishment of full equil. in the $\text{Ln}(\text{NO}_3)_3\text{-Na}_2\text{MoO}_4\text{-H}_2\text{O}$ system, the isomolar series of the mixts. over a period of 1 and 2 weeks, as well as over 1 and 3 months, from the instant of their prepn. were studied conductometrically and potentiometrically. The min. in elec. cond. corresponds to mixts. with the ratio $[\text{Ln}(\text{NO}_3)_3] : [\text{Na}_2\text{MoO}_4] = 1:2$. This attests to the formation of double molybdates of rare-earth metals. Investigation of the $\text{Ln}(\text{NO}_3)_3\text{-Na}_2\text{WO}_4\text{-H}_2\text{O}$ system indicates the formation of simple tungstates of rare-earth metals. X-ray anal. of double tungstates shows that they behave analogously to double molybdates. An endothermal effect at $180\text{-}200^\circ$ corresponds to the loss of water. The exothermal effect at $400\text{-}480^\circ$ corresponds to the crystn. of the compds. $\text{NaLn}(\text{WO}_4)_2\text{.}0.5\text{H}_2\text{O}$, and the exothermal effect at $560\text{-}575^\circ$ corresponds to the crystn. of $\text{NaLn}(\text{WO}_4)_2$. S. A. Mersol

C.A. 1970

72.22



Nady $\text{P}_2\text{O}_7 \cdot 4\text{H}_2\text{O}$ [Bsp - 6991-X] 1970

Nady $(\text{P}_2\text{O}_7)_2 \cdot 5\text{H}_2\text{O}$

Касиева К.Д, акуссаев А.Х.
(T_{ti}) мастер. наукн. работы.
исследов. 100-серии, 1969
Судж. 1970, 140-143

$K_5La(MoO_4)_4$, $Rb_5La(MoO_4)_4$ (T_m) 1970

$Na_5La(MoO_4)_4$ (T_{min})¹⁰ № 4698

Мохосов В. В., Кокот У. Г.

Лудык В.И., Конченко В. С.

Ж. Невроп. хурм, 1970, 15, № 1, 271-275

Изучение взаимодействия гвоздичного масла

и борной кислоты с щелочным цементом с
использованием щелочных адгезиков в

расплавах.

РНХУМ, 1970
1251334

85 Ⓢ

$\text{Li}_2\text{Ba}(\text{Si}_2\text{O}_5)_2$; $\text{Na}_2\text{YBa}(\text{Si}_2\text{O}_5)_2$; X 5134.1970
 $\text{K}_2\text{Ba}(\text{Si}_2\text{O}_5)_2$; $\text{LaTiBa}(\text{Si}_2\text{O}_5)_2$; $\text{NaTiBa}(\text{Si}_2\text{O}_5)_2$;
 $\text{KTiBa}(\text{Si}_2\text{O}_5)_2$; $\text{Li}_2\text{YBa}(\text{Si}_2\text{O}_5)_2$; $\text{Na}_2\text{LiBa}(\text{Si}_2\text{O}_5)_2(\text{Ti}_2, \text{Fe}_2)$

Составлено Р.Л.Б., проверено А.В.

Проверено В.Е.

X 5134

Изб. № 11 СССР. Несправн. строительства, 1970,
6, № 1665-1669

Составлено в соответствии с изложенным в изобретении
и некоторыми Р.З.З.

РНК Казахстан 1971

35903

76 ⑩

NaF-ScF_3 ; NaF-YF_3 ; NaF-LaF_3 (репп.) 1970
 $\text{NaF}, \text{Na}_2\text{F}_2, \text{Na}_3\text{F}_3, \text{NaSeF}_4$ (Р) 20

Сидоров Н.Н., Чекретин В.П., Акашук
Ж. физ. хим., 1970, 44, № 6, 1577-9
Х 4935 (прект.)

наст.-специальное
исследование методами ион-се-
лец с использованием
NaF-HF₃ (H-скандий, бимарий, лантан)
II Доказано
состав-закономерность

(Ч М, Б  СА 1970, 43, N14, 704402

Родина НАГ-НГ

10 VIII 3652 1971

Н = Se, Y, Zr.

НАГ, №273, №373, МГ4; НАГ4, (Р) 1971

Чернозем В.П., Сузоров А.Н., 10

НС - спр. хлм. 1970, 44, №2, 514-17

Масс-спектральный анализ (спектр)

образцов, полученных в результате
сборки зоны НАГ-НГ3

и - эвапор., уплотн. (актив.) I чист
примесей ионного спектра и спектра

ионной масс-спектрометрии газовых

и, Р



1970, №4, 125722

NaND_yScO_y·2D₂O (Tc) 10 2664/1971

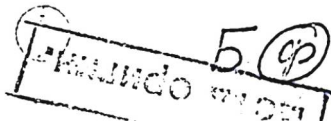
Измерения по Зе У.Н., Годзюк В.И.,
Миронов В.И.

Узл. РИ СССР. Сеп. 1971, № 35, №
1307 - 1311

Изучение магнитных резонанса D²
в окислопроводнике NaND_yScO_y·2D₂O

РИ Июн., 1972

25546



X Cell ($\text{Ce}_{3,3}\text{Na}_{3,1}\text{H}_{23}\text{Al}_{56}\text{Si}_{136}$ U₂₃₄). 1971,
ul. str. (Bq-X 5446)

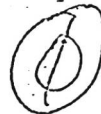
Gallezot P., Imelik B.

J. chim. phys. et phys.-chim. Biol., 1971, 63, N1,
34-40.

Kristallinische eisengesättigte Glyk.
Lösung aus Tuna Y, cocobalt CeHY.

[] mm. (h. h.)

15 ml.



PX, 1971, 145370.

$\text{Na}_5\text{R}(\text{WO}_4)_4$

1971

$\text{NaR}(\text{WO}_4)_2$

17 Б782. Фазовые диаграммы систем Na_2WO_4 — $\text{R}_2(\text{WO}_4)_3$. Карпов В. Н., Роде Е. Я. «Ж. неорганической химии», 1971, № 5, 1410—1412

С применением ДТА и рентгенофазового анализа изучены системы Na_2WO_4 — $\text{R}_2(\text{WO}_4)_3$ ($\text{R} = \text{Gd}, \text{Ho}, \text{Yb}$). Установлено образование во всех случаях соединений двух типов: $\text{Na}_5\text{R}(\text{WO}_4)_4$ и $\text{NaR}(\text{WO}_4)_2$. Первые плавятся инконгруэнтно, вторые (кроме $\text{NaYb}(\text{WO}_4)_2$) — конгруэнтно. $\text{NaGd}(\text{WO}_4)_2$ и $\text{NaHo}(\text{WO}_4)_2$ с низкотривальными модификациями соответствующих вольфраматов РЗЭ образуют непрерывные тв. р-ры. Для полученных соединений определены т-ры плавления, плотности и (для $\text{NaR}(\text{WO}_4)_2$) параметры элементарной ячейки. Резюме

Tm

1

X. 1971. X

$NaSc(WO_4)_2$, $NaY(WO_4)_2$, $Na_5Y(WO_4)_4$

1971

$NaLa(WO_4)_2$, $NaLa(WO_4)_4$, $NaNd(WO_4)_2$, $Na_5Nd(WO_4)_4$.

$NaSm(WO_4)_2$, $Na_5Sm(WO_4)_4$, $NaEu(WO_4)_2$, $Na_5Eu(WO_4)_4$,

$NaGd(WO_4)_2$, $Na_5Gd(WO_4)_4$, $NaDy(WO_4)_2$, $Na_5Dy(WO_4)_4$,

$NaHo(WO_4)_2$, $Na_5Ho(WO_4)_4$, $NaEr(WO_4)_2$, $Na_5Er(WO_4)_4$,

$NaTm(WO_4)_2$, $Na_5Tm(WO_4)_4$, $NaYb(WO_4)_2$, $Na_5Yb(WO_4)_4$.

$NaLu(WO_4)_2$, $Na_5Lu(WO_4)_4$ (Tm) 10 \times 57.82

Роге Е.Я., Карпов В.Н., Иванова М.И.

Ж. неоргик. химии, 1971, 16, № 1313-1316. Б.В.

Взаимные редкоземельные дыки на природу
фаз в системах $Na_5WO_5 - R_2(WO_4)_3$, лдк K-P33.

1971

 $\text{NaR}(\text{WO}_4)_4$
= 5 - $\text{NaR}(\text{WO}_4)_2$ $R = \text{Sm}, \text{Dy}, \text{Er}$ ($\bar{\text{I}}\text{m}$)

17 Б776. Диаграммы состояния систем типа $\text{Na}_2\text{WO}_4-\text{R}_2(\text{WO}_4)_3$. Роде Е. Я., Иванова М. М., Балагина Г. М., Резник Е. М. «Ж. неорган. хими», 1971, 16, № 5, 1407—1409

Методами ДТА и рентгеновского анализа изучены системы $\text{Na}_2\text{WO}_4-\text{R}_2(\text{WO}_4)_3$ с $\text{R}=\text{Sm}$, Dy и Er . В указанных системах установлено образование двух типов соединений: $\text{Na}_5\text{R}(\text{WO}_4)_4$ и $\text{NaR}(\text{WO}_4)_2$ с отношением $\text{Na} : \text{R}$, равным 5 : 1 и 1 : 1 соотв. Соединения 5 : 1 плавятся инконгруэнтно при 750° и образуют с Na_2WO_4 эвтектики. Соединения 1 : 1 плавятся конгруэнтно при 1250, 1230 и 1210° соотв. для Sm , Dy и Er . Характер взаимодействия их с $\text{R}_2(\text{WO}_4)_3$ определяется структурой последних. С моноклинными $\text{R}_2(\text{WO}_4)_3-\text{Sm}_2(\text{WO}_4)_3$ и низкот-риной модификацией $\text{Dy}_2(\text{WO}_4)_3$ они образуют непрерывные тв. р-ры, а с ромбич. — $\text{Er}_2(\text{WO}_4)_3$ и высокот-риной модификацией $\text{Dy}_2(\text{WO}_4)_3$ образуют эвтектики с т-рой плавления 1200° .

Резюме

X-1971-12

Na Sc F₄, Na Y F₄, Na La F₄ ($k_p, \Delta H_f^{\circ}, \Delta S_f^{\circ}$) 1971
Черегин В.Н., Сидоров А.Н., № 6620
Ил. др. хим., 1971, 45, N5, 1272-3
(русск.)

Масс-спектрометрическое исследование
веществ магнитодиамических
свойств бинарных смесей
NaF-MF₃. III ГИ-спектра диссо-
циации ионов ионов
M 8 Ⓢ CA, 1971, 45, N10, 68166н

$MgLn(MoO_4)_2$ (T_{min}, T_b) 1972
X 7757

$MgLn(MoO_4)_2$ (T_{min})

($M = Li, Na, K, Rb, Cs$) ($Ln = PZ\text{Э упаковка подгруппы}$)

Токиев В.Е., Шахно Н.В., Сафарова
М.В., Явжинева Е.Н., Бодкова Н.В.
Кузина Т.И. В сб. „Химия и хим. технология”
М., 1972, ЗСЗ-ЗС5. Общие свойства образований и
некоторых свойствах двойных соединений
редкоземельных элементов упаковкой подгрупп
ны и изотопные методы 10+~~55~~

РНХ ЧМ, 1973

25

5 (р)

18B16

NaLaF₄ [A-2097] 1972

Шорбай В.Б., Судородов Н.Н.
Вестн. УГУ, выпуск, 1972,
страница; 13, № 4, 371.

Этот материал диссертации,
дисс - спектры и струк-
туры из которых кон-
тируют синхронизированных

La_3Br_6 ; Cs_3PrBr_6 , Cs_3NdBr_6 , 1971
 SmBr_6 ; $7\text{CsBr} \cdot 3\text{GdBr}_3$; $\text{Cs}_2\text{Pr}_2\text{Br}_7$;
 Nd_2Br_7 ; CsSm_2Br_7 ; CsGd_2Br_7 (Tm, Tb)
 $\text{La}_4\text{Br}_{13}$; $7\text{NaBr} \cdot \text{SmBr}_3$; Na_3GdBr_6
Twinning) $\Sigma \Sigma \Sigma$ 6973

Vogel G.

Z. anorgan und allgem. Chem.;
1972, 388, N1, 43-52

5

(9)

erroneous Q.K PX 72

NdCl_3 ; $\text{GdCl}_3(\Delta \text{Hv}, \Delta \text{Hs}, \text{I}, \Delta \text{Rf})$ VIII 5890 1973

NaGdCl_3^+ ; GdCl_2^+ ; GdCl^{2+} ; NdCl(A)

21 Ciach S., Nicholson A. J. C.,
Swingler D. L., Thistleton Waite P.J.,
J. Org. Chem., 1973, 12, NG,
2042 - 2044

540

$\text{Na}_6[\text{Th}(\text{CO}_3)_5] \cdot 12\text{H}_2\text{O}$ (n_P) 1973
 $\text{Na}_6[\text{Ce}(\text{CO}_3)_5] \cdot 12\text{H}_2\text{O}$ № 8216

Derzin J., Foucherre J.

Bull. Soc. chim. France, 1973, VII,
Part. I, 2930-2938 (pp 415-1)

Изучение карбонатных комплексов
тиопурин и церия. Часть III. Растворимость в
"пурин" комплексах чистой в погреш-

ПИИ журн., 1974

11381

5:

Б (P) Б (P)

X NaGdO_2 ; NaErO_2 . 1973

abt. er. str.

8755

Hoppe R., Hoffmann L.

Rev. chim. miné, 1973, 10, n° 2, 215-224.

Zur Kenntnis der ternären Oxide
der Seltenen Erden vom Typ $A\text{Ln}_2\text{O}_3$
mit $A = \text{Li-Cs}$, insbesondere über NaGdO_2
und NaErO_2 .

6

876 OK
Me

PX, 1973, 235924.

La₂O₃(CrO₄)₂ и др. (стг, стлаг) VIII-5814 1973

Карапетьянц М.Х., Супоницкий Ю.Л.,
Ренова С.Б., Бодров В.Г.,
сб. "Честая Всес. конф. по калориметрии,
973, Расшир. тезисы докл." Тбилиси,
"ЦНИИреба", 1973, 44-46. Термохимическое иссл
дование хроматов некоторых Р.З.Э.

М, В

Ф

VIII - 5814 1973
VaNd(CrO₄)₂ и др. (стек, стек)

Каранельянц М.У., Супоницкий И.Л.,
Циренова С.В., Бодров В.Г.,
В сб. "Честая зеес. конф. по калориметрии"
1973, Распир. тезисы докл., Тбилиси
"Мединерба", 1973, 44-46. Термохимическое
исследование хроматов некоторых Р.З.О.

VIII - 5874

La₂(CrO₄)₃ и dr. (стек, стек) 1973

Карапетьянц М.Х., Супоницкий Ю.Л.,

Ренова С.Б., Бодров В.Г.,

в изб. "Шестая Всес. конф. по калориметрии,

1973, Расшир. тезисы докл." Тбилиси,

"Мецниереба", 1973, 44-46. Термохимическое иссле-

дование хроматов некоторых Р.З.9.

М.В

Ф

dill-dnclz

1973

Новиков Т. Н.
Шкот В. А.

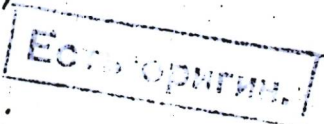
(Рязань, ДО) "Маневризатор Всесоюзн.
конгр.", Минск, Mai 24-26,
1973, сmp 130-131.

$\text{Li}_3\text{M}_2(\text{MoO}_4)_2$; $\text{Na}_3\text{M}_2(\text{MoO}_4)_2$; $\text{K}_3\text{M}_2(\text{MoO}_4)_2$
где $\text{M} = \text{Cd}, \text{Dy}, \text{Ho}, \text{Er}, \text{Y} (\text{Tm}, \text{Tz})$ 1973

LiM ; NaM , $\text{KM}(\text{MoO}_4)_2$, где $\text{M} =$
 $\text{Cd}, \text{Dy}, \text{Ho}, \text{Er}, \text{Y} (\text{Tm}, \text{Tz})$ № 7506

Сабанбека М. Б., Уласко У. В.,
Тукаевел Б. З., Бод., Ким. Сб. са
сағары. пегкобзар. Әлемшетов, М.,
Наука, 1973, 32-34

5. (cp)



$\text{NaEu}(\text{MoO}_4)_2$ BP - 7678-X 1973

[E] 24040v Reaction of europium molybdate with alkali metal molybdates. Savel'eva, M. V.; Shakhno, I. V.; Plyushchev, V. E.; Kuperman, O. M. (Mosk. Inst. Tonkoi Khim. Tekhnol. im. Lomonosova, Moscow, USSR). *Izv. Akad. Nauk SSSR, Neorg. Mater.* 1973, 9(4), 632-5 (Russ). By using thermal and x-ray phase analyses the fusibility diagrams of the $\text{Eu}_2(\text{MoO}_4)_3$ - M_2MoO_4 (where $\text{M} = \underline{\text{Na, K, Rb, Cs}}$) systems were studied. In all these systems there were obsd. congruently melting compds. of the $\text{MEu}(\text{MoO}_4)_2$ type, for which the melting temps. and the phase transitions were detd. In Na_2MoO_4 - $\text{Eu}_2(\text{MoO}_4)_3$ there was obsd. the existence on the basis of $\text{NaEu}(\text{MoO}_4)_2$ of a region of limited solid solns., as well as the formation at 680° of an incongruently melting compd. $\text{Na}_8\text{Eu}_2(\text{MoO}_4)_7$. In K_2MoO_4 - $\text{Eu}_2(\text{MoO}_4)_3$ and Rb_2MoO_4 - $\text{Eu}_2(\text{MoO}_4)_2$, there crystd. (besides the compds. of the $\text{MEu}(\text{MoO}_4)_2$ type) also isostructural incongruently melting compds. of the compn. $\text{M}_5\text{Eu}(\text{MoO}_4)_4$.

(Tm)

S. A. Mersol

C.A. 1973.79 n 4

⊗ 73 $\text{KEu}(\text{MoO}_4)_2$
 $\text{Rb} - - -$
 $\text{Cs} - - -$

$\text{NaEu}(\text{MoO}_4)_2$

B9 -7678-X

1973

16 Б797. Исследование взаимодействия молибдата европия с молибдатами щелочных металлов. Савельева М. В., Шахню И. В., Плющев В. Е., Куперман О. М. «Изв. АН СССР. Неорганические материалы», 1973, 9, № 4, 632—635

Методами термич. и рентгенофазного анализов изучены диаграммы плавкости систем $\text{M}_2\text{MoO}_4-\text{Eu}_2(\text{MoO}_4)_3$ (I) ($\text{M}=\text{Na}, \text{K}, \text{Rb}, \text{Cs}$). В системе с Na_2MoO_4 обнаружено два типа соединений: состава $\text{NaEu}(\text{MoO}_4)_2$, плавящегося конгруэнтно при 1180° и состава $\text{Na}_8\text{Eu}_2(\text{MoO}_4)_7$, плавящегося инконгруэнтно при 680° и образующего с Na_2MoO_4 эвтектич. смесь с т. пл. 660° . На основе $\text{NaEu}(\text{MoO}_4)_2$ установлено существование области ограниченных тв. р-ров, образующих с I эвтектич. смесь, плавящуюся при 1100° . В системах с K_2MoO_4 и Rb_2MoO_4 соединения $\text{MEu}(\text{MoO}_4)_2$ плавятся конгруэнтно

(T_m)

X. 1973. N 16

при 1000°, обладают обратимым фазовым переходом при 975 и 935° и образуют с I эвтектич. смеси с т. пл. 975 и 950° соотв. Соединения состава $K_5Eu(MoO_4)_4$ и $Rb_5Eu(MoO_4)_4$ плавятся инконгруэнтно при 765 и 715° и образуются с M_2MoO_4 эвтектич. смеси, плавящиеся при 755 и 710° соотв. В системе с Cs_2MoO_4 найдено образование только одного соединения $CsEu(MoO_4)_2$, плавящегося конгруэнтно при 1030° и имеющего при 555° полиморфные превращения и образующего с Cs_2MoO_4 и I эвтектич. смеси, т. пл. к-рых составляет 725 и 990°, соотв. Для соединений $MEu(MoO_4)_2$ измерены пикиометрич. плотности.

Автореферат

NaCl - CeCl₃, № 8595 1973

BaCl - NaCl - CeCl₃ (раз. гиазр.).

Старожилов Л.В., Василькова Р.В.,
Тредиашхова О.Д., Кожина Н.Н.,

Вестн. Денизнер. УН-та, Сер. 3, физ.
хим., 1973, (4), 84-8.

терицкий и речниковский
исследований систем NaCl-CeCl₃-BaCl₂
- BaCl.

C.A. 1974, 81 N 4, 173654 5(?)

LiF-ZnF_3 ; NaF-ZnF_3 ; KF-ZnF_3 , (par.) 1973

RbF-ZnF_3 ; CsF-ZnF_3 (guars.)

Zn - пантагир (Озоп)

Thoma R. E., № 8103

Rev. Chim. Miner., 1973, 10, N1-2, 363-
9 - 82 (арк.)

Binary systems of the lantha-
nid trifluorides with the al-
kali fluorides.

5 (cp) (арк. опицнав) CA, 1973, 79, N18, 10856.2e

$\text{LiCl} + \text{MgCl}_2$; $\text{LiCl} + \text{CaCl}_2$; $\text{LiCl} + \text{SrCl}_2$
 $\text{LiCl} + \text{CeCl}_3$; $\text{LiCl} + \text{PbCl}_2$; $\text{NaCl} + \text{CaCl}_2$
 $\text{NaCl} + \text{SrCl}_2$; $\text{NaCl} + \text{BaCl}_2$; $\text{NaCl} + \text{CeCl}_3$
 $\text{KCl} + \text{MgCl}_2$; $\text{KCl} + \text{CaCl}_2$; $\text{KCl} + \text{SrCl}_2$
 $\text{KCl} + \text{BaCl}_2$; $\text{KCl} + \text{CeCl}_3$ (0.6 mix)

Egan J.J., Bracken J. \bar{x} 8534
J. Chem. Thermodyn., 1974, b(1),

: g-16

(cp)

g ecr6 cp-k

X $\text{NaR}(\text{WO}_4)_2 \cdot 3\text{H}_2\text{O}$. $M = \text{Na, K, Rb, Cs}$

M R $(\text{WO}_4)_2 \cdot 2\text{H}_2\text{O}$. $R = \text{Gd, Dy, Ho}$.

abc.

X-8990

Толыг А.М., Максим В.И.

В.сб. "Химия и технол. материалов и
вспомогательных", Вып. 2. Казахстан, 1974,
136-143.

О глобинах второго максимумов редкозе-
леневых элементов изотропной
группы и анализ некоторых из них изотопов.

ФХ, 1975, 4B14.

ал.

CsCeI₄

1979

NaCeI₄

153426g Vapors in equilibrium over molten mixtures of cerium(III) iodide with cesium and sodium iodides. Hirayama, C.; Castle, P. M. (Westinghouse Res. Lab., Pittsburgh, Pa.). *Proc. Rare Earth Res. Conf., 11th 1974*, 2, 1048-57 (Eng). Edited by Haschke, John M.; Eick, Harry A. NTIS: Springfield, Va. Mass spectra of vapor over molten CeI₃ mixts. with CsI and NaI and vapor pressure data for the CsI-CeI₃ system indicate formation of CsCeI₄ ($\Delta H_{vaporization}$ = 43-47 kcal/mole; ΔG = +35 kcal/mole for CsI(g) + CeI₃(g) → CsCeI₄(g) at 1000°K and NaCeI₄.

ΔHv ; Δf

⊕ ⊖

C.A. 1975, 83 n 18

NaPr₅(MoO₄)₈ [BP-8680-X]

1974

(Na - Ln)

121452w Sodium molybdate-rare earth molybdate systems. Rybakova, T. P.; Trunov, V. K. (Mosk. Gos. Univ. im. Lomonosova, Moscow, USSR). *Zh. Neorg. Khim.* 1974, 19(6), 1631-6 (Russ.). DTA and x-ray phase anal. were used to construct phase diagrams for Na₂MoO₄-Ln₂(MoO₄)₃ systems (Ln = Pr, Sm, Tb, Yb). Extensive homogenous solid solns. based on NaLn(MoO₄)₂ occur. In the Pr₂(MoO₄)₃ [15702-41-7] system, solid solns. based on NaPr₅(MoO₄)₈ [52435-16-2] m. 1070° with peritectic reaction (~92 mole % Pr₂(MoO₄)₃), eutectics are 1050, 670° at 97.5, 2.5 mole % Pr₂(MoO₄)₃, and NaPr₅(MoO₄)₈ congruently m. 1160°, Na₅Pr(MoO₄)₄ incongruently m. 685°. Na₂Sm(MoO₄)₄ [22878-29-1] incongruently m. 700°, Na₂Sm(MoO₄)₂ [19527-46-9] congruently m. 1160°, solid solns. based on Na₂Sm₅(MoO₄)₈ [52435-17-3] m. 1100° with peritectic reaction, and eutectics m. 680, 1080° at 2.5, 90 mole % Sm₂(MoO₄)₃ [15702-43-9], resp. Na₂Tb(MoO₄)₄ incongruently m. 700°, Na₂Tb(MoO₄)₂ congruently m. 1150°, β-Tb₂(MoO₄)₃ → α-Tb₂(MoO₄)₃ 910-1020°, and eutectics m. ~680, 1100° at ~3, 85 mole % Tb₂(MoO₄)₃ [13359-88-6]. NaYb(MoO₄)₂ incongruently m. 1070°, Na₂Yb(MoO₄)₄ [22878-32-6] incongruently m. 685°, and one eutectic m. 670° at 2.5 mole % Yb₂(MoO₄)₃ [15702-45-1].

C.A. 1975, 83 n 11

↗ +1

Tb₂(MoO₄)₃

Р32 - молибдаты $Na-Sm$

1974

У 20 Б779. Системы молибдат натрия — молибдат
р. з. э. Рыбакова Т. П., Трунов В. К. «Ж. неор-
ганической химии», 1974, 19, № 6, 1631—1636

$NaSm(MoO_4)_2$

Методами ДТА и рентгенофазового анализа изучены системы Na_2MoO_4 (I) — $Ln_2(MoO_4)_3$, где $Ln = Pr$ (II), Sm (III), Tb (IV) и Yb (V). Образцы систем синтезированы нагреванием смесей исходных компонентов при 600 — 650° в течение 150 час. В системе I—II установлено образование 3 соединений $Na_5Pr(MoO_4)_4$, $NaPr(MoO_4)_2$ (VI) и $NaPr_5(MoO_4)_8$ (VII), к-рое имеет структуру, построенную на основе структуры шеелита. VI и VII имеют достаточно широкие области гомогенности — 15 мол. % при 990° для VII и 25 мол. % при 1050° для VI. Тв. р-р на основе VII распадается по перитектич. р-ции при 1070° , а эвтектика VII+II содержит 97,5 мол. % II и плавится при 1050° . В системе I—III образуются аналогичные соединения, координаты эвтектики 97,5 мол. % I и 680° и 90 мол. % III и 1080° . $NaSm(MoO_4)_2$ плавится конгруэнтно при 1160° . В системе I—IV образуются соединения $Na_5Tb(MoO_4)_4$ (VIII) и $NaTb(MoO_4)_2$ (IX). VIII плавится инконгруэнтно при 700° , а IX — конгруэнтно при 1150° . В системе I—V образуются соединения $Na_5Yb(MoO_4)_4$ и Na-

☒

✗

$Na-Pr$

$Na-Tb$

$Na-Yb$

2.1974.
N20

$\text{Yb}(\text{MoO}_4)_2$, инконгруэнтно плавящиеся при 685 и 1070°
соотв. Обсужден характер изменения св-в соединений
 $\text{NaLn}(\text{MoO}_4)_2$ при переходе от Pr к Yb. А. В. Салов

одис
в с

1974.

NaLa $(\text{CuO}_4)_2$

NaPr $(\text{CuO}_4)_2$

NaNd $(\text{CuO}_4)_2$

NaSm $(\text{CuO}_4)_2$ Автоматизация диспетчера
на синтезе уранов

ΔH_f° $_{298}$ Отделение КХН

Исследование некоторых

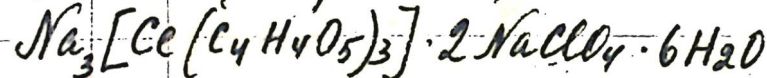
физ. свойств

свойств хроматов

P32 и иттрия

Na - Ce (соединение)

1975



8 Е283. Соединения церия с очень низкими магнитными теплоемкостями; применение метода Казимира — дю-Прэ к поликристаллическим образцам. Albertsson J., Chen P. Y., Wolf W. P. Cerium compounds with very low magnetic heat capacities: the Casimir-du Pré method applied to polycrystalline samples. «Phys. Rev. B: Solid State», 1975, 11, № 5, 1943—1951 (англ.)

(Cp)

пос

9 1975 N 8

Исследована теплоемкость поликристалла дигликоля-
та $\text{Ce Na}_3[\text{Ce}(\text{C}_4\text{H}_4\text{O}_5)_3] \cdot 2\text{NaClO}_4 \cdot 6\text{H}_2\text{O}$ (ДГЦ) и три-
гонального монокристалла $\text{Na}_2[\text{Ce}(\text{C}_4\text{H}_4\text{O}_5)_3] \cdot 2\text{H}_2\text{O}$
(ТДГЦ). Большое расстояние между ближайшими со-
седними Ce—Ce (9,81 Å у ДГЦ) обуславливает в этих
соединениях слабые спин-спиновые взаимодействия и
выполнение закона Кюри до очень низких т-р
($<10 \cdot 10^{-3}$ °К). Теплоемкость исследовалась методом
Казимира—дю-Прэ, в основе которого лежат адиабатич.
измерения восприимчивости на радиочастотах. Термоди-
намически рассмотрено применение этого метода к по-
ликристаллич. образцам и описаны результаты калибро-
вочных опытов на хорошо изученном Ce—Mg-нитрате
(поли- и монокристаллах). Получены следующие зна-
чения коэф. при 1-ом члене высокотемпературного раз-
ложения для магн. теплоемкости $C_m/R = bT^2 +$ ($b = 3,78 \cdot$
 10^{-3} °К для порошка ДГЦ и ($b = 3,75 \cdot 10^{-3}$ °К для
монокристалла ТДГЦ)). Сделан вывод, что малая теп-
лоемкость этих в-в делает их более перспективными,
чем Ce—Mg-нитрат, при использовании в качестве
хладагентов и термометров в области сверхнизких т-р.

В. И. Соколов

NaCeT₄

1975

Harajima C., et al.,
Prog. Rare, Earth, Res, Conf. 11th
 $\Delta H^\circ; \Delta G^\circ$ 1974, 2, 1048 - 1057

● CsCeT₄
(an ~~CsCO₃T₄~~; I)

NaLa(CrO₄)₂ 89-X-8867 1975

15 В11. Синтез и некоторые свойства двойных хроматов лантана и щелочных металлов. Савельева М. В., Шахно И. В., Плющев В. Е., Бахарева Е. Д. «Изв. высш. учеб. заведений. Химия и хим. технол.», 1975, 18, № 3, 359—362

(T_{trc})

Установлено, что при взаимодействии гептагидрата хромата лантана с хроматами щел. металлов при нагревании в области 350—450° происходит образование двойных соединений состава MLn(CrO₄)₂. Синтезированы двойные хроматы MLa(CrO₄)₂ (A), где M=Na (I), K (II), Rb (III), Cs (IV), и методами термич. и рентгенофазного анализов изучены нек-рые их св-ва. Установлено, что A в области 475—500° обладают фазовым переходом, а при т-рах выше 700° разлагаются с потерей кислорода. Низкот-рные модификации I, II, IV, KLa(CrO₄)₂, CsLa(CrO₄)₂ кристаллизуются в различных структурных типах, а III изоструктурно KLa(CrO₄)₂.

Резюме

☒

+3

X. 1975. N15

Na₃Ln(VO₄)₂ ВФ-9725 1975

11 B12. Новые двойные ванадаты состава $\text{Na}_3\text{Ln}(\text{VO}_4)_2$ ($\text{Ln}=\text{Y}$, Dy , Ho , Er , Tm , Yb , Lu). Salmon Roger, Parent Claude, Daoudi Abdelhamid, Le Flem Gilles. Sur de nouveaux vanadates doubles de formule $\text{Na}_3\text{Ln}(\text{VO}_4)_2$ ($\text{Ln}=\text{Y}$, Dy , Ho , Er , Tm , Vb , Lu). «Rev. chim. minér.», 1975, 12, № 5, 448—453
(франц.; рез. англ.)

(Tm)

Взаимодействием стехиометрич. кол-в Na_2CO_3 , Ln_2O_3 и V_2O_5 в золотом тигле вначале при 600° в течение 15 час., а затем 700° в течение 24 час. получены поликрист. $\alpha=\text{Na}_3\text{Ln}(\text{VO}_4)_2$, где $\text{Ln}=\text{Y}$ (I), Dy (II), Ho (III), Er (IV), Tm (V), Yb (VI), Ln (VII). Монокристаллы IV выращены из р-ра в расплаве $\text{Na}_3(\text{VO}_4)$ (VIII) (мол. отношение VIII:IV=5:2) в Pt-тигле при 1050° в течение 15 час. с последующим охлаждением до 700° со скоростью $4^\circ/\text{час}$. Кристаллы розового цвета, имеют игольчатый габитус. Рентгенографич. (камеры Вейсенберга и прецессии) установлена принадлежность IV к монокл. сингонии, ф. гр. $P2_1/n$. По данным метода порошка I—III и V—VII изотипны IV. Определены па-

X 1976 N 11

раметры решетки I—VII, равные соотв.: a 7,223, 7,233, 7,221, 7,215, b 9,748, 9,807, 9,770, 9,739, 9,721, 9,633, 9,685; c 5,494, 5,503, 5,497, 5,490, 5,492, 5,488, 5,490, β 93,0, 92,8, 93,0, 93,1, 93,1, 93,2, 93,4°, $Z=2$ для всех фаз. Для IV ρ (изм.) 3,95, ρ (выч.) 3,99. Методом ДТА показано, что I—VII при т-рах соотв. 830, 750, 805, 820, 880, 890, 920° обратимо переходят в изотипные друг другу $\beta=\text{Na}_3\text{Ln}(\text{VO}_4)_2$ (IX). IX плавятся инконгруэнтно при т-рах соотв. 1120, 1150, 1115, 1070, 1060, 1050, 1030°. Из данных метода порошка установлено, что IX не закаливаются при комн. т-ре. При высокой т-ре для IX установлена принадлежность к гексагон. сингонии, структурный тип либо KLiSO_4 (ф. гр. $P\bar{b}_3mc$), либо KNaSO_4 (ф. гр. $P\bar{3}m1$). Ориентировочные размеры ячеек для IX a 5,64, c 7,46 Å. При закалке в H_2O все IX переходят в метастабильные при комн. т-ре $\gamma=\text{Na}_3\text{Ln}(\text{VO}_4)_2$ (X), которые изотипны друг другу и кристаллизуются в частично упорядоченном структурном типе Na_2CrO_4 (ромбич. сингония, ф. гр. $C\bar{t}cm$) с параметрами решетки соотв. a 5,880, 5,889, 5,888, 5,870, 5,869, 5,850, 5,834, b 9,26, 9,28, 9,27, 9,26, 9,24, 9,23, 9,21, c 7,110, 7,116, 7,115, 7,108, 7,091, 7,089, 7,089. Уточнение структуры IX (на примере соединения Dy) указало, что наиболее вероятно распределение в положении 4(c) ф. гр. $C\bar{t}cm$ лишь ионов Na, в положении 4(b) статистич. распределение остальных катионов Na и Dy. Катионы V распределены по позициям Cr структурного типа Na_2CrO_4 . При нагревании до $\sim 500^\circ$ X необратимо переходит в I—VII.

М. Б. Варфоломеев

$\text{NaLn}(\text{CrO}_4)_2$

ВР-Х-9986

1976

20 В10. Сравнительное исследование термических свойств кислородсодержащих соединений редкоземельных элементов, скандия и иттрия. IV. Термохимические свойства двойных хроматов некоторых редкоземельных элементов и Na. Супоницкий Ю. Л., Шахно И. В., Цыренова С. Б., Савельева М. В., Плющев В. Е., Карапетьянц М. Х. «Ж. физ. химии», 1976, 50, № 6, 1440—1441

Методом спекания синтезированы $\text{NaLn}(\text{CrO}_4)_2$, где $\text{Ln}=\text{La}$ (I), Pr (II), Nd (III) и Sm (IV). Калориметрическим методом при 25° измерены теплоты прореакции I—IV. Рассчитаны стандартные теплоты образования $\Delta H_{f,298}^0$, равные в ряду I—IV $-638,7 \pm 1,4$; $-637,1 \pm 2,4$; $-631,8 \pm 1,4$ и $-622,2 \pm 1,3$ ккал/моль соответственно. Сообщ. III см. РЖХим, 1975, 7Б926. Автореферат

Х. 1976, 20

Li Lu₂SiO₄, Na₂CaBeO₄ 1976
(K P - cherts, omaykrypha)

Paques - Ledenat et al. Th., 8-9702

Spectrochim Acta, Part A,
1976; 32A (2), 383-95.

Vibrational studies of olivine-type compounds III

C.A. 1976, 64(20): 1927571. HO

$\text{NaNO}_3 - \text{Nd}(\text{NO}_3)_3$

1976

85: 100017j Phase diagram of the sodium nitrate-neodymium nitrate system. Vinogradov, E. E.; Kirilenko, I. A. (Inst. Obshch. Neorg. Khim. im. Kurnakova, Moscow, USSR). *Zh. Neorg. Khim.* 1976, 21(7), 1986-7 (Russ). The NaNO_3 - $\text{Nd}(\text{NO}_3)_3$ phase diagram was detd. by DTA and x-ray phase anal. The system is simple eutectic (245° , 45 wt.% NaNO_3).

qazob.
quarj.

C.A. 1976 85 n14

$\text{NaZn}(\text{MoO}_4)_2$

1977

$\text{Ln} = \text{La}, \text{Nd}, \text{Pr},$
 $\text{Sm}, \text{Eu}, \text{Gd}$
 $\text{Dy}, \text{Yb}, \text{Lu}, \text{Ho}, \text{Tb}$,
 $\text{Sc}, \text{Er}, \text{Y}$

Типичная О.П.

Абсолютно
аморфным
на конц. yt. смеси
KXH.

$\Delta H_f^\circ: \text{H}_T - \text{H}_{298}$ Мерноисслед. углер.
исслед. образ. кристаллиз.
РЗД.

$\text{LaLi}(\text{MoO}_4)_2$

1977

Преслава О.П.

(Cp)

автореферат
на соискание
ученой степени
кандидата

4Hf; H_T-H₂₉₃



1972
Nabid (Molny) 2 Тюмень О.И.

Автометеорит
на советской земле
Сибирь КХН.

(Cp)

ΔH_f° , $H_T - H_{298}$

Пересечение разные
ные исследованы
высотой РЗД.

YOF, LaOF, CeOF, PrOF, NdOF, CeOF₂, 1978
LiYF₄, NaYF₄, NaLaF₄, NaNdF₄, Na₂CeF₆, KLaF₄,
NaLaO₂, LiLaO₂, NaYO₂, NaNdO₂, Na₂CeO₃,
KLaO₂ (ΔH_f , S, Cp) ВД-1802

Белов С.Ф., Чукинов Н.С.

Узб. вузов. Учен. металургия, 1978, № 6, 87-90

Рассчитанное определение термодинамических
характеристик некоторых соединений редкоземель-
ных элементов.

РДН Хим., 1979

95675

Б, Масло

NaGdCl₄, KGdCl₄, CsGdCl₄ (ΔGf) 1973
GdCe₃(P) BX-1436 (ΔHf)

Dienstbach F., Blachnik R.

Z. anorg. und allg. Chem., 1978, 442, N5,
135-143 (Recn.)

Dampfdruckmessungen an alkali- und gar-
doliniumchlorid-schmelzen.

DHvXuM, 1978

245880

M, 5 90

24 Б880. Измерение давления пара над расплавами в системах хлорид щелочного металла — хлорид гадолиния. Dienstbach F., Blachnik R. Dampfdruckmessungen an alkalichlorid-gadoliniumchlorid-schmelzen. «Z. anorg. und allg. Chem.», 1978, 442, № 5, 135—143 (нем.)

На основе эффузионно-торсионных измерений давл. пара, подтвержденных масс-спектрометрич. экспериментами установлено, что пар над расплавами MCl —

$GdCl_3$ ($M=Na, K, Cs$) содержит наряду с молекулами MCl , M_2Cl_2 и $GdCl_3$ комплексы $MGdCl_4$. Исследование зависимости парциальных давл. компонентов от состава расплавов показало наличие отриц. отклонений от идеальности для изученных систем. Максим. конц-ия комплексных молекул наблюдается при составе конденс. фазы 1 : 1. Приведены таблицы активностей компонентов и интегральных избыточных энергий Гиббса при т-ре 1113 К ($M=Na, K$) и 1163 К ($M=Cs$) в зависимости от состава расплавов. Определена т-риая зависимость давл. пара жидк. $GdCl_3$: $\lg P = 3,57 - 7943/T$. Для образования $MGdCl_4$ из хлоридов рассчитаны $-\Delta G^\circ$ (1350 К) и $-\Delta H^\circ$ (298К), составившие для соотв-щих M : Na 9,8 и 55,4, K 14,4 и 60, Cs 16,4 и 62 ккал/моль.

В. В. Чепик

P, 46f

(+2) ✗

2.19.48, N24

1978

NaEu₂(PO₃)₇

6. 6. 15. Исследование полифосфатов европия. Ежова Ж. А., Тананаев И. В., Зорина Л. Н., Коваль Е. М., Сощин Н. П. «Изв. АН СССР. Неорганические материалы», 1978, 14, № 11, 2067—2072

Методами р-римости (остаточных конц-ий) и измерения конц-ии ионов H⁺ изучено взаимодействие в системе EuCl₃—(NaPO₃)_∞—H₂O при 0° и установлено, что взаимодействие ионов Eu³⁺ с полифосфат-ионами протекает в несколько стадий. При 0 < $n_{\text{исх}}$ < 2,9 [$n_{\text{исх}} = (\text{NaPO}_3)_{\infty}/\text{Eu}$] образуется основной фосфат состава Eu(OH)_{0,1}(PO₃)_{2,9}·yH₂O (I), причем pH р-ра уменьшается от 3,90 до 3,68. При $n_{\text{исх}} = 2,9$ —3,0 образуется средний полифосфат Eu(PO₃)₃·6H₂O (II), причем при $n_{\text{исх}} = 3,0$ содержание Eu в насыщ. р-ре минимально и равно 0,0002 г-ион/л. При дальнейшем росте значения $n_{\text{исх}}$ образуется осадок состава NaEu₂(PO₃)₇·12H₂O (III), причем р-римость III увеличивается от 0,0018 г-ион/л при $n_{\text{исх}} = 3,5$ до 0,025 г-ион/л при $n_{\text{исх}} = 4,8$ (полное р-рение). При добавлении ацетона в р-р полифосфата Eu с $n_{\text{исх}} = 6,0$ выделяется клейкий, затвердевающий в воздухе осадок состава Na₃Eu₂(PO₃)₇.

(Tm)

Х.1979, № 6

$(PO_3)_6 \cdot 6H_2O$. Методом БХ установлено, что все выделенные полифосфаты имеют цепочечное строение. II и III рентгеноаморфны. В ИК-спектрах II, III и безводн. $Eu(PO_3)_3$ (IV) обнаружены полосы, характерные для колебаний срединных групп PO_2 и мостиков P—O—P, что свидетельствует о наличии в II—IV полифосфатов с длинной цепью. Из анализа дериватограммы II следует, что дегидратация II протекает в две стадии. При 130° происходит удаление 5 молекул H_2O , причем образуется аморфный продукт, состоящий из смеси орто-, пиро- и триполифосфата. При 370° удаляется последняя молекула H_2O и образуется IV. Дегидратация III проходит в одну стадию при 120° . При 580° происходит кристаллизация продуктов дегидратации с образованием двойного полифосфата Na и Eu. При 850° двойная соль инконгруэнно плавится. В спектре люминесценции IV проявляются области переходов с 5D_0 -уровня на уровни 7F_j -мультиплета. Наиболее интенсивные группы линий соответствуют переходам $^5D_0 - ^7F_1$ (588—596 нм) и $^5D_0 - ^7F_2$ (613—621 нм). При исследовании спектров люминесценции осадков $Gd_{1-x}Eu(PO_3)_3$, полученных совместным осаждением полифосфатов Gd и Eu, обнаружено, что при увеличении x от 0,005 до 0,1 ат. доли интенсивность люминесценции повышается, после чего наблюдается тушение, о развитии к-рого можно судить по сокращению длительности возбужденного состояния иона Eu^{3+} . Наблюдаемое концентрац. тушение связано, вероятно, с сильной локализацией электронно-дырочных пар в ионной решетке фосфата, к-рая происходит на катионных центрах $Eu^{3+}-4f^6$, временно восстанавливающихся под действием электронного возбуждения до $Eu^{2+}-4f^6d$. С. С. Бердоносов

$\text{Li}_2[\text{Lu}(\text{NO}_3)_5] \cdot 2\text{H}_2\text{O}$; BX-1630 1978

$\text{Na}_2[\text{Lu}(\text{NO}_3)_5] \cdot 3\text{H}_2\text{O}$; $\text{K}_2[\text{Lu}(\text{NO}_3)_5] \cdot 3\text{H}_2\text{O}$ (T_m)

Малошкин А.К., Одинец З.К.,

Чубаров С.В., Чубанова Т.Н.

ДИ. ИССЛЕД. ХРОМИУ, 1978, № 8, 2250-2252

ВЗАИМОДЕЙСТВИЕ НИТРАТА ЛЮТЕСИЯ с

ХИМИЧЕСКИМИ РЕАГЕНТАМИ, ИЗМЕНЕНИЯ В СООСНОВ.

РДИ Курск, 1978

02.08.61

5 (9)

1978

$\text{Na}_3\text{La}(\text{AsO}_4)_2$
 $\text{Na}_3\text{Nd}(\text{AsO}_4)_2$
 $\text{Na}_3\text{Pr}(\text{AsO}_4)_2$

Синтез
 и рентгенографическое
 исследование

19 Б471. Синтез и рентгенографическое исследование некоторых новых двойных арсенатов натрия и редкоземельных элементов $\text{Na}_3\text{Ln}(\text{AsO}_4)_2$ ($\text{Ln}=\text{La}, \text{Pr}, \text{Nd}$) Parent C., Salmon R., Le Flem G. Préparation et étude radiocristallographique de quelques nouveaux arsénates doubles de sodium et de terre rare $\text{Na}_3\text{Ln}(\text{AsO}_4)_2$ ($\text{Ln}=\text{La}, \text{Pr}, \text{Nd}$). «C. r. Acad. Sci.», 1978, C286, № 13, 365—367 (франц.; рез. англ.)

Рентгенографическое (метод порошка) и ДТА исследование новых двойных арсенатов $\text{Na}_3\text{Ln}(\text{AsO}_4)_2$ ($\text{Ln}=\text{La}, \text{Pr}, \text{Nd}$): $\underline{\text{Na}_3\text{La}(\text{AsO}_4)_2}$ (I), $\underline{\text{Na}_3\text{Nd}(\text{AsO}_4)_2}$ (II) (синтезированных взаимодействием при 800° компонентов Na_2CO_3 , Ln_2O_3 , и $(\text{NH}_4)_2\text{HASO}_4$) и $\underline{\text{Na}_3\text{Pr}(\text{AsO}_4)_2}$ (III) (синтезированного взаимодействием Na_2CO_3 , Pr_6O_{11} и $(\text{NH}_4)_2\text{HASO}_4$ при $\text{t-ре } 800^\circ$) показало, что они существуют в виде двух полиморфных модификаций: низкот-риной α и высокот-риной β . Для α характерна структура типа $\text{Na}_3\text{La}(\text{VO}_4)_2$ и параметры ромбич.

X-1978 NK

решетки: I $a = 5,550$, $b = 14,33$, $c = 19,40 \text{ \AA}$, ρ (изм.) 4,14,
 ρ (выч.) 4,18; II 5,523, 14,28, 19,25, 4,30, 4,30; III
5,536, 14,32, 19,31, 4,24, 4,23; для всех $Z=8$, ф. гр.
 $Pbc2$. Для β определена структура типа глазерита
 $K_3Na(SO_4)_2$ с параметрами тригон. решетки: I $a = 5,68$,
 $c = 7,74$; II 5,65, 7,71; III 5,67, 7,72; ф. гр. $P\bar{3}m1$. Т-ра
обратимого перехода $\alpha \rightleftharpoons \beta$ для I, II, III, равна, соотв.
970, 930, 950°. Параметры тригон. решетки β связаны с
параметрами ромбич. решетки α след. соотношениями:
 $a_t \approx a_p$, $b_t \approx c_p / 8\sqrt{3}$, $c_t \approx b_p / 2$.

С. В. Соболева

NaLa(MoO₄)₂(Tm) BX-1447 1978

Tate Isao, Oishi Shuji,

Endo Yuji, Karai Wataru

J. Chem. Soc. Jap. Chem. and Ind. Chem., 1978,
N3, 372-376 (24011.)

Быстроустанавливающееся NaLa(MoO₄)₂
всегда получается в виде пакетов.

РЖХ, 1978

175692

5 (op)

NaCeS_2 (T_{2g}) 10304-X 1979

Lueken H., Brüggemann W.

Broniger W., Fleischhauer J.

J. Less-Common Metals, 1979, 65, Nl. 79-88 (4H20)

Magnetic properties of NaCeS_2 between
3.7 and 297 K.

DKH X000, 1979

235612



5④

4 Б515. Выращивание монокристаллов $\text{NaNd}(\text{MoO}_4)_2$ из тройной системы Nd_2O_3 — MoO_3 — Na_2CO_3 .
Oishi Shuji, Kapa i Wata gii, Tate I sao.
«Нихон. кагаку кайси, Nippon kagaku kaishi, J. Chem. Soc. Jap., Chem. and Ind. Chem.», 1979, № 9, 1181—1185 (япон.; рез. англ.)

Медленным охлаждением высокот-рого р-ра тройной системы Nd_2O_3 — MoO_3 — Na_2CO_3 изучены условия кристаллизации монокристаллов $\text{NaNd}(\text{MoO}_4)_2$ (I). Изменена р-римость кристаллов I в расплавах $\text{Na}_2\text{O}\cdot\text{MoO}_3$ и $\text{Na}_2\text{O}\cdot 2\text{MoO}_3$ в области т-р от 700 до 1100°. Установлена область существования I в тройной системе: 2—15, 53—85 и 10—45% мол. для Nd_2O_3 , MoO_3 и Na_2CO_3 соотв. Условия кристаллизации: т-ра гомогенизации р-ра 1100°, время выдержки 5 ч., скорость охлаждения 5 град/ч в области т-р 1100—400°. Получены пурпурно-красн. прозрачные кристаллы размером до $9\times 7\times 7$ мм³ (620 мг весом) из р-ра состава 5% мол. Nd_2O_3 —70 мол.%, MoO_3 —25 мол.% Na_2CO_3 общим весом 37 г. Кристаллы имели форму бипирамиды или усеченной бипирамиды с огранкой {101} и {001}. Параметры решетки I равны a 5,28 и c 11,5 Å, ρ (изм.) 4,9, ρ (выч.) 5,0, т. пл. ~по данным ДТА $1150\pm 5^\circ$. Г. А. Емельченко

израсходовано
исследование

(Три)

10333

1

Х/Г/80,1/Ч | X |

2 Б978. Ванадаты $\text{Na}_3\text{Ln}(\text{VO}_4)_2$ ($\text{Ln}=\text{Pr}$, Nd , Sm , Eu , Gd , Tb). Parent Claude, Fava Jean, Salmon Roger, Vlasse Marcus Le Flem Giles, Hagenmuller Paul, Antic-Fidancev Elisabeth, Lemaitre-Blaise Michelle, Cago Paul. Les vanadates $\text{Na}_3\text{Ln}(\text{VO}_4)_2$ ($\text{Ln}=\text{Pr}$, Nd , Sm , Eu , Gd , Tb). «Nouv. j. chim.», 1979, 3, № 8—9, 523—527 (франц.; рез. англ.).

Полиморфизм соединений $\text{Na}_3\text{Ln}(\text{VO}_4)_2$, где $\text{Ln}=\text{Pr}$, Nd , Sm , Eu , Gd , Tb , исследован методами термич. анализа и рентгеновской дифракции. Синтез ванадатов осуществлялся по р-циям: $3\text{Na}_2\text{CO}_3 + \text{Ln}_2\text{O}_3 + 2\text{V}_2\text{O}_5 = 2\text{Na}_3\text{Ln}(\text{VO}_4)_2 + 3\text{CO}_2$ ($\text{Ln}=\text{Nd}$, Sm , Eu , Gd), $9\text{Na}_2\text{CO}_3 + \text{Pr}_6\text{O}_{11} + 6\text{V}_2\text{O}_5 = 6\text{Na}_3\text{Pr}(\text{VO}_4)_2 + 9\text{CO}_2 + \text{O}_2$, $6\text{Na}_2\text{CO}_3 + \text{Tb}_4\text{O}_7 + 4\text{V}_2\text{O}_5 = 4\text{Na}_3\text{Tb}(\text{VO}_4)_2 + 6\text{CO}_2 + 0,5\text{O}_2$. При низких т-рах стабильной является монокл. модификация, при высоких — модификация со структурным типом гла-

зерита. Т-ры превращений ($\pm 10^\circ$) составляют для
 $\text{Na}_3\text{Pr}(\text{VO}_4)_2$ 835°, $\text{Na}_3\text{Nd}(\text{VO}_4)_2$ (I) 820°, $\text{Na}_3\text{Sm}(\text{VO}_4)_2$
805°, $\text{Na}_3\text{Eu}(\text{VO}_4)_2$ 795°, $\text{Na}_3\text{Gd}(\text{VO}_4)_2$ 770°, $\text{Na}_3\text{Tb}(\text{VO}_4)_2$
755°. Крист. структура монокл. модификации исследо-
вана на монокристалле I, полученном из расплава в NaF
(NaCl). Для I пространственная группа $C_c(C_s^4)$, a
29,14; b 5,574; c 14,22 Å, $\beta=91,4^\circ$, $Z=12$. Структура от-
несена к типу $\beta=\text{K}_2\text{SO}_4$. Проведено исследование оптич.
характеристик ванадатов, к-рые могут найти применение
в лазерной технике.

Л. А. Резницкий

194

Na-An-Si-O 19 В6. Двойные силикаты редкоземельных элементов и натрия. Панасенко Е. Б., Загинайченко Н. И., Склокина Н. Ф. «Ж. неорган. химии», 1979, 24, № 6, 1509—1514

засыпка

специальный

Методами ДТА, ДТГА, рентгенофазового и кристаллооптич. анализов изучены полученные в гидротермальных условиях двойные силикаты: $3\text{Na}_2\text{O} \cdot \text{Nd}_2\text{O}_3 \cdot 12\text{SiO}_2 \cdot n\text{H}_2\text{O}$ (I) (представитель силикатов структурного типа A), $2\text{Na}_2\text{O} \cdot \text{Nd}_2\text{O}_3 \cdot 6\text{SiO}_2 \cdot m\text{H}_2\text{O}$ (II) (структурный тип E₁), $2\text{Na}_2\text{O} \cdot \text{Dy}_2\text{O}_3 \cdot 6\text{SiO}_2 \cdot m\text{H}_2\text{O}$ (III) (структурный тип E₂) и $3\text{Na}_2\text{O} \cdot \text{Yb}_2\text{O}_3 \cdot 6\text{SiO}_2$ (IV) (структурный тип F). Согласно результатам термич. анализа, при нагревании I до 180—240° происходит удаление из I кристаллизации воды; при дальнейшем нагревании до 240—500° происходит дальнейшее удаление более прочно связанный воды (эндоэффекты на кривой ДТА). При т-ре ~500° I переходит в аморфное состояние, а затем происходит кристаллизация силикат-апатита $7\text{Nd}_2\text{O}_3 \cdot 9\text{SiO}_2$ (V) (фаза K). Выше 750° V плавится. Сравнительно низкое значение т-ры пл. V объяснено присутствием в образце примеси рентгеноаморфного силиката натрия, образующегося при разложении I. Термограмма II во многом похожа на термограмму I. При нагревании II до 450° на кривой ДТА отмечено 3 эндоэффекта. Суммарное

(T_{tr}, T_m)

х: 1549 NIS

уменьшение массы образца при этом составляет 9,1%. На этом основании предположено, что в состав II входит 4—5 мол. H_2O . При т-ре 500° происходит переход крист. силиката в аморфное состояние; выше 600° происходит кристаллизация фазы K и ее плавление при 800° . III не претерпевает заметных изменений при нагревании до 400° . Структура типа E_2 сохраняется до 500° . В области 560 — 640° на кривой ДТА отмечен эндозефект, отвечающий удалению H_2O (уменьшение массы на 2,6%), и происходит кристаллизация фазы $3\text{Na}_2\text{O}\cdot\text{Dy}_2\text{O}_3\cdot6\text{SiO}_2$ (VI) (тип F). VI плавится при т-ре $\sim 800^\circ$. Силикаты типов F и $\text{Na}_2\text{O}\cdot\text{Ln}_2\text{O}_3\cdot2\text{SiO}_2$ (VII) (тип G) термически устойчивы, при их нагревании до 1000° на кривых ДТА тепловые эффекты не регистрируются. Силикаты типа F, содержащие Dy—Yb, плавятся без разложения при т-рах от 1040 до 1240° ; т-ры пл. VII лежат выше 1250° . Изучение хим. устойчивости в различных средах при 25° I—IV, VII показало, что чистая вода не оказывает разрушающего действия на силикаты; р-ры 0,01 М HCl и H_3BO_3 не разрушают структуру силикатов, хотя в р-р при этом переходят ионы Na^+ . В 0,1 М р-рах HCl и HAc происходит разрушение силикатов, причем I—III разлагаются с выделением осадка аморфного SiO_2 , а IV и VII р-ряются практически полностью. При контактировании силикатов с р-рами NdCl_3 или NH_4Cl наблюдается переход катионов Na^+ в р-р, а осадок после обработки р-ром NdCl_3 обогащается неодимом. Высказано предположение, что двойные силикаты обладают способностью к обмену щел. катионов без разрушения структуры. Ионообменные св-ва наиболее сильны у силикатов типов A и E_1 , менее выражены у силикатов типа E_2 и отсутствуют у силикатов типов F и G.

С. С. Бердоносов

NaLaP₄O₁₂

1980

17 В4. Доказательство существования двойного метаfosфата натрия и трехвалентного лантана. Mise en évidence d'un métaphosphate mixte entre le sodium et le lanthane (III). Belhassen Dalila, Dabbabi Mongi. «J. Iraqi Chem. Soc.», 1980, 5, Spec. Issue, 351 (фр.)

Методами ДТА и РФА установлено, что NaPO_3 и $\text{La}(\text{PO}_3)_3$, взятые в эквимол. отношении, образуют друг с другом уже при 400°C соединение вероятного состава $\text{NaLaP}_4\text{O}_{12}$ (I) с т. пл. 873°C . Спектр I в видимой и ИК-области указывает, по-видимому, на строение I с бесконечными цепями тетраэдров $[\text{PO}_4]$, связанными мостиковыми атомами O; строение I подобно таковому для $\text{KNd}(\text{PO}_3)_4$.

Р. А. Лидин,

X. 1984, 19, N 17

1980

Na₄Ln(WNb)₂Dy F₅

6 Б955. Изучение кристаллохимических и диэлектрических свойств оксифторидов РЗЭ $\text{Na}_4\text{Ln}(\text{WNb}_2)\text{O}_9\text{F}_5$. El a t m a n i M., R a v e z J., H a g e n m u l l e r P. Etude cristallochimique et dielectrique des oxyfluorures de terres rares $\text{Na}_4\text{Ln}(\text{WNb}_2)\text{O}_9\text{F}_5$. «Mater. Res. Bull.», 1980, 15, № 7, 981—983. (франц.; рез. англ.)

Синтезировано 6 новых соединений состава $\text{Na}_4\text{Ln}(\text{WNb})_2\text{O}_9\text{F}_5$ ($\text{Ln}=\text{Y}, \text{Nd}, \text{Eu}, \text{Gd}, \text{Dy}, \text{Lu}$). Фазы при комн. т-ре имеют тетрагон. симметрию и структурный тип $Ia\bar{3}$. При низких т-рах для каждого соединения обнаружен фазовый переход из сегнетоэлектрич. в параллельно-заряженные. Т-ра Кюри возрастает с размером иона Ln^{3+} .

Резюме

(Tr)

Киевская обл.

св-ва

2.1981.№6

$\text{Na}_4\text{Ln}(\text{WNb}_2)\text{O}_9\text{F}_5$

1980

Tauriel

94: 23664z Crystal and dielectric study of rare earth oxyfluorides $\text{Na}_4\text{Ln}(\text{WNb}_2)\text{O}_9\text{F}_5$. Elaatmani, M.; Ravez, J.; Hagenmuller, P. (Lab. Chim. Solide, Univ. Bordeaux, 33405 Talence, Fr.). *Mater. Res. Bull.* 1980, 15(7), 981-3 (Fr). Six new compds. with formula $\text{Na}_4\text{Ln}(\text{WNb}_2)\text{O}_9\text{F}_5$ ($\text{Ln} = \text{Y}, \text{Nd}, \text{Eu}, \text{Gd}, \text{Dy}, \text{Lu}$) have been synthesized. The corresponding room temp. phases have a tetragonal symmetry and a chiloite-type structure. A low temp. a ferroelec.-paraelec. transition is detected for each compd. The Curie temp. increases with the size of the Ln^{3+} ion.

C.A 1981. 94N4

Nat'l - Geog. 10261-I 1980

(gas. group) Fink H.
Seifert H. J.

Z. Anorg. Allg. Chem.

1980, 466, 87-96

$\text{NaNd}(\text{OO}_4)_2$

1980

Oishi S., et al.

(Fr)

Chem. Lett., 1980, 111,
1449-52.

corr. $\text{Li Nd}(\text{OO}_4)_2 \cdot \text{--}$

Na₅Sn(SeO₄)₂·3H₂O [ISSN 0022-248X (1987) 1980]

Nabar M.S.; et al.

Preparation
Properties

Thermochim. Acta,
1980; 35, 287-292

1980

 $\text{Na}_3\text{Ln}(\text{AsO}_4)_2$

5 Е71б. Редкоземельные арсенаты натрия. Les orthoarsenates de sodium et de terre rare. Parent Claude, Salmon Roger, Demazeau Gérard, Le Flem Gilles. «J. Solid State Chem.», 1980, 35, № 1, 83—89 (франц.; рез. англ.)
 Установлено, что соединения с общей ф-лой

помимо
 $\text{Na}_3\text{Ln}(\text{AsO}_4)_2$ существуют в пяти полиморфных модификациях. Прослежены их взаимные переходы в зависимости от размера редкоземельного иона, т-ры и давления. Структурно эти соединения изотипны фосфатным и ванадатным гомологам. Определены параметры решетки и плотности всех исследованных фаз. Обсуждены кристаллохимич. особенности различных структурных типов.

Б. Г. Алапин

ф. 1981 n 5

13 Б800. Исследование систем $\text{NaBO}_2\text{-CdO}$ и $\text{NaBO}_2\text{-CdB}_4\text{O}_7$. Абдуллаев Г. К., Рза-заде П. Ф., Мамедов Х. С. «Изв. АН СССР. Неорг. материалы», 1981, 17, № 3, 456—458. 1981

Системы $\text{NaBO}_2\text{-CdO}$ (1) и $\text{NaBO}_2\text{-CdB}_4\text{O}_7$, (2) исследованы методами ДТА, рентгенофазового анализа и ИК-спектроскопии. Построены диаграммы состоянияй систем. В системе (1) установлены два новых соединения составов $2\text{Na}_2\text{O}\cdot\text{CdO}\cdot2\text{B}_2\text{O}_3$ (I) и $\text{Na}_2\text{O}\cdot\text{CdO}\cdot\text{B}_2\text{O}_3$ (II), к-рые плавятся при т-рах 900 и 850° С соотв. Плотность I и II соотв. равна 3,18 и 4,86 г/см³. Для I определены параметры ромбич. решетки: $a = 10,73$ (5), $b = 11,74$ (6), $c = 6,64$ (3) Å, $Z=4$, $d_{\text{выч}} = 3,36$ г/см³. По данным ИК-спектров поглощения атомы бора в I находятся как в треугольной, так и в тетраэдрич. координации по кислороду, а II — только в треугольной координации. В системе (2) обнаружено одно соединение состава $\text{Na}_2\text{O}\cdot\text{CdO}\cdot3\text{B}_2\text{O}_3$, плавящееся при 870° С. Его плотность равна 3,85 г/см³. Атомы бора в последнем соединении по данным ИК-спектров находятся в треугольной и тетраэдрич. координации по кислороду. Приведены межплоскостные расстояния и интенсивности дифракц. пиков для новых соединений исследованных систем.

Автореферат

NaNdO₂

отм 13277

1981

7 E653. Полиморфизм некоторых натриево-щелочно-земельных тройных окислов типа NaLnO_2 . Polymorphism in some sodium lanthanide-metal ternary oxides of the type NaLnO_2 . Barker Marten G., Frankham Stephen A., Gadd Paul G. «J. Inorg. and Nucl. Chem.», 1981, 43, № 11, 2815—2819 (англ.)

Методом твердофазного синтеза в интервале т-р 600—900° С из смесей металлич. лантанондов или из окислов с Na_2CO_3 , Na_2O_2 или Na_2O получен ряд соединений с общей ф-лой NaLnO_2 (Ln — лантаноид в ряду от Ce до Er). Структура полученных соединений сопоставлена со структурой продуктов взаимодействия окислов редких земель с жидким металлич. Na. Установлено, что симметрия образующихся соединений определяется видом натрийсодержащего реагента. Впервые получены кубич. модификации NaNdO_2 , NaSmO_2 , NaEuO_2 , NaGdO_2 , а также NaCeO_2 в тетраг. форме со структурой типа $\alpha\text{-LiFeO}_2$. Биол. 17. Б. Г. Алалин

(4)

Ф. 1982, 18, № 7.

Nal'el'd

омм 13272

1981

11 Б397. Полиморфизм некоторых тройных оксидов натрия и редкоземельных элементов типа NaLnO_2 . Barker Marten G., Frankham Stephen A., Gadd Paul G. Polymorphism in some sodium lanthanide-metal ternary oxides of the type NaLnO_2 . «J. Inorg. and Nucl. Chem.», 1981, 43, № 11, 2815—2819 (англ.).

Осуществлен синтез (взаимодействием Ln_2O_3 ($\text{Ln} = \text{Ce}, \text{Pr}, \text{Nd}, \text{Sm}, \text{Eu}, \text{Gd}, \text{Tb}, \text{Dy}, \text{Ho} \text{ и } \text{Er}$) с Na_2CO_3 , Na_2O_2 или Na_2O при т-рах 590—940°), ДТА и рентгено-графич. (метод порошка) исследование соединений NaLnO_2 . В дополнение к ряду известных соединений (тетрагон. фазы NaPrO_2 , NaNdO_2 , NaSmO_2 , NaEuO_2 , NaGdO_2 ; кубич. и монокл. модификации NaTbO_2 , Na-DyO_2 , NaHoO_2 ; кубич., монокл. и гексагон. модификации NaErO_2) синтезировано новое тетрагон. соединение NaCeO_2 ($a = 4,78$, $c = 10,99$ Å) со структурой типа $\alpha\text{-LiFeO}_2$. Кроме того получены ранее неизвестные кубич. модификации соединений NaNdO_2 ($a = 4,93$ Å), NaSmO_2 (4,89), NaEuO_2 (4,86), NaGdO_2 (4,82). Приведены значения Γ , $d(\text{hkl})$ рентгенограммы порошка NaCeO_2 .

X, 1982, 19, N 11.

на обороте

С. В. Соболева

NaNdD_2 , NaEuD_2 , NaBfDD_2

¹⁰
Ba

NaEuO_2 Omm 13277 1981
Barker Marter G.,
et al.

T_{t^2} ; J. Inorg. and Nucl.
Chem., 1981, 43, N 11,
2815 - 2819.
(c.c. NaCeO_2 ; I)

NaSnO_2 9mm 13277 1981
Barker Marter G.,
et al.

T_{tr} ; J. Inorg. and Nucl.
Chem., 1981, 43, N11,
● 2815-2819.
(crys. NaCeO_2 ; ?)

NaGdO_2 omm 13277 1981
Barker Marten G.,
et al.

T_{t2} ; J. Inorg. and Nucl.
Chem., 1981, 43, N II,
2815 - 2819.
(ceo. NaCeO_2 ; I)

NaNdO_2 own 13277 1981

Barker Marter G.,
et al.

T_{tr} ; J. Inorg. and Nucl.
Chem., 1981, 43, N 11,

● 2815-2819.

(crys. NaCeO_2 ; ?)

Ommeek 13277

1981

NadnO₂

In-situoles

(nonradioactive)

Barker M. G., Frankham S.A., et al.,

J. Inorg. and Nucl. Chem., 1981, 43, N11,

2815-2819.

1981

NaLa(SO₄)₂

24 Б481. Кристаллическая структура NaLa(SO₄)₂.
 Чижов С. М., Покровский А. Н., Kovba L. M.
 «Кристаллография», 1981, 26, № 4, 834—836

Проведено рентгенографич. (дифрактометр, 1567 отражений, МНК в анизотропном приближении, $R=0,029$) определение крист. структуры $\text{NaLa}(\text{SO}_4)_2$. Кристаллы трикл., $a = 7,081$, $b = 6,765$, $c = 6,456 \text{ \AA}$, $\alpha = 102,25^\circ$, $\beta = 91,20^\circ$, $\gamma = 87,71^\circ$, $Z=2$, ф. гр. $\bar{P}\bar{1}$. Структура каркасная, построенная из полиэдров LaO_{10} , соединенных тетраэдрами SO_4 . Атомы Na находятся в пустотах каркаса. Полиэдры LaO_{10} образуют цепочки, параллельные b . Каждый полигон LaO_{10} имеет общие вершины или ребра с 7 тетраэдрами SO_4 (средн. расстояние La—O 2,608 Å); 4 тетраэдра SO_4 связаны монодентатно, а 3 — бидентатно. Атом Na окружен 8 атомами O (искаженная антипризма). Проведено сопоставление исследуемой структуры со структурными мотивами $\text{NaNd}(\text{SO}_4)_2$ и $\text{NaEr}(\text{SO}_4)_2$. Отмечен ряд закономерностей: а) основу

*Кристал.
структур*

X. 1981, 19, N 24.

всех структур составляют полиэдры РЗЭ, координирующих тетраэдры SO_4 ; б) с увеличением порядкового номера РЗЭ закономерно изменяется связь их полиэдров; в) закономерно уменьшается коорд. ч. РЗЭ (La—10, Nd—9, Ег—8); г) во всех случаях атомы Na размещены либо в пустотах каркаса, либо между слоями.

И. Д. Датт

$TmBr_3 \cdot 3NaBr$

1981

Люсогкин А.К. и др.

P.
Ж. неорган. химии,
1981, 26, III, 3148 - 3150.



(ces. $P_2B_2 \cdot 2TlB_2$; III)

$\text{NaCe}(\text{PO}_3)_4$

1981

95: 210536s Phase equilibrium relations in the binary systems lithium metaphosphate (LiPO_3)—cerium metaphosphate (CeP_3O_9) and sodium metaphosphate (NaPO_3)—cerium metaphosphate (CeP_3O_9). Rzaigui, Mohamed; Ariguib, Najia Kbir (Lab. Phys. Chim. Miner., Ecole Norm. Super., Tunis, Tunisia). *J. Solid State Chem.* 1981, 39(3), 309-13 (Eng). The LiPO_3 - CeP_3O_9 and NaPO_3 - CeP_3O_9 systems were studied by DTA, x-ray diffraction, and IR spectroscopy. Each system forms a single 1:1 compd. $\text{LiCe}(\text{PO}_3)_4$ melts in a peritectic reaction at 980° . $\text{NaCe}(\text{PO}_3)_4$ melts incongruently at 865° . These compds. have a monoclinic unit cell with the parameters: a , 16.415(6), b , 7.042(6), c 9.772(7) Å; β 126.03(5)°; Z = 4; space group C_2/c for $\text{LiCe}(\text{PO}_3)_4$; and a 9.981(4), b 13.129(6), c 7.226(5) Å, β 89.93(4)°, Z = 4, space group $P2_1/n$ for $\text{NaCe}(\text{PO}_3)_4$. Both compds. are mixed polyphosphates with chain structure of the type $|\text{M}_\text{I}|\text{M}_\text{II}|\text{M}_\text{III}|(\text{PO}_3)_4|$ - with M_I alkali metal, M_II rare earth.

Tmj

C.A. 1981, 95, w24

NaR(SO₄)₂

1982

R = Tm - Lu

4 Б925. Изучение термической устойчивости двойных сульфатов натрия и РЗЭ состава $\text{NaR}(\text{SO}_4)_2$. Чижов С. М., Покровский А. Н. «Ж. неорган. химии», 1982, 27, № 11, 2971—2974

Изучена термич. устойчивость двойных сульфатов натрия и РЗЭ состава 1:1, приготовленных методом твердофазных р-ций. Все соединения $\text{NaR}(\text{SO}_4)_2$ плавятся инконгруэнтно. Для двойных сульфатов тербия, туния, иттербия и лютеция установлено наличие высокот-рных модификаций и определены т-ры полиморф. переходов. По данным монокристальных исследований определены параметры изоструктурных двойных сульфатов $\beta\text{-NaR}(\text{SO}_4)_2$, где R=Tm—Lu.

Резюме

*термическ.
устойчив.*

X. 1983, 19, N 4

α -NaTm(SO₄)₂

1982

3 Б420. Кристаллическая структура α -NaTm(SO₄)₂.
Чижов С. М., Покровский А. Н., Kovba L. M.
«Кристаллография», 1982, 27, № 5, 997—998

Проведено рентгеноструктурное исследование
 α -NaTm(SO₄)₂ (I; λ Mo, 803 отражения, МНК до R
0,060). Кристаллы монокл., a 4,669, b 10,143, c 6,837 Å,
 γ 110,40°, Z 2, ф. гр. $P2_1/m$. I изоструктурен NaEr-
(SO₄)₂ (II). Проведен анализ межатомных расстояний
в структурах I и II. Расстояния Tm—O 2,248—2,681 Å
для I, Er—O 2,262—2,647 Å для II. И. Л. Ф.

Tet;

X. 1983, 19, N 3

$Na_5Tb(WO_4)_4$

1982

Кристал.
Структура

11 Б411. О тонких изменениях в строении шеелито-
подобных $Na_5TR(EO_4)_4$ при вариации их элементного
состава. Ефремов В. А., Трунов В. К., Березина
Т. А. «Кристаллография», 1982, 27, № 1, 134—139

Уточнены межатомные расстояния в изоструктурных
 $Na_5Tb(WO_4)_4$, $Na_5La(WO_4)_4$, $Na_5La(MoO_4)_4$, ф. гр. $I4_1/a$.
Проведен анализ особенностей строения (межатомные
расстояния, степень совершенства катионных и анион-
ных остовов, искаженность полиэдров) шести
 $Na_5TR(EO_4)_4$ с $TR=La$, Tb , Lu и $E=Mo$, W . Дано вер-
оятное объяснение найденным закономерностям.

Резюме

(72)

↗



Х. 1982, 19, N 11.

$\text{Na}_5\text{Ta}(\text{WO}_4)_4$

1982

Ефремов В. А. и др.

Кристал.
структур.

Кристаллография,
1982, № 1, 134-139.



(см. $\text{Na}_5\text{Ta}(\text{WO}_4)_4$)

$\text{Na}_5\text{Ta}(\text{WO}_4)_4$

1982

Егоренов В. А. и др.

Кристалл. Кристаллография,
структур. 1982, 27, № 1, 134 - 139.

(см. $\text{Na}_5\text{Ta}(\text{WO}_4)_4$; I)

№ 111. 3 ПрCl₃

1982

4 Б934. Фазовая диаграмма тройной системы PrCl₃—CaCl₂—NaCl. Hattori Takeo, Ikezawa Hideo, Hirano Ryoichi, Mochinaga Junichi. «Нихон кагаку кайси, Nippon kagaku kaishi, J. Chem. Soc. Jap., Chem. and Ind. Chem.», 1982, № 6, 952—955 (яп.; рез. англ.)

С помощью ДТА исследовано взаимодействие в системе PrCl₃ (I) — CaCl₂ (II) — NaCl (III). По данным термич. анализа двойных систем и 12 разрезов (среда Ag, скорость охлаждения 6—10 град/мин) построена диаграмма плавкости. I чистоты 99,9% получен в результате взаимодействия Pr₆O₁₁ и NH₄Cl, II и III обезвожены в вакууме при т-рах ниже т. пл. В системе I—III образуется инконгруэнтно плавящееся соединение III·3 I (IV), перитектика при 587°C и 56 мол.% I, эвтектика при 467°C и 35 мол.% I. В системе I—II образуется эвтектика при 607°C и 42 мол.% I, в системе

Pr₃

X. 1983, 19 NY

II—III — эвтектика при 507°C и 48 мол.% III. Пв ликвидуса тройной системы состоит из полей компонентов II и IV; эвтектика — при 440°C и содержании (мол.%) 20 I, 30 II, 50 III; перитектика при 587°C и 36 I, 50 II, 14 III.

Резюме

NaLa(PO₃)₄

1982

9 E496. Изучение равновесий твердое состояние—

жидкость в бинарной системе NaPO₃—LaP₃O₉. Étude des équilibres solide—liquide du système binaire NaPO₃—LaP₃O₉. Hassen Dalila Ben, Ariguib Najia Kbir, Dabbabi Mongi, Trabelsi Melika. «C. r. Acad. sci.», 1982, sér. 2, 294, № 6, 375—378 (фр.; рез. англ.)

Методом ДТА исследованы фазовые равновесия в системе NaPO₃—LaP₃O₉. Определена полная диаграмма равновесия этой системы. Единственным соединением в системе является NaLa(PO₃)₄, плавящееся никонгруэнтно при 870° С. Существует эвтектика при 5 мол. % LaP₃O₉ и 620° С. Рентгеновским методом установлена структура NaLa(PO₃)₄. Это соединение принадлежит к моноклинной сингонии с пр. гр. *P2₁/c* и параметрами решетки *a*=12,30 (3), *b*=13,03 (3), *c*=7,21 (2) Å, $\beta=126,69 (5)^\circ$, *z*=4.

А. И. К.

φ. 1982, 18, N 9

Nадеи (804) 2

1982

$\text{Na}_2\text{Yb}_2(\text{SO}_4)_4$

работа
превращен.

(12) 8

X.1983, 19 N4

4 Б927. Термоаналитическое исследование бинарных систем Lu_2O_3 - и Yb_2O_3 -персульфат щелочного металла. Thermoanalytical studies of Lu_2O_3 - and Yb_2O_3 -alkali per-sulfate binary systems. Igal Jalil R., Hussain Khalil I., Jasim Fad hil. «Thermochim. acta», 1982, 58, № 3, 355—361 (англ.)

С помощью ДТА, ТГА и дифрактометрии изучено взаимодействие в системах Lu_2O_3 (I) — $\text{Na}_2\text{S}_2\text{O}_8$ (II), I — $\text{K}_2\text{S}_2\text{O}_8$ (III), Yb_2O_3 (IV) — II, III — IV при т-рах до $\sim 1000^\circ\text{C}$ и соотношениях компонентов $\text{Э}_2\text{O}_3$: персульфат = 2 : 1,1 : 1,2 : 3,1 : 3 и 1 : 6. В системе I — II р-ция происходит в интервале 380—435° С с образованием $\text{NaLu}(\text{SO}_4)_2$ (V) и Na_2SO_4 (VI). V претерпевает фазовые превращения при 480 и 550°C . В системе I — III р-ция осуществляется при 350—380° С с образованием $\text{Lu}_2(\text{SO}_4)_3$ и K_2SO_4 (VII). В системе II — IV р-ция происходит при 375—480° С с образованием $\text{Na}_2\text{Yb}_2(\text{SO}_4)_4$ и VI. Двойная соль устойчива до 900°C , при 493 , ~~553~~ и 730°C претерпевает фазовые превращения. В системе III — IV при нагревании до 600°C образуется $\text{Yb}_2(\text{SO}_4)_3$ и VII.

Л. Г. Титов

TmBr₂ · 3NaBr

1982

8 Б835. Взаимодействие трибромида тулия с бромидами натрия, калия и цезия. Молодкин А. К., Стрекачинский А. Б., Дударева А. Г., Ежов А. И., Крохина А. Г. «Ж. неорган. химии», 1982, 27, № 1, 219—222

Методами ДТА, РФА и кристаллооптич. изучено взаимодействие в расплаве трибромида тулия с бромидами натрия, калия и цезия. В системе TmBr₃—NaBr компоненты образуют инконгруэнтно плавящееся соединение TmBr₂ · 3NaBr при 508° С. При 450° С оно претерпевает полиморфное превращение. Трибромид тулия с бромидом калия образует TmBr₃ · 3KBr, к-рое плавится конгруэнтно при 706° С и имеет полиморф. превращение при 428° С. В системе TmBr₃—CsBr существуют два соединения 2TmBr₃, 3CsBr и TmBr₃ · 3CsBr. Первое плавится инконгруэнтно при 668° С, второе — конгруэнтно при 810° С и имеет полиморф. превращение при 454° С.

Резюме

X. 1982, 19, w8

$3\text{NaBr} \cdot \text{TbBr}_3$

1983

16 В19. Взаимодействие трибромида тербия с бромидами натрия и калия. Дударева А. Г., Стре-
качинский А. Б., Гедлу Тамерат, Полян-
ская О. В., Ежов А. И. «Ж. неорган. химии», 1983,
28, № 4, 1073—1074

T_m , $T_{t\delta}$;

Методами ДТА и РФА и кристаллооптич. изучено взаимодействие трибромида тербия с бромидами натрия и калия. Компоненты образуют между собой два типа соединений: $3\text{MBr} \cdot 2\text{TbBr}_3$ и $3\text{MBr} \cdot \text{TbBr}_3$, где $\text{M} = \text{Na}, \text{K}$, $3\text{NaBr} \cdot 2\text{TbBr}_3$ и $3\text{KBr} \cdot 2\text{TbBr}_3$ образуются в тв. фазе и разлагаются при 460 и 300°C соотв. $3\text{NaBr} \cdot \text{TbBr}_3$ и $3\text{KBr} \cdot \text{TbBr}_3$ плавятся инконгруэнтно при 660 и 625°C и претерпевают полиморф. превращения при 400 и 420°C соответственно.

Резюме

(1) \otimes

X, 1983, 19, № 16

$3\text{NaBr} \cdot \text{TbBr}_3$

1983

98: 205158c Interaction of terbium tribromide with sodium and potassium bromides. Dudareva, A. G.; Strekachinskii, A. B.; Tamerat, Gedlu; Polyanskaya, O. V.; Ezhov, A. I. (Univ. Druzhby Nar. im. Lumumby, Moscow, USSR). *Zh. Neorg. Khim.* 1983, 28(4), 1073-4 (Russ). Crystallooptical, DTA, and x-ray phase anal. studies showed formation of $3\text{MBr} \cdot 2\text{TbBr}_3$ and $3\text{MBr} \cdot \text{TbBr}_3$ ($\text{M} = \text{Na}, \text{K}$). The 3:2 compds. form in the solid phase at 460 ($\text{M} = \text{Na}$) and 300° ($\text{M} = \text{K}$). The 3:1 compds. incongruently m. 660 ($\text{M} = \text{Na}$) and 625° ($\text{M} = \text{K}$) and undergo polymorphic transitions at 400 and 420°, resp.

$T_m, T_{cr},$

(+) \times

$3\text{KBr} \cdot \text{TbBr}_3$

c.A. 1983, 98, n24

NaYbF₄

1983

98: 167884b Sodium fluoride-ytterbium fluoride system. Fedorov, P. P.; Rappo, A. V.; Spiridonov, F. M.; Sobolev, B. P. (USSR). *Zh. Neorg. Khim.* 1983, 28(3), 744-8 (Russ). DTA and x-ray phase anal. showed formation of a variable compn. phase with fluorite structure, a phase with structure derived from fluorite-type, and the compd. NaYbF₄ (congruently m. 954°). Eutectics occur at 598, 915° and YbF₃ 28, 75 mol %, resp.. Lattice parameters for hexagonal NaYbF₄ are given.

Tm ;

C.A. 1983, 98, N 20

$\text{NaF}-\text{YbF}_3$

1983

) 12 Б960. Система $\text{NaF}-\text{YbF}_3$. Федоров П. П.,
Раппо А. В., Спиридовон Ф. М., Собо-
лев Б. П. «Ж. неорган. химии», 1983, 28, № 3,
744—748

Методами дифференциального ДТА и рентгенофазо-
вого анализа изучена система $\text{NaF}-\text{YbF}_3$. Определены
параметры решетки образующихся в ней фаз. Резюме

перегибы.

X. 1983, 19, N12

DyJ₃/NaJ

NaDyJ₄

P, ΔH_f;

(4) A

X. 1984, 19, N 15.

от 18.02.4 1983

15 Б3044. Образование комплексов в газовой фазе над системами DyJ₃/NaJ и DyJ₃/CsJ. Vapor phase complex formation over the DyJ₃/NaJ and DyJ₃/CsJ systems. Kaposi O., Lelik L., Balthazar K. «High Temp. Sci.», 1983, 16, № 5, 311—323 (англ.)

С помощью масс-спектрометра, оборудованного Моячейкой Кнудсена, в паре над системами DyJ₃—MJ, где M=Na, Cs, зарегистрированы комплексные молекулы NaDyJ₄ (I) и CsDyJ₄ (II). Из т-рных зависимостей ионных токов получены ΔH (900, субл., I) (218 ± 12) и II (180 ± 10 кДж/моль). С привлечением лит. данных рассчитаны ΔH_{900} образования и атомизации II —688 и 1484 кДж/моль I —620 и 1446 кДж/моль. Для р-ции DyJ₃+MJ=M DyJ₄, протекающей в газовой фазе, вычислены ΔH_{900} — $197,5 \pm 10$ (M=Na) и — $181,5 \pm 12$ кДж/моль (M=Cs) и оценены ΔS_{900} —119 (M=Na) и —157 Дж/моль. К (M=Cs). В. В. Чепик

DyJ₃/CsJ, CdYJ₄

NaDyI₄

[Om. 18624]

1983

100: 109936u Vapor-phase complex formation over the dysprosium triiodide/sodium iodide and dysprosium triiodide/cesium iodide systems. Kaposi, O.; Lelik, L.; Balthazar, K. (Dep. Phys. Chem. Radiol., Lorand Eotvos Univ., H-1088 Budapest, Hung.). *High Temp. Sci.* 1983, 16(5), 311-23 (Eng). A Knudsen cell-mass spectrometric technique was used to det. the fragmentation patterns and appearance potentials for vapor species over mixts. of DyI₃ [15474-63-2] with NaI and CsI. Direct evidence for high temp. vapor phase complex formation in these systems was obtained. From the temp.-dependences of the measured ion intensities, various important thermochem. data for heterocomplexes were detd. The heats of sublimation at 1000 K are (NaDyI₄) 218 ± 12 and (CsDyI₄) 180 kJ/mol, resp. The heats of formation of the complexes are (NaDyI₄)_(g) -620 and (CsDyI₄)_(g) -688 and the atomization energies are 1446 and 1484 kJ/mol, resp. The satd. vapor pressures as functions of temp. were deduced from ion current measurements. By assuming equil. and that the fugacities of the vapor species are equal to their partial pressures, the free energies and entropies of formation of the heterocomplexes were derived.

B3H, DfH,
Damcm-

(4) 18

C.A. 1984, 100, N14

NiNiO₂

1983

10 Б2013. К изучению структурного типа α -LiFeO₂: исследование LiScO₂ и NaNdO₂. To the knowledge of the α -LiFeO₂ type: An examination of LiScO₂ and NaNdO₂. Кuo Y., B., Scheid W., Hoppe R. «Z. Kristallogr.», 1983, 164, № 1—2, 121—127 (англ.)

Проведено рентгенографич. определение структур (дифрактометр, анизотропный МНК) соединений LiScO₂ (I) ($R = 2,6$ для 90 отражений) и NaNdO₂ (II) ($R = 7,4$ для 164 отражений), синтезированных взаимодействием простых окислов при т-рах 1360° и 1100° С соотв. Для I и II установлена изоструктурность с α -LiFeO₂ и определены параметры тетрагон. решеток: (Z 4, ф. гр. $I4_1/amd$): I $a = 4,1828$, $c = 9,331$; II $a = 4,7420$, $c = 10,862$ Å. Катионы в структурах I и II характеризуются октаэдрич. координацией (в I Sc—O 2,1013, 2,129; Li—O 2,1013, 2,536; в II Nd—O, 2,38, 2,395, Na—O 2,395, 3,05 Å). Проведен подсчет эффективных координац. чисел, средних фиктивных ионных радиусов и значений со-

структура

И

II

Х. 1984, 19, N 10

ставляющих Маделунга в общей энергии решетки, давших хорошее соответствие с суммами значений для простых оксидов. Детальный анализ структур I, II и α - LiFeO_2 и в частности, характера соотношения между параметрами a и c и единственным независимым параметром структуры — координаты z трехвалентных катионов, показал, что эти структуры не являются упорядоченными производными от структурного типа NaCl , а скорее представляют собой структуры типа внедрения на основе структурного типа антаза. С. В. Соболева.

дГОН
 $\leq 2;$

$3\text{NaBr} \cdot \text{HoBr}_3$

1984

Дударева А. Т., Полян-
ская О. В., Телечко Н. В.,
"гр."

T_m :

Ж. неорганическим,
1984, 29, N 10, 2646 -



2650.

(ав. $\text{LiBr} \cdot 9\text{HoBr}_3$; ?)

Na₂Zn(MoO₄)₂ 1984
Na₂Zn(WO₄)₂ Каюнчик D.C.
Перенесена J. H.
Изд. АН СССР. Успехи.
материа., 1984,
20, №, 653-658.

(см. ZnZn(MoO₄)₂; I).

NaCl-PbCl₂-NdCl₃

1984

Костыгов В. И., Потемин С. С.

При применении термодинамического расчета для исследования диаграммы плавкости тройной системы NaCl—PbCl₂—NdCl₃.

Вестн. Ленингр. ун-та, 1984, № 10. Физика, химия, вып. 2, с. 48—52.

Рез. англ.

Библиогр.: 11 назв.

— — 1. Натрий, хлориды — Исследование в системах. 2. Свинец, хлориды — Исследование в системах. 3. Неодим, хлориды — Исследование в системах. 4. Системы тройные хлоридные — Диаграммы плавкости.

№ 100196

14 № 6670

ВКП 12.09.84



УДК 541.123.3

18.5

№ 1е (WО₄)₂

1984

17 Б3085. Труднорастворимые соединения церия в расплавах солей. I. Вольфрамат церия и фосфат церия в хлоридных и вольфраматных расплавах. Крюкова А. И., Казанцев Г. Н., Коршунов И. А., Брагина Р. А., Бабина Л. В., Игнатьева Т. С. «Радиохимия», 1984, 26, № 2, 192—196

Исследовано поведение вольфрамата церия $\text{NaCe}(\text{WO}_4)_2$ и фосфата церия $\text{Na}_3\text{Ce}_2(\text{PO}_4)_3$ в высокотропных солевых расплавах. Изучена р-римость этих соединений в хлоридных, вольфраматных, хлоридно-вольфраматных расплавах при 700—800° С. Рассчитана энталпия плавления вольфрамата церия. Оценена термич. устойчивость вольфрамата и фосфата церия. Исследован состав тв. фаз при контактировании с солевым расплавом.

Резюме

(+) ☒

Х. 1984, 19, N 17

● $\text{Na}_3\text{Ce}_2(\text{PO}_4)_3$
оценка терм. устойчив.

$\text{NaCe}(\text{WO}_4)_2$

1984

100; 216671a Slightly soluble cerium compounds in molten salts. I. Cerium tungstate and cerium phosphate in chloride and tungstate melts. Kryukova, A. I.; Kazantsev, G. N.; Korshunov, I. A.; Bragina, R. A.; Babina, L. V.; Ignat'eva, T. S. (USSR). *Radiokhimiya* 1984, 26(2), 102-6 (Russ.). Solubilities of $\text{NaCe}(\text{WO}_4)_2$ and $\text{Na}_3\text{Ce}_2(\text{PO}_4)_3$ were determined in $\text{NaCl}-\text{Na}_2\text{WO}_4$ m. 700-800°. The heat of fusion of $\text{NaCe}(\text{WO}_4)_2$ was found to be 19 ± 3 kJ/mol.

(SMH)

C.A. 1984, 100, N26

NaDy₂T₂

1984

László Zelik; Olivér
Karosi, et al.

Kp; Magy. Kém. Folyóirat,
1984, 90, N^o 2, 44-79.

(Cs. CsDy₂T₂; I)

Nagy Gy

1984

Lelik L., Kaposi O.,

ellagy. Kém. Polyo'rát,

1984, 90, N 6, 251-260.

$1_f H,$
 $1 H_3;$

(cer. Dy_3 ; $\bar{\Gamma}$)

Na₃GdCl₆

1984

8 Б2045. Na_3GdCl_6 : монокристалл низкотемпературной формы, [полученный] путем металлотермического восстановления Na. Na_3GdCl_6 : Einkristalle der Tieftemperaturform bei der metallotherrmischen Reduktion von GdCl_3 mit Na. Meyer Gerd. «Z. anorg. und allg. Chem.», 1984, 517, № 10, 191—197 (нем.; рез. англ.)

Проведен РСТА (камера Гинье, λCu автоматич. дифрактометр, λMo , 291 отражение, анизотропное приближение, $R = 0,070$) монокристаллов Na_3GdCl_6 (Ia), полученных взаимодействием GdCl_3 с Na в Та-трубке при 700°C в течение 9 дней. Ia — низкот-риая форма превращается в высокот-риую при 205°C . Параметры ромб-боэдрич. решетки Ia (в гексагон. установке): $a = 7,007$, $c = 18,79 \text{ \AA}$, $Z = 3$, ф. гр. $R\bar{3}$. Структура Ia родственна LiSbF_6 . Анионы Cl^- формируют гексагональную плотнейшую упаковку, Gd и Na окружены анионами Cl^- по типу тригон. антипризмы. Расстояния $\text{Na}-\text{Cl}$ 2,808, $\text{Gd}-\text{Cl}$ 2,673 \AA , углы ClNaCl $91,11-88,89^\circ$, ClGdCl $89,96-90,04^\circ$. Маделунговская часть энергии решетки Ia 1692,6 ккал/моль. Для Ia приведены данные I , $d(hkl)$.

В. Б. Калинин

*параметры
решетки*

X. 1985, 19, N8

NaDy_xCl_{4-x}(²) [Jan. 1955] 1984

McPhail D.S., Mocking Jr. G.,
et al.,

Int. J. Mass Spectrom.
and Ion. Process., 1984,
59, N.3, 261-276.

Na Dylly(2) Om. 19555] 1984

McPhail D.S., Hocking M.G.,
et al.,

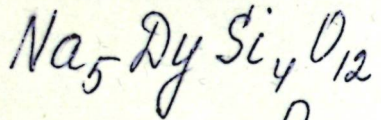
K_p, dH,
Int. γ . class Spectrom.
and Ion. Process, 1984,
59, n3, 261 - 276.

$\text{Na}_2\text{O}-\text{La}_2\text{O}_3-\text{Ta}_2\text{O}_5$

1984

Mel'nikova O. V.,
Vladimirskaya Z. E.,
et al.
pazobas
guarpan. Zh. Neorg. Khim. 1984,
29 (6), 1607-12.

(see $\text{Li}_2\text{O}-\text{La}_2\text{O}_3-\text{Ta}_2\text{O}_5$; I)



1984

Ponomarev V.I.

Pis'ma Zh. Tekh. Fiz.
Ttz; 1984, 10(6), 345-7.

(cfr. $\text{Na}_5\text{YbSi}_4\text{O}_{12}$, I)

$Na_5 Yb Si_4 O_{12}$

1984

100: 219367s Structural transition in $Na_5 TR Si_4 O_{12}$ superionic conductors. Ponomarev, V. I. (USSR). *Pis'ma Zh. Tekh. Fiz.* 1984, 10(6), 345-7 (Russ). The structural transition in $Na_5 TR Si_4 O_{12}$ ($TR = Sc, Y, Sm-Lu$) was investigated by x-ray diffraction. The temp. dependence of the reflection intensity of $Na_5 Yb Si_4 O_{12}$ shows a reversible transition at $\sim 150^\circ$. Study of $Na_5 TR Si_4 O_{12}$ ($TR = Dy, Lu$) shows the transition is at $130-150^\circ$ and hysteresis was obsd. on several samples. The transition is described as a disorder-disorder type. Below the transition there are 2 regions with different structures. With increasing temp. this changes and near 150° becomes similar in both regions which corresponds to an increase of symmetry from $R\bar{3}2$ to $R\bar{3}c$.

(T_{f2})

② ① $Na_5 Dy Si_4 O_{12}$

c. A. 1984, 100, N 26

NaLaS_x

1984

) 20 Б3074. Взаимодействие в системах Na_2S_x — LnS_2 .
Шилкина Т. Ю., Васильева И. Г. «Изв. СО АН
СССР. Сер. хим. н.», 1984, № 8/3, 35—38

Исследованы р-римость и фазообразование в системах LnS_2 — Na_2S_x , где $\text{Ln}=\text{Nd}$, Dy и $x=2; 2,8; 4$, в области т-р 400 — 650°C . Установлено, что р-римость связана с хим. взаимодействием. В системах Na_2S_2 — LnS_2 , Na_2S_2 — LnS_2 во всем интервале т-р кристаллизуется только тройное соединение состава NaLaS_2 . В системе Na_2S_4 — NaS_2 выше 600°C наблюдается совместная кристаллизация фаз NdS_2 и NaNdS_2 . Повышением т-ры в область выше 800°C и увеличением содержания серы >4 в полисульфидах натрия можно достичь смещения равновесия к кристаллизации только фазы NdS_2 .

Резюме

X. 1984, 19, № 20

1984

ЗнаЯ. Sm 93

13 Б3085 Деп. Взаимодействие трийодида самария с йодидами натрия и цезия. Туполев В. С., Карагодина А. М., Дударева А. Г. «Материалы 6 Конф. мол. ученых Ун-та дружбы народов: Мат., физ., химия, Москва, 17—21 марта, 1983, Ч. 2», Ун-т дружбы народов. М., 1983, 59—63, ил. Библиогр. 5 назв. (Рукопись деп. в ВИНИТИ 5 марта 1984 г., № 1316—84 Деп.)

Методом ДТА и РФА изучено взаимодействие трийодида самария с йодидами натрия и цезия. В системе $\text{SmJ}_3\text{—NaJ}$ обнаружено хим. соединение $\underline{\text{3NaJ}\cdot\text{SmJ}_3}$, плавящееся инконгруэнто при 460°C и имеющее полиморфное превращение при 380°C . Эвтектич. сплав соответствует 64 мол. % NaJ и 440°C . В системе $\text{SmJ}_3\text{—CsJ}$ образуются два соединения: $S_1=\underline{3\text{CsJ}\cdot\text{SmJ}_3}$, плавящееся конгруэнто при 705°C и $S_2=\underline{3\text{CsJ}\cdot2\text{SmJ}_3}$, к-рое плавится инконгруэнто при 560°C . Соединение S_1 имеет полиморфные превращения при 560°C и 489°C , S_2 — при 404°C и 380°C . Эвтектика E_1 соотв. 53 мол. % CsJ и 520°C , E_2 — 87 мол. % CsJ и 570°C .

Автореферат

X. 1984, 19; N 13

11

$\text{Na}_6\text{La}(\text{PO}_4)_3$

1984

102: 138506a Lanthanum oxide-sodium biphenophosphate system.
Znamierowska, Teresa; Kropiwnicka, Jolanta (Inst. Technol. Przem. Chem. Spozyw., Akad. Ekon., Wrocław, Pol.). *Pr. Nauk. Akad. Ekon. im. Oskara Lange'a Wrocławiu* 1984, 267, 466-8 (Pol).
The La_2O_3 - $\text{Na}_4\text{P}_2\text{O}_7$ system was studied by thermal, x-ray and dilatometric methods. Eutectic mixts. contg. 70 and 83 wt. % of $\text{Na}_2\text{P}_2\text{O}_7$ are at 1210 and 920°, resp. $\text{Na}_6\text{La}(\text{PO}_4)_3$ melts congruently at 1430°. $\text{Na}_6\text{La}(\text{PO}_4)_3$ is hygroscopic, forms a monohydrate at temps. <80° and undergoes solid-solid transformations at 290, 940, and 1080°. The transition at 940° is of 1st order. A. W. Jackowski

(T_m)

C.A. 1985, 102, N 16.

Na₆La(PO₄)₃

1984

6 Б3170. Система оксид лантана—дифосфат натрия.
Układ tlenek lantanu—dwufosforan sodowy. Znamie-
gowska Tereska, Kgoriwnicka Jolanta. «Pr.
nauk. AE Wrocławiu», 1984, № 267, 466—468 (пол.; рез.
англ.)

С помощью термич., дилатометрич. и рентгеновского методов изучены фазовые соотношения по бинарному разрезу La_2O_3 (I) — $\text{Na}_4\text{P}_2\text{O}_7$ (II) и установлена фазовая диаграмма системы. Компоненты системы образуют соединение (при мол. соотношении I:II=1:3) $\underline{\text{Na}_6\text{La}(PO_4)_3}$ (III), к-roe плавится конгруэнтно при 1430°C и существует в виде четырех полиморф. модификаций. III образует с I и II две частные эвтектич. системы с т. пл. эвтектик 1320 и 900°C при 70 и 83% III соотв. III — гигроскопичен и образует моногидрат III· H_2O .

Резюме

X.1985, 19, n6

Nagy₂<sup>Y₈⁻ Kaposi O., Yelik L.,¹⁹⁸⁵
et al.</sup>

Adv. Mass Spectrom., 1985.

$\Delta_f H^o$ 10th Int. Conf., Swansea,
 $\Delta_f 298$; 9-13 Sept., 1985. Pt B.

Chichester, 1986, 1003-1004.

(Cer. Dy^{Y₄⁻; I)}

$\text{Na}_3\text{fd}(\text{PO}_4)_2$

1985

9 Б2037. Новый метод синтеза $\text{Na}_3\text{Gd}(\text{PO}_4)_2$ и обзор кристаллических структур [его модификаций]. A new method for the preparation of $\text{Na}_3\text{Gd}(\text{PO}_4)_2$ and a review of its crystal structure. Kizilyalli M., Sungur A., Jones D. S. «J. Less-Common Metals», 1985, 110, № 1-2: Int. Rare Earth Conf., Zürich, March 4—8, 1985, Pt 1, 249—254 (англ.)

Взаимодействием Gd_2O_3 (I), Na_2CO_3 (II) и NaH_2PO_4 (III) при 500, 700 и 950°C в течение 5 ч. либо $\text{Gd}_2(\text{CO}_3)_3$ (IV), II и III проведен синтез $\text{Na}_3\text{Gd}(\text{PO}_4)_2$ (V). V существует в виде 3 модификаций Va, Vb, Vc. Отжиг при 950°C (или при 500°C , если при синтезе вместо I используется IV) приводит к образованию Va с параметрами тетрагональной решетки: $a = 12,990$, $c = 10,624$ Å, ф. гр. $P4_21c$. Vb — ромбич., $a = 15,864$, $b = 13,867$, $c = 18,375$ Å, ф. гр. $Pbc2_1$ получен при 700°C и является фазой, промежуточной между Va и Vb. Ранее (Kizi-

17
т2;

X. 1986, 19, N 9

Iyalli M. и др. «The Rare Earths in Modern Sci. and Techn.», Plenum, N. V., 1978, 209) несколько отличающаяся рентгенограмма V_b проиндицирована с теми же параметрами в ф. гр. $Pbct$. Отжиг при 800°C приводит к V_b с параметрами монокл. решетки: a 27,590, b 13,897, c 6,466 Å, β $91,39^{\circ}$, ф. гр. $P2_1/m$. Элементарная ячейка V_b близка $\text{Na}_3\text{Er}(\text{PO}_4)_2$. Приведены I , $d(hkl)$ порошкограммы V_b .

В. Б. Калинин



Na₂PbCl₄

1985

McPhail D.S., Hoc-
king M.G., et al.

J. Mater. Sci., 1985, 20,
N^o 2, 457 - 466.

(ceu. ● NaPbCl₃; I)

Na_3PrF_7 1985
Хакуев М. В.,
Автореферат докторской
кандидатуры учёной степени
к. х. н., Москва, 1985.

КР, АФН, класс-спектральные методы
дифракции. Исследование базисных
структурных переходных струк-
тур и кристаллов.

$n\text{A}\text{Cl} + \text{LaCl}_3 = \text{A}_n\text{LaCl}_{n+3}$ OMM 33425 1985

$= \text{A}_n\text{LaCl}_{n+3}$

$\text{A} = \text{Na}, \text{K}, \text{Rb},$

Cs

metalogic

9 - III

makgill

103: 221837a Thermodynamic properties of double chlorides in the systems ACl/LaCl_3 ($\text{A} \equiv \text{Na, K, Rb, Cs}$). Seifert, Hans J.; Fink, H.; Thiel, G. (Inorg. Chem., Univ. GH Kassel, D-3500 Kassel, Fed. Rep. Ger.). *J. Less-Common Met.* 1985, 110, 139-47 (Eng). The pseudobinary systems ACl/LaCl_3 ($\text{A} : \text{Na-Cs}$) were reinvestigated by DTA. The following compds. were found and identified by their x-ray patterns: $\text{NaLa}_{1.67}$; K_2LaCl_5 , $\text{KLa}_{1.67}\text{Cl}_6$; Rb_3LaCl_6 , Rb_2LaCl_5 , RbLa_2Cl_7 ; Cs_3LaCl_6 , Cs_2LaCl_5 , CsLa_2Cl_7 . The compds. A_2LaCl_5 crystallize with the K_2PrCl_5 structure. The high-temp. modifications of the compds. A_3MCl_6 have the cubic elpasolite structure; the hexagonal unit cell of $\text{KLa}_{1.67}\text{Cl}_6$ is related to the LaCl_3 structure: 0.33La^{3+} are substituted by one K^+ . The thermodn. functions for the reactions $n\text{ACl} + \text{LaCl}_3 = \text{A}_n\text{LaCl}_{n+3}$ were detd. by emf. measurements in a galvanic cell for solid electrolytes. Measurements of the emf.'s, E , yielded the Gibbs enthalpies ΔG° . From the temp.-dependence of E , the entropy and heat values were also obtained. Addnl., ΔH°_{298} was measured by soln. calorimetry. The most important result is that the formation of the elpasolites, according to the equation $\text{ACl} + \text{A}_2\text{LaCl}_5 = \text{A}_3\text{LaCl}_6$, is assocd. with a loss of lattice enthalpy compensated by a high gain in entropy.

C.A. 1985, 103, N 26

1986

Фазовые равновесия и кристаллизация стекол в системе $\text{Na}_2\text{O}-\text{La}_2\text{O}_3-\text{Y}_2\text{O}_3-\text{P}_2\text{O}_5$ / Федорова Е. Н., Шматок Л. К., Кожина И. И., Барабанова Т. Р.

//Изв. АН СССР. Неорган. материалы. — 1986. — Т. 22, № 3. — С. 480—484.

Библиогр.: 13 назв.

— — 1. Натрий, фосфаты — Исследование в системах. 2. Лантан, фосфаты — Исследование в системах. 3. Иттрий, фосфаты — Исследование в системах. 4. Стекло фосфатное — Кристаллизация.

№ 54273

14 № 4157

ВКП 15.05.86

Изд-во «Книга»

УДК 666.11.01+541.12.017+548.

ЕСКЛ 18.5

$\text{NaScF}_3^{+}(2)$

Тусаров А. В.,

1986

Автореферат диссертации
на соискание ученой степени
доктора химии. Моск., Москва,
1986.

K_p ,
 $\Delta_f H^\circ$

Равновесной конформации в нарах
металлов. соединений и термо-
динамик. свойств союзов.

NaPrO₂

NaTB₂O₂

emrys-
myxa

1986

Hoppe R.,
Kroeschell P., et al.

Z. Anorg. und Allg.
Chem., 1986, 537, N6,
97-105.

(c.u. LiFeO₂; ?)

Na_3GdCl_6

1986

23 Б2041. Термический диморфизм Na_3GdCl_6 . Die thermische Dimorphie von Na_3GdCl_6 . Meyer G., Igmler M., Schleid Th. «Z. Kristallogr.», 1986, 174, № 1—4, 145—146 (нем.)

Соединение Na_3GdCl_6 проявляется в 2 полиморфных модификациях: устойчивой в обычных условиях (I) и высокотройной (II) с фазовым переходом 1-го рода I→II при t -ре 205°C при нагревании и II→I при 120° при охлаждении: t -ра плавления II 486°C . Для I характерна структура, производная от СТ LiSbF_6 с гексагон. плотнейшей упаковкой атомов Cl, с распределением катионов по октаэдрич. пустотам; параметры ромбодрич. решетки I (в гексагон. установке): a 700,72, c 1879,1 пм, Z 3, ф. гр. $R\bar{3}$. Для II характерна структура типа криолита Na_3AlF_6 с параметрами монокл. решетки (при 225°C): a 698,37, b 734,46, c 1033,18 пм. β $90,805^\circ$, Z 2, ф. гр. $P2_1/n$. С. В. С.

$\text{P}t_2$, $\text{P}m$

X. 1986, 19, N. 23

$\text{SmI}_3 \cdot 3\text{NaI}$

1986

(Inv. 24594)

106: 9790x Samarium triiodide-alkali metal iodide system (alkali metal = sodium, potassium, rubidium, cesium). Molodkin, A. K.; Karagodina, A. M.; Dudareva, A. G.; Nechitailov, S. B.; Ezhov, A. I. (Univ. Druzhby Nar. im. Lumumby, Moscow, USSR). *Zh. Neorg. Khim.* 1986, 31(9), 2382-4 (Russ). Crystalloptical, DTA, and x-ray phase anal. studies established the formation of $\text{SmI}_3 \cdot 3\text{MI}$ ($\text{M} = \text{Na}, \text{K}, \text{Cs}$) compds. with $3\text{NaI} \cdot \text{SmI}_3$ incongruently m. 460° and $3\text{KI} \cdot \text{SmI}_3$ and $3\text{CsI} \cdot \text{SmI}_3$ congruently m. $565, 705^\circ$, resp. The compd. $\text{KI} \cdot \text{SmI}_3$ decomps. in the solid phase at 400° . The compds. $3\text{RbI} \cdot 2\text{SmI}_3$ and $3\text{CsI} \cdot 2\text{SmI}_3$ incongruently m. $540, 560^\circ$, resp. The compds. $\text{RbI} \cdot 2\text{SmI}_3$ and $4\text{RbI} \cdot \text{SmI}_3$ decomps. in the solid phase at $430, 450^\circ$, resp.

Tm;

(42) R

C.A. 1987, 106, N2

$\text{SmI}_3 \cdot 3\text{KI}$

$\text{SmI}_3 \cdot 3\text{LiI}$

1986

$\text{NaI} + \text{LaI}_3$ смесь

Молодкин А. К., Дударева А. Г.

Иодидные соединения лантанидов со щелочными металлами

//Жури. неорган. химии. — 1986. — Т. 31, вып. 11. — С. 2784—2793.

Библиогр.: 24 назв.

— — 1. Редкоземельные элементы, иодиды — Исследование в системах. 2. Щелочные металлы, иодиды — Исследование в системах.

№ 135679
14 № 9079

ВКП 4.12.86
Изд-во «Книга»

УДК 541.123.2 : (546.650+546.311'15)

ЕСКЛ 18.2

Nalejko et al. [On. 25538]

1986

Seifert H. G., Sandrock J.,
Thiel F.,

T_m, DSC,

g;

J. Thermal. Anal.,
1986, 31, N6, 1309 -
1318.

NaCe_{1,67}Cl₆

Лот 33736)

1986

12 Б3045. Термохимические исследования систем ACl—CeCl₃ (A=Na—Cs). Thermochemical studies on the systems ACl/CeCl₃ (A=Na—Cs). Seifert H. J., Sandrock J., Thiel G. «J. Therm. Anal.», 1986, 31, № 6, 1309—1318 (англ.; рез. нем., рус.)

Псевдобинарные системы ACl—CeCl₃ заново исследованы методом ДТА. Кристаллографически идентифицированы NaCe_{1,67}Cl₆ (I), K₂CeCl₆ (II), K₂CeCl₅ (III), KCe_{1,67}Cl₆ (IV), Rb₃CeCl₆ (V), Rb₂CeCl₅ (VI), RbCe₂Cl₇ (VII), Cs₃CeCl₆ (VIII), Cs₂CeCl₅ (IX) и CsCe₂Cl₇. Построены диаграммы состояния изученных систем. IV образуется выше 464 K, плавится инконгруэнтно при 534 K, V образуется выше 378 K, т. пл. 739 K; VII плавится инконгруэнтно при 616 K; X имеет т. пл. 679 K. Из калориметрич. измерений теплот р-рения ACl, CeCl₃ и соотв. соединений определены энталпии р-ций $n\text{ACl} + \text{CeCl}_3 = \text{A}_n\text{CeCl}_{n+3}$ (1), составившие в кДж на

(73)

☒



1) II, III, I_U

2) V, VI, VII

3) VIII-X

X. 1987, 19, N 12.

1 моль CeCl_3 : **III** —27,3; **IV** —5,0; **VI** —37,9; **VII** —1,9;
VIII —26,0; **IX** —35,9; **X** —8,4. Методом э. д. с. (см.
пред. реферат) изучено образование **II—VII**. При 298 К
значения ΔG и ΔH (кДж/моль CeCl_3) для р-ции (1)
составили соотв.: **II** 1,0 и 24,8; **III** —32,7 и —29,1; **IV**
—7,6 и —4,9; **V** 19,8 и 0,8; **VI** —34,6 и —37,4; **VII**
—6,6 и —2,0.

А. С. Гузей

NaNdS₂

1986

1 24 Б3107. $T-x$ -диаграмма системы $\text{Na}_2\text{S}-\text{Nd}_2\text{S}_3$.
Шилкина Т. Ю., Васильева И. Г. «Изв. СО АН
СССР. Сер. хим. н.», 1986, № 15/5, 73—77 (рез. англ.)

Методами физ.-хим. анализа (дифференциально-термич., визуально-политермич., рентгенофазового, оптич. микроскопии образцов, закаленных от определенных т-р) изучен разрез $\text{Na}_2\text{S}-\text{Nd}_2\text{S}_3$ системы $\text{Na}-\text{Nd}-\text{S}$. Представленная $T-x$ -диаграмма имеет одно соединение тройного состава (NaNdS_2), разлагающееся при $1640 \pm 40^\circ\text{C}$ по перитектич. р-ции. Перитектич. характер плавления фазы NaNdS_2 , как и фаз того же состава в системах $\text{Cu}_2\text{S}-\text{Ln}_2\text{S}_3$, подчеркивает общую природу таких соединений. NaNdS_2 с Na_2S образует эвтектику с координатами $6,0 \pm 1,0$ мол.% Nd_2S_3 , и $930 \pm 20^\circ\text{C}$. Установлена р-римость Na_2S в γ - Nd_2S_3 на уровне 10 мол.%.

Резюме

x. 1986, 19, N 24

1986

Стороженко Д. А., Ширай Ю. В., Лазоренко Н. М.

Политерма растворимости системы NaCl—LaCl₃—
H₂O

//Журн. неорган. химии. — 1986. — Т. 31, вып. 6. --
С. 1610—1612.

Библиогр.: 6 назв.

— — 1. Натрий, хлорид — Исследование в системах. 2. Лантан, хлориды — Исследование в системах.

№ 86554

14 № 6344

ВКП 1.08.86

Изд-во «Книга»

УДК 541.123.3 : 546.32'131 : 546.654'131



ЕСКЛ 18.5

$\text{Na}_{48}\text{La}_2\text{P}_{16}\text{O}_{97}$

1986

PL 106: 202632a Lanthanum oxide-sodium orthophosphate system.
Znamirowska, Teresa; Kropiwnicka, Jolanta (Inst. Technol. Przem. Chem. Spozywczego, Akad. Ekon., Wrocław, Pol.). *Pr. Nauk. Akad. Ekon. im. Oskara Langego Wrocławiu* 1986, 338, 269-70 (Pol).
A new compd. is formed on sintering or melting the components mixed in a ratio of 1:16 and it is assigned the formula $\text{Na}_{48}\text{La}_2\text{P}_{16}\text{O}_{97}$. It m. 1650 congruently and yields solid solns. with Na_3PO_4 (I). It forms the simple eutectic with La_2O_3 (II) at 1560 °C. The compd. of the eutectic mixt. is 69.5 of I and 30.5% by wt. of II.

(Tm)

A. W. Jackowski

c. A. 1987, 106, N24

Na Dy I₄

Na₂ Dy I₅

1987

Jan. 25 1987

106: 221280a Heat of dissociation of gas-phase complex molecules in the sodium iodide-dysprosium iodide and cesium iodide-holmium iodide systems. Gavrilin, E. N.; Chilingarov, N. S.; Skokan, E. V.; Sorokin, I. D.; Kaposi, Oliver; Sidorov, L. N. (Mosk. Gos. Univ., Moscow, USSR). *Zh. Fiz. Khim.* 1987, 61(2), 512-14 (Russ). The Knudsen method and mass spectroscopic anal. were used to det. the heats of dissociation of NaDyI₄, Na₂DyI₅, CsHoI₄, and Cs₂HoI₅ in the gas phase. Equil. consts. of the reactions were calcd. and the thermodn. functions were derived for 700-900 K.

Succ H,
(K_p)

④ ⑧

MacCormick

memog. 9-III

C.A. 1987, 106, N26

G Ho I₄
Cs₂ Ho I₅

$\text{Na}_2\text{Sc}_2\text{V}_2\text{O}_9$

1987

108: 174349j Phase ratios in the sodium oxide-rare earth oxide-vanadium pentoxide system (rare earth = scandium, yttrium, lanthanum). Khodos, M. Ya.; Fotiev, A. A. (Inst. Khim., Sverdlovsk, USSR). *Zh. Neorg. Khim.* 1987, 32(12), 3064-7 (Russ). The subsolidus phase diagrams were constructed for the $\text{Na}_2\text{O}-\text{V}_2\text{O}_5-\text{Ln}_2\text{O}_3$ ($\text{Ln} = \text{Sc}, \text{Y}, \text{La}$) systems from x-ray diffraction data. The existence of $\text{Na}_2\text{Sc}_2\text{V}_2\text{O}_9$ (incongruently m. 1118 ± 5 K) and $\text{Na}_3\text{La}_5\text{V}_3\text{O}_{11}$ (m. > 1500 K) was established.

(Tm)

C.A. 1988, 108, N20

NaLaS₂

1987

17 Е354. Теплопроводность оптической керамики из NaLaS_2 . Лугуева Н. В., Дронова Г. Н., Наумова И. А., Лугуев С. М. «Оптико-мех. пром-сть», 1987, № 3, 29—30

На основе эксперим. исследования теплопроводности оптич. керамики из NaLaS_2 при 80...400 К показано, что в высокотемпературной области измерений наряду с решеточной составляющей на общую теплопроводность этого материала начинает влиять фотонная компонента.

Резюме

теплопроводн

сб. 1987, 18, № 7

Na₃ErCl₆

dm. 28733

1987

14 Б2051. Хлориды Na₃MCl₆ (M=Eu—La, Y, Sc): синтез, кристаллические структуры и термические свойства. The chrolides Na₃MCl₆ (M=Eu—Lu, Y, Sc): synthesis, crystal structures, and thermal behaviour. Meyer G., Ax P., Schleid T., Irmler M. «Z. anorg. und allg. Chem.», 1987, 554, № 11, 25—33 (англ.; рез., нем.)

Проведен РСТА Na₃ErCl₆ (I, λMo, 1034 отражения, R 0,087), полученного металлотермич. восстановлением ErCl₃ с Na. Параметры монокл. решетки I: a 684,54, b 725,18, c 1012,39 пм, β 90,768, Z 2, ф. гр. P2₁/n. Кристаллы принадлежат к СТ криолита. Координац. полиэдры Er—октаэдры, Na—октаэдры и искажен. 8-вершинники (6+1+1). Межатомные расстояния в I: Na—Cl 273,3—374,1, Er—Cl 259,4—262,9 пм. Предложены 2 метода синтеза порошкообразных образцов Na₃MCl₆, M—Eu (II), Gd (III), Tb (IV), Dy (V), Ho (VI), Er, Tm (VII), Yb (VIII), Lu (IX), Sc (X), Y (XI), к-рые исследованы рентгенографически. V—XI

*Синтез,
кристал-
структур
и терми-
чес-
ка*

X. 1988, 19, N 14

изотипны I, параметры монокл. решеток: a 687,87,
 686,34, 683,08, 681,63, 680,53, 671,66, 686,92, b 728,04,
 726,88, 723,95, 722,65, 721,83, 713,99, 727,49, c 1017,50,
 1015,16, 1010,35, 1008,28, 1006,83, 989,38, 1016,41 пм,
 β 90,815, 90,804, 90,759, 90,728, 90,708, 90,417, 90,807°.
 II—IV изотипны «заполненному» LiSbF_6 , параметры
 тригон. решетки: a 701,81, 700,77, 699,23, c 1882,5,
 1879,2, 1875,4 пм, Z 3, ф. гр. $\bar{R}\bar{3}$. Методом высокот-
 рной рентгенографии исследован диморфизм и тепло-
 вое расширение III при 50—475° С. При 205° С обна-
 ружен фазовый переход 1-го рода с изменением СТ от
 «заполненного» LiSbF_6 к монокл. криолиту с уменьше-
 нием молек. объема на 3,71%. Изменения параметров
 с т-рой до и после перехода: a $3,82 \cdot 10^{-2}t + 699,93$, c
 $9,26 \cdot 10^{-2}t + 1877,23$, a $4,21 \cdot 10^{-2}t + 688,87$, b 2,83·
 $\cdot 10^{-2}t + 728,10$, c $5,38 \cdot 10^{-2}t + 1020,97$ пм, соотв.

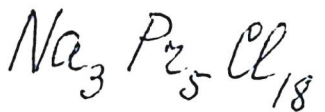
А. Ю. Шашков

кени

$\text{Na}_{0.6}\text{PrCl}_{3.6}$ (OM-28772) 1987

Seifert H.J., Sandrock J.
D'Hag, et al,

1987 Z. Anorg. und Allg.
Chem., 1987, 555, N12,
143 - ● 153.



1987

Seifert H. J.,
Sandrock J., et al.

ΔH_f ; Z. anorg. und allg.
Chem., 1984, 558, N 12,
143 - 153.
(c.c.s. Rb_2PrCl_5 ; I)

[OM. 27015]

1987

Nahrod

Nahnlez

In=la, le,

Nd, Sm, Bd,

Tb, Dy, Ho,

Er, Y

Cukeny,

part reperes nongol-
lant. ob-Ba

Ohtani T., Honjo H.,
Wada H.,

Mater Res. Bull.,
1987, 22, N6, 829-840

Na_2TiO_3

1987

Wolf R., Hoppe R.F.,

J. Less-Common Metals,
1987, 127, 265-266.

(c.c.r. $\bullet \text{Li}_6\text{Ti}_2\text{O}_7$; I)

NiLa(WO₄)₂

1988

22 Б3031. Термодинамические свойства $\text{NaLa}(\text{WO}_4)_2$ в интервале температур 5,7—320 К. Фролова Г.И., Козеева Л. П., Пауков И. Е. «12 Всес. конф. по хим. термодинам. и калориметрии. Тез. стенд. докл., Горький, 13—15 сент., 1988. Ч. 1». Горький, 1988, 27

Методом вакуумной адиабатич. калориметрии измерена $C_p(T)$ $\text{NaLa}(\text{WO}_4)_2$ (I) в интервале т-р 5,7—320 К. Термодинамич. ф-ции I найдены равными $C_{p,298,15}^0 = 238,8 \pm 0,2$, $S_{298,15}^0 = 290,8 \pm 0,6$, $\Phi_{298,15}^0 = 143,8 \pm 0,4$ Дж/моль·К; $H_{298,15}^0 - H_0^0 = 43\ 840 \pm 50$ Дж/моль. Вычислена т-рная зависимость т-ры Дебая $\Theta_D(T)$, к-рая меняется от 250 К при $T=15$ К до 650 К при $T=300$ К, что указывает на существенный вклад в C_p от неск. разных ветвей колебаний решетки.

Из резюме

X. 1988, N 22

Nady^y₃⁺

[Om. 28811]

1988

Таврическ Е.Н., Сорокин Н.
"GP",

K_P, SHf;
21. физ.-химич, 1988,
62, N 3, 776 - 779.

1988

9 Б3031. Исследование процессов испарения в галогенных лампах: состав и термохимия равновесного пара системы $\text{NaI}-\text{DyI}_3$. Vaporization studies for metal halide lamps: analysis and thermochemistry of the equilibrium vapour of the $\text{NaI}-\text{DyI}_3$ system / Hilpert Klaus, Miller Miroslaw // High Temp.— High Pressures.— 1988.— 20, № 2.— С. 231—238.— Англ.

В интервале т-р 743—933 К с помощью масс-спектрометра, оборудованного Мо-эффузионной ячейкой Кнудсена исследованы процессы сублимации системы $x\text{NaI}-(1-x)\text{DyI}_3$ начального состава $x=0,9$. В паре зарегистрированы NaDyI_4 , NaI , DyI_3 , $(\text{NaI})_2$ и NaDyI_5 . Измерены константы равновесия и по 2-му закону вычислены $\Delta_f H^\circ_{293}$ (кДж/моль) и $\Delta_f S^\circ_{293}$ (Дж/моль·К) для газофазных р-ций $\text{NaDyI}_4=\text{NaI}+\text{DyI}_3$, $217,1 \pm 5,9$ и $130,5 \pm 9,9$; $\text{Na}_2\text{DyI}_5=2\text{NaI}+\text{DyI}_3$, $372,4 \pm 10,5$ и $269,2 \pm 17,9$; $\text{Na}_2\text{DyI}_5=\text{NaDyI}_4+\text{NaI}$, $155,4 \pm 4,7$ и $138,6 \pm 8,6$, а также р-ции $\text{NaI}(s)+\text{DyI}_3(g)=\text{NaDyI}_4(g)$, $-35,8 \pm 5,4$ и $-1,0 \pm 7,6$. Подтверждено эмпирич. правило, что $\Delta_f S$ составляет 126 ± 21 и 251 ± 21 Дж/моль·К для газофазных р-ций $A=B+C$ и $A=2B+C$, где A — комплексный галогенид в газовой фазе.

Ю. С. Ходеев

NaDyI₄
NaDyI₅

р, АН

Х. 1989, № 9

1988

NaDyI_4
 Na_2DyI_5

(P), Δ_2H_f

Δ_2S_f , $\Delta_{diss}H_f$

$\Delta_{diss}S_f$; ~~t₂~~ t₂

110: 180197r Vaporization studies for metal halide lamps: analysis and thermochemistry of the equilibrium vapor of the sodium iodide-dysprosium iodide system. Hilpert, Klaus; Miller, Miroslaw (Nucl. Res. Cent., Inst. React. Mater., D-5170 Juelich, Fed. Rep. Ger.). *High Temp. - High Pressures* 1988, 20(2), 231-8 (Eng). The gaseous DyI_3 - DyI_5 system was investigated in the temp. range 743 to 933 K by the mass-spectrometric Knudsen effusion method. A sample composed of NaI and DyI_3 ($x_{\text{NaI}} = 0.9$) was vaporized and fragmentation patterns and appearance potentials were detd. The gaseous species NaDyI_4 , NaI , $(\text{NaI})_2$, and Na_2DyI_5 were found in the equil. vapor. Their partial pressures were used for a second-law evaluation. The enthalpy and entropy changes of the dissocn. reactions $\text{NaDyI}_4(\text{g}) \rightleftharpoons \text{NaI}(\text{g}) + \text{DyI}_3(\text{g})$ (1), $\text{Na}_2\text{DyI}_5(\text{g}) \rightleftharpoons 2\text{NaI}(\text{g}) + \text{DyI}_3(\text{g})$ (2), and the pressure-independent reaction $\text{NaI}(\text{s}) + \text{DyI}_3(\text{g}) \rightleftharpoons \text{NaDyI}_4(\text{g})$ (3) yielded dissocn. enthalpies and entropies of $\Delta_{diss}H^\circ_{298} = 217 \pm 6 \text{ kJ mol}^{-1}$ and $\Delta_{diss}S^\circ_{298} = 131 \pm 10 \text{ J mol}^{-1} \text{ K}^{-1}$ for reaction (1); $\Delta_{diss}H^\circ_{298} = 372 \pm 11 \text{ kJ mol}^{-1}$ and $\Delta_{diss}S^\circ_{298} = 269 \pm 18 \text{ J mol}^{-1} \text{ K}^{-1}$ for reaction (2); and $\Delta_rH^\circ_{298} = -36 \pm 6 \text{ kJ mol}^{-1}$ and $\Delta_rS^\circ_{298} = -1 \pm 8 \text{ J mol}^{-1} \text{ K}^{-1}$ for reaction (3). The equil. consts. for these reactions are also presented. The data are discussed with ref. to their significance for semiempirical rules used to predict the enthalpies and entropies of dissocn. for gaseous heterocomplexes.

C.A.1989, 110, n20

Na^{g} , $(\text{NaDy})_2$

Надык

1988

7 Б3037. Термодинамические свойства системы NaI—DyI₃ в расплаве и в насыщенном паре. Thermodynamic properties of NaI—DyI₃ system in melts and saturated vapours / Kaposi O., Bencze L., Ajtony Zs. // Proc. Symp. High Temp. Lamp Chem. II: Pt Nat. Meet. Electrochem. Soc., Atlanta, May 15—20, 1988.— Pennington (N. J.), 1988.— С. 70—89.— Англ.

Термодинамические св-ва эвтектич. системы NaI—DyI₃ в расплаве и в насыщ. паре определены эффузионным методом Кнудсена в сочетании с масс-спектрометрией 645—710 К. Активности компонентов вычислены с использованием интенсивностей ионных токов и ур-ния Гиббса—Дюгема. Установлена ассоциация молекул в газ. фазе. Относит. интенсивности ионных токов в масс-спектре определены при 683 К и энергии ионизирующих электронов 30 эВ. Для р-ции $\text{NaI} + \text{DyI}_3 = \text{Na}-\text{DyI}_4$ в газ. фазе $\Delta_r H_{600\text{K}} = -238 \pm 12$ кДж по 2 закону. Энталпия атомизации образующегося двойного йодида

(Δp , ΔH , $\Delta \vartheta$)

X. 1991, N 7

NaDyI_4 (I) составила 1493 кДж/моль. Молекула I характеризуется кольцевой структурой с мостиковыми связями. Табулированы термодинамич. ф-ции р-ции образования I в газ. фазе, а также активности компонентов при 1260—1380 К, избыточные хим. ПТ компонентов и ΔG° компонентов.

Л. А. Резницкий



La₂O₃ · 3NaPO₃

и JP.

1988

2 Б3119. Фазовые равновесия в системе La₂O₃—Na₂O—P₂O₅. II. Бинарная система La₂O₃—NaPO₃. Phase equilibria in the system La₂O₃—Na₂O—P₂O₅. II. Binary system La₂O₃—NaPO₃ / Kropiwnicka J., Znamierowska T. // J. Solid. State Chem.— 1988.— 73, № 2.— С. 405—410.— Англ.

Методами дилатометрии, микроскопии, РФА, ИФ, ИК-спектроскопия, хим. и термич. анализа изучены фазовые соотношения в системе La₂O₃ (I)—NaPO₃ (II). Представлена фазовая диаграмма системы I—II, в к-рой образуются три соединения: I·3II, I·4II и I·8II. I·3II плавится конгруэнтно при 1634° С и существует в виде трех полиморфных модификаций: α , β и γ с т-рами перехода 1050 и 900° С соотв. I·3II — ромбич.; a 5,43; b 12,93; c 18,87 Å. I·4II плавится конгруэнтно при 985° С (существует в виде 5 модификаций). I·8II плавится конгруэнтно при 774° С и имеет три полиморфные модификации.

Л. Г. Титов

III, IV₂

X. 1989, № 2

NaLaP₄O₁₂

1988

111: 181900x Phase equilibria in the system lanthanum oxide--sodium oxide-phosphorus oxide: Binary phase diagram lanthanum phosphate-sodium phosphate. Kropiwnicka, J. (Dep. Inorg. Chem., Acad. Econ., Wrocław, Pol.). *J. Therm. Anal.* 1988, 34(5-6), 1405-12 (Eng). In the ternary system La_2O_3 - Na_2O - P_2O_5 , the binary system $\text{La}(\text{PO}_3)_3$ - NaPO_3 was examd. by means of thermal (heating and cooling), dilatometric, x-ray powder diffraction and microscopic analyses. The occurrence of the phosphate $\text{NaLaP}_4\text{O}_{12}$ was confirmed and its temp. of congruent melting was detd. to be 1174. The powder data indicate a monoclinic system with the lattice consts. a 12.36(6); b 13.45(0); c 6.57(4) Å; $\gamma = 109.48^\circ$; $V = 1030.97 \text{ \AA}^3$. The investigations were carried out on monocrystals.

III



C.A. 1989, 111, N20

Na₆La(PO₄)₃

1988

4 Б3136. Исследование процесса синтеза и полиморфных переходов в натрий-лантановом ортофосфате $\text{Na}_6\text{La}(\text{PO}_4)_3$. Badania nad syntezą i przemianami polimorficznymi ortofosforanu sodowo-lantanowego $\text{Na}_6\text{La}(\text{PO}_4)_3$ / Kropiwnicka J. // Pr. nauk. AE Wrocławiu.—1988.—№ 426.—С. 281—283.—Пол.; рез. англ.

В диапазоне т-р 20—1200° С методами ДТА (скорость нагрева 10°/мин) и дилатометрии исследована фазовая диаграмма $\text{Na}_6\text{La}(\text{PO}_4)_3$, полученного путем спекания: 1) из Na_3PO_4 (I), La_2O_3 (II) и $(\text{NH}_4)_2\text{PO}_4$ (III) при 800° С; 2) из I и LaPO_4 при 1430 в Ar, 3) из $\text{Na}_2\text{HPO}_4 \cdot 2\text{H}_2\text{O}$, II и III при 800; 4) из $\text{Na}_4\text{P}_2\text{O}_7$ и II при 1430° С в Ar. Обнаружено четыре модификации с фазовыми превращениями при 290, 940 и 1080° С.

Резюме



X. 1989, № 4

1988

 $\text{La}_{1-x}\text{Na}_x\text{Co}_{1-x}\text{Nb}_x\text{O}_3$ $(0,01 \leq x \leq 0,99)$

22 Б2087. Синтез и структура фаз системы $\text{La}_{1-x}\text{Na}_x\text{Co}_{1-x}\text{Nb}_x\text{O}_3$ ($0,01 \leq x \leq 0,99$). Preparation and structure of the system $\text{La}_{1-x}\text{Na}_x\text{Co}_{1-x}\text{Nb}_x\text{O}_3$ ($0,01 \leq x \leq 0,99$). Parkash O. M., Kumar R., Kumar D. «J. Matter. Sci. Lett.», 1988, 7, № 4, 383—385 (англ.)

При рентгенографич. исследовании (метод порошка дифрактометр) системы $\text{La}_{1-x}\text{Na}_x\text{Co}_{1-x}\text{Nb}_x\text{O}_3$ ($0,01 \leq x \leq 0,99$) выявлены 3 типа структур. При $x = 0,01 - 0,30$ фазы системы кристаллизуются со СТ LaCoO_3 (СТ перовскита) с параметрами ромбоэдрич. решеток при $x = 0,01$ $a = 5,377$ Å, $\alpha = 60,85^\circ$, при $x = 0,30$, $a = 5,525$, $\alpha = 60,51$. При $x = 0,40 - 0,95$ образуются кубич. фазы с параметром a уменьшающимся с ростом x в пределах 3,964—3,907. Для $x = 0,99$ характерна фаза со СТ NaNbO_3 и параметрами ромбич. решетки: $a = 0,5509$, $b = 0,5576$, $c = 1,5545$ нм. Приведены значения I , $d(hkl)$ рентгенограмм порошка фаз с $x = 0,05$, $0,70$ и $0,99$.

С. В. Соболева

Синтез и
структур

Х. 1988, № 22

Na₃Nd₅Cl₁₈

DM 30528

1988

5 Б3039. Свойства двойных хлоридов в системах ACl/NdCl_3 ($\text{A}=\text{Na, K, Rb, Cs}$). Properties of double chlorides in the systems ACl/NdCl_3 ($\text{A}=\text{Na—Cs}$) / Seifert H.-J., Fink H., Uebach J. // J. Therm. Anal.— 1988.— 33, № 3.— С. 625—632.— Англ.

По данным исследований псевдобинарных систем ACl/NdCl_3 ($\text{A}=\text{Na, K, Rb, Cs}$) методом ДТА построены их фазовые диаграммы. Установлено наличие в системах след. соединений: $\text{Na}_3\text{Nd}_5\text{Cl}_{18}$ (I), K_3NdCl_6 (II), K_2NdCl_5 (III), KNd_2Cl_7 (IV), Rb_3NdCl_6 (V), Rb_2NdCl_5 (VI), RbNd_2Cl_7 (VII), Cs_3NdCl_6 (VIII), Cs_2NdCl_5 (IX) и CsNd_2Cl_7 (X), причем I, IV, V, VII, IX и X — впервые. Из измерений теплот р-рения ACl , NdCl_3 и I—X определены энталпии образования I—X из соответствующих устойчивых компонентов. Для образования из ACl и NdCl_3 значения $-\Delta H_{298}$ составили: I — 6,5 кДж/0,2 моля; III 33,0 кДж/моль; IV — 3,2 кДж/0,5 моля; V 21,9; VI 43,3 кДж/моль; VII 4,3 кДж/0,5 моля; VIII 38,9; IX 40,5 кДж/моль; X 12,4 кДж/0,5 моля. Методом

Off;

(73)

X·1989, N5

э. д. с. с тв. A^+ -ионными электролитами определены свободные энергии р-ций образования I—X в обл. т-р 300—480° С. При комн. т-ре стабильны только соединения III, VI, IX и X. Соединения IV, VII и A_3NdCl_6 стабильны только при повышенных т-рах: потеря (решеточной) энталпии компенсируется ростом энтропии. В случае A_3NdCl_6 рост энтропии коррелирует с образованием изолированных октаэдров $[NdCl_6]^{3-}$. Соединение I стабильно выше 128° С и может рассматриваться как тв. р-р $NaCl$ в решетке $NdCl_3$. Сообщаются результаты рентгеноструктурных и магн. исследований I—X.

А. С. Гузей



NaCl-SmCl₃

dm 30771

1988

10 Б3048. Свойства двойных хлоридов в системах ACl/SmCl_3 ($\text{A}=\text{Na}-\text{Cs}$). Properties of double chlorides in the systems ACl/SmCl_3 ($\text{A}=\text{Na}-\text{Cs}$) / Thiel G., Seifert H. J. // Thermochim. acta. — 1988. — 133, Pt A. — С. 275—282. — Англ.

Диаграммы состояния систем $\text{ACl}-\text{SmCl}_3$ (I) ($\text{A}=\text{Na, K, Rb и Cs}$) исследованы методом ДТА, термодинамич. св-ва образующихся соединений определены методом э. д. с. с тв. электролитом (ТЭ) и калориметрией р-рения. Магн. св-ва соединений определялись методом Гюи в интервале от -200 до 100°C с калибровкой по $\text{HgCo}(\text{SCN})_4$. Для определения э. д. с. применялся гальванич. элемент $\text{C}, \text{Cl}_2|\text{ACl}|A^+-\text{стекло}|I+ + (\text{A}_n\text{SmCl}_{3n-3})|\text{C}, \text{Cl}_2$ в интервале т-р $380-480^\circ\text{C}$, крист. структура соединений устанавливалась методом РФА. Магн. моменты двойных хлоридов возрастают с увеличением т-ры от $\sim 1 \mu\text{B}$ при 78 K до $\sim 1,8 \mu\text{B}$ при 366 K , аналогично μB для I, что связано со спин-орбитальным взаимодействием. Далее приведены р-ции образования двойных хлоридов и Δ_rG (кДж/моль): $0,5\text{RbCl}+\text{I}=\text{Rb}_{0,5}\text{SmCl}_{3,5}, \Delta_rG=14,8-0,0024T; 1,5\text{RbCl}+$

(43)

ж. 1989, № 10

$\text{KCl-SmCl}_3, \text{RbCl-SmCl}_3, \text{CsCl-SmCl}_3$

$+ Rb_{0.5}SmS1_{3.5} = Rb_2SmCl_5, \Delta_r G = -40.7 + 0.009 T;$
 $2RbCl + I = Rb_2SmCl_5, \Delta_r G = -55.5 + 0.0066 T; RbCl +$
 $+ Rb_2SmCl_5 = H\text{-}Rb_3SmCl_6, \Delta_r G = 22.7 - 0.0681 T; RbCl +$
 $+ Rb_2SmCl_5 = D\text{-}Rb_3SmCl_6, \Delta_r G = 14.5 - 0.0459 T; 0.5KCl +$
 $+ I = K_{0.5}SmCl_{3.5}, \Delta_r G = 0.3 - 0.0210 T; 1.5KCl +$
 $+ K_{0.5}SmCl_{3.5} = K_2SmCl_5, \Delta_r G = -41.5 + 0.0105 T; 2KCl +$
 $+ I = K_2SmCl_5, \Delta_r G = -41.5 - 0.0105 T; KCl + K_2SmCl_5 =$
 $= H\text{-}K_3SmCl_6, \Delta_r G = 38.6 - 0.0634 T; KCl + K_2SmCl_5 =$
 $= D\text{-}K_3SmCl_6, \Delta_r G = 30.4 - 0.0502 T; 0.6NaCl + I =$
 $= Na_{0.6}SmCl_{3.6}, \Delta_r G = 6.1 - 0.0149 T; 1.4NaCl +$
 $+ Na_{0.6}SmCl_{3.6} = Na_2SmCl_5, \Delta_r G = 9.8 - 0.0233 T; 2NaCl +$
 $+ I = Na_2SmCl_6, \Delta_r G = 16.0 - 0.0382 T.$ В системах I с
 KCl, RbCl и CsCl существуют три соединения, как и в
 системах ACI с $LnCl_3$ (La—Nd). Соединения A_2LnCl_5
 являются устойчивыми при $20^\circ C$. В Cs_2SmCl_5 КЧ(Sm) =
 = 6. Высокотрные модификации A_3SmCl_6 кристаллизу-
 ются в структуре элласолита с КЧ(Sm) = 6. Соедине-
 ния ASm_3Cl_7 ($A = K, Cs$) нестабильны при повышен-
 ных т-рах и кристаллизуются в структурном типе
 $RbDy_2Cl_7$ или KDy_2Cl_7 с КЧ(Sm) = 7. Л. А. Резницкий
 чо,

Nall · SmCl₃ (M. 30771)

1988

110: 102658c Properties of double chlorides in the systems alkali metal chloride (A) - samarium trichloride (A = sodium through cesium). Thiel, G.; Seifert, H. J. (Univ. GH Kassel, Kassel, Fed. Rep. Ger.). *Thermochim. Acta* 1988, 133, 275-82 (Eng.). The phase diagrams of the systems ACI/SnCl₃ (A = Na-Cs) were reinvestigated by DTA. The thermodyn. stabilities of the existing double chlorides were detd. by soln. calorimetry and emf. measurements with solid electrolyte cells. The magnetic susceptibilities and crystal structures were also detd.

Graduate.

(+3) \otimes

C.A. 1989, 110, N12

KCl · SmCl₃
RbCl · SmCl₃
CsCl · SmCl₃

$2\text{NaI}\cdot\text{LaO}_I$

1988

Пүлөсөвә А. А., Дыгара-
ба А. Т. үзп.

T_{t^2} : ИС. мөнгөн. жүйелес,

1988, 33, N 9, 2394-2399.

(Ces. ZKJ. LaOJ; i)

Na_2TiO_3

1988

Wolf R., Hoppe R.

Chemie Z. anorg. und allg.

Chem., 1988, 556, N 1,

97 - 108.

(cer. $\text{Na}_2\text{PrO}_3; \underline{\text{I}}$)

Na₂PrO₃

1988

17 Б2050. О Na₂PrO₃ и Na₂TbO₃. Über Na₂PrO₃ und Na₂TbO₃. Wolf R., Hoppe R. «Z. anorg. und allg. Chem.», 1988, 556, № 1, 97—108 (нем.; рез. англ.)

Методом РСТА (R соотв. 0,088 и 0,0486, R_w 0,0563, 0,0363) изучено строение Na₂LnO₃, где Ln=Pr (I), Tb (II). I и II получены из Na₂O₂ и Pr₆O₁₁ или Tb₄O₇ при 650 и 600° С в Au-трубке. Монокл. I и II имеют a 678,78, 576,92, b 977,47, 1001,27, c 1080,58, 1117,91 пм, β 108,25, 99,98°, Z 8, ρ (изм.) 5,45, 5,28, ф. гр. C2/c. В структуре I реализуется плотнейшая кубич. упаковка анионов, в октаэдрич. пустотах к-рой расположены катионы (Na—O 238—282, Pr—O 220—227 нм). В отличие от СТ Li₂SnO₃ (III) в I реализуются не слои, а стержни из октаэдров NaO₆, тянущиеся вдоль [100]. II кристаллизуется в СТ III, расстояния Tb—O 217—220, Na—O 234—260 пм. Составляющая Маделунга энергии крист. решетки I и II соотв. 3549 и 3636 ккал/моль. Приведены I , $\sin^2\theta \cdot 10^3$ (hkl) I и II. М. Б. Варфоломеев

Структура

№ 41

X. 1988, 19, N 17

NaDyI₄

0M 33858

(K_p, ΔH)

X/1990, №22

22 Б3047. Определение активностей в расплавах методом Кнудсена с использованием масс-спектрометрии: система NaI/DyI₃. Determination of activities in melts by Knudsen cell mass spectrometry: the NaI/DyI₃ system / Bencze L., Ajtony Z., Kaposi O., Popovic A. // Acta chim. hung.— 1989.— 126, № 6.— С. 793—812.— Англ.

Ячейка Кнудсена в сочетании с масс-спектрометром использована для изучения термодинамич. активностей компонентов в расплавах $x\text{NaI} + (1-x)\text{DyI}_3$ и явлений комплексообразования в равновесном паре в интервале т-р 800—1380 К. Масс-спектры паров над NaI—DyI₃ измерены как ф-ции состава и т-ры. Из интенсивностей ионных токов вычислены активности солевых компонентов и их термодинамич. ф-ции. Определены и табулированы равновесные давл. компонентов и рассчитаны константы равновесия р-ций ассоциации. Для образования NaDyI₄ (I) получено $\Delta_f H(g) = -628$ кДж/моль, для атомизации I $\Delta_{at} H(g) = 1454$ кДж/моль. Константы жидкофазных р-ций $\text{NaI} + \text{DyI}_3 = \text{I}$ и $2\text{NaI} + \text{DyI}_3 = \text{Na}_2\text{DyI}_5$ (I) составили $2,7 \pm 4$ и $39,4 \pm 0,4$ при 1260 К, что означает менее вероятное образование жидк. I. Для р-ции (I) найдено $\Delta_f H(1260\text{ K}) = -95 \pm 5$ кДж/моль.

А. С. Гузей

Nady 94

1989

(M 33858)

113: 121710s Determination of activities in melts by Knudsen cell mass spectrometry: the sodium iodide/dysprosium iodide system. Bencze, Laszlo; Ajtony, Zsolt; Kaposi, Oliver; Popovic, Arkadij (Dep. Phys. Chem., L. Eotvos Univ., H-1088 Budapest, Hung.). *Acta Chim. Hung.* 1989, 126(6), 793-812 (Eng). The Knudsen cell mass spectrometer combination was used for studying thermodn. activities in $[x\text{NaI} + (1 - x)\text{DyI}_3]$ melts and complexing phenomena in equil. vapor phase. The mass spectra of the vapors over the NaI-DyI₃ system were measured as a function of compn. and temp. Thermodn. activities were calcd. from the ion intensities by applying the Gibbs-Duhem integration method and thermodn. and excess thermodn. functions were calcd. In the vapor phase, assocn. of salt mols. was established. The equil. vapor pressure enhancement of the component salts were detd. from the equil. const. of the assocn. reaction and the activities in the melt.

C.A. 1990, 113, N 14

3NaF·ScPO₄

1989

6 Б3210. Термографическое и рентгенографическое изучение систем $\text{NaF}-\text{ScPO}_4$ и $\text{NaF}-\text{YPO}_4$ / Комиссарова Л. Н., Смирнова И. Н., Горковенко М. Ю., Зимина Г. В. // 10 Всес. совещ. по терм. анал., Ленинград, сент., 1989: Тез. докл.— [Л.], 1989.— С. 141.— Рус.

Термографически изучены фазовые диаграммы $\text{NaF}-\text{ScPO}_4$ и $\text{NaF}-\text{YPO}_4$, к-рые являются диагональными сечениями тройных взаимных систем Na^+ , $\text{Sc}^{3+}(\text{Y}^{3+})\parallel\text{F}^-$, PO_4^{3-} . Рентгенографич. данные (разрез 750° С) указывают на образование в системах $3\text{NaF}\cdot\text{ScPO}_4$ и $2\text{NaF}\cdot\text{YPO}_4$. Фазы не имеют заметной обл. гомогенности. В системе $\text{NaF}-\text{ScPO}_4$ в обл. 40—90 мол. % ScPO_4 установлено образование $\text{Na}_3\text{PO}_4\cdot\text{ScPO}_4$ и $\text{Na}_3\text{PO}_4\cdot2\text{ScPO}_4$, к-рые были известны ранее. $3\text{NaF}\cdot\text{ScPO}_4$, идентифицирован методом РФА. Соединение плавится по перитектич. р-ции при 910° С; при 740 и 800° С имеет полиморфные превращения. Эвтектика соедине-

Tm

(7) 8

X.1990, N 6

2NaF·YPO₄

ния с NaF плавится при 870°C и содержит ~ 15 мол.% ScPO_4 . Установлено, что при 750°C сечение $\text{NaF}-\text{YPO}_4$ стабильное. На термограммах образцов системы в обл. 10—33 мол.% YPO_4 присутствуют эндотермич. эффекты при 600 и 690°C , к-рые можно интерпретировать как полиморфные превращения $\underline{2 \text{NaF} \cdot \text{YPO}_4}$, и как распад соединений др. состава, образующихся в тв. фазе.

По резюме

NaF-GdF₃

1989

23 Б3201. Система NaF—GdF₃ / Павлова Л. Н.,
Федоров П. П., Ольховая Л. А., Икрами Д. Д., Александров В. Б., Соболев Б. П. // Ж. неорган. химии.—
1989.— 34, № 8.— С. 2168—2170.— Рус.

Методами ДТА и рентгеновского анализов отожженных и закаленных образцов изучена система NaF—GdF₃. Обнаружены промежут. фазы переменного состава $\text{Na}_{0.5-x}\text{Gd}_{0.5+x}\cdot\text{F}_{2+2x}$ со структурой типа флюорита ($0,01 < x < 0,19$) и гагаринита ($0,02 < x < 0,06$) и тв. р-р $\text{Gd}_{1-y}\text{Na}_y\text{F}_{3-2y}$ ($y \leq 0,07$) на основе высокот-рной (тисонитовой — LaF₃) модификации GdF₃, распадающийся по эвтектоидной схеме по 931° С. Координаты эвтектики 718° С, 28 мол.% GdF₃.

Резюме

(11) 18
X. 1989, N 23

$\text{Na}_3\text{Eu}(\text{PO}_4)_2$

1989

т2

22 Б2054. Термическое и структурное изменение фосфата $\text{Na}_3\text{Eu}(\text{PO}_4)_2$. II. Рентгенографическое и оптическое исследование фаз $\delta\text{-Na}_3\text{Eu}(\text{PO}_4)_2$, $\epsilon\text{-Na}_{2,95}\text{Ca}_{0,10}\text{Eu}_{0,95}(\text{PO}_4)_2$ и $\text{Na}_{2,80}\text{Sr}_{0,40}\text{Eu}_{0,08}(\text{PO}_4)_2$. L'evolution thermique et structurale du phosphate $\text{Na}_3\text{Eu}(\text{PO}_4)_2$. II. Etude radiocristallographique et optique des phases $\text{Na}_3\text{Eu}(\text{PO}_4)_2\delta$, $\text{Na}_{2,95}\text{Ca}_{0,10}\text{Eu}_{0,95}(\text{PO}_4)_2\epsilon$ et $\text{Na}_{2,80}\text{Sr}_{0,40}\text{Eu}_{0,80}(\text{PO}_4)_2$ / Nikolov V. S., Pechev P., Zhang J., Parent C. L., Parent C. L., Salmon R., Le Flem G., Hagemulier P. // J. Solid State Chem.— 1989.— 82, № 2.— С. 264—271.— Фр.; рез. англ.

Проведено рентгенографич. исследование кристаллов $\delta\text{-Na}_3\text{Eu}(\text{PO}_4)_2$ (I) $\text{Na}_{2,95}\text{Ca}_{0,10}\text{Eu}_{0,95}(\text{PO}_4)_2$ (II) и $\text{Na}_{2,80}\text{Sr}_{0,40}\text{Eu}_{0,80}(\text{PO}_4)_2$ (III), полученных выращиванием из эвтектич. смеси NaCl — NaF . Параметры ромбич. реше-

х. 1990, № 25

ток I, II, III: a 15,87, 15,95, 15,84, b 13,91, 14,03, 7,03,
 c 18,40, 18,44, 18,51 Å, ρ (выч.) 4,03, 3,92, 3,97, ρ (изм.)
9,35, 3,90, 3,86, Z (I, II) 24, Z (III) 12, ф. гр. I, II
 $Pbc2_1$ или $Pbcn$, III — $P2_1$ или $Pmcn$. В спектрах ЛМ
I—III при возбуждении источником с λ 380 нм наблю-
даются расщепления каждой из трех полос $^5D_0 \rightarrow ^7F_0$,
в спектрах II, III расщепления выражены слабее. Для
фаз на основе I предложена модель фазовых переходов,



в процессе к-рых происходит изменение упорядочения
части катионов. Различный характер сверхструктур в
полиморфных модификациях фаз на основе I интерпре-
тирован на основе анализа расщепления спектров люми-
несценции.

В. Б. Калинин

№ 49
№ 50
№ 51

1989

) 23 Б3082. Молекулярный состав и термодинамика равновесного пара над конденсированной фазой $\text{NaI}-\text{HoI}_3$. Molecular composition and thermodynamic equilibria in vapour over the $\text{NaI}-\text{HoI}_3$ condensed phase / Popović A., Marsel J., Lelik L., Ajtony Zs., Kaposi O. // J. Less-Common Metals.— 1989.— 152, № 1.— С. 87—101.— Англ.

В интервале т-р 697—755 К с помощью масс-спектрометра, оборудованного Mo эффузионной ячейкой Куудсона, исследован состав газовой фазы над системой $\text{NaI}+\text{HoI}_3$, состав к-рой 0,3 : 0,7 соответствует наличию $\text{HoI}_3(s)$ и эвтектики HoI_3+NaI . В паре зарегистрированы NaI , HoI_3 , Na_2I_2 , $\underline{\text{NaHoI}_4}$, $\underline{\text{Na}_2\text{HoI}_5}$. Измерены константы равновесия след. р-ций: $\text{NaI}(s)+\text{HoI}_3(s) \rightleftharpoons \text{NaHoI}_4(g)$ (1); $\text{NaI}(s)+\text{HoI}_3(g) \rightleftharpoons \text{NaHoI}_4(g)$ (2); $\text{NaI}(g)+\text{HoI}_3(s) \rightleftharpoons \text{NaHoI}_4(g)$ (3); $\text{NaI}(g)+\text{HoI}_3(g) \rightleftharpoons \text{NaHoI}_4(g)$ (4). По 2-му и 3-му э-нам рассчитаны

X.1989, № 23

$\Delta_f H_{298}^{\circ}$ (кДж/моль) и $\Delta_f S_{298}^{\circ}$ (Дж/моль·К): 252,6 и 263,0; 218,4 и 233,1 для (1); -27,8 и 13,0, 10,3 и 29,3 для (2); 59,0 и 68,0, 70,5 и 82,6 для (3); -210,0 и -207,8, -119,4 и 119,6 для (4). Рекомендованные величины составили: $257,8 \pm 6$ кДж/моль и $225,7 \pm 8$ Дж/моль·К для (1); $-20,4 \pm 7$ и 20 ± 9 для (2); $63,5 \pm 4$ и $75,6 \pm 6$ для (3); $-208,9 \pm 5$ и $-119,5 \pm 4$ для (4). Измерены Ит концентрации NaI_3 и NaHf_4 : $9,3 \pm 0,2$ и $8,3 \pm 0,2$ эВ. Проанализированы закономерности в термохим. константах комплексных молекул в газовой фазе.

Ю. С. Ходоров

NaHo₃Y(2)

1989

} 8 Б3031. Молекулярный состав и термодинамические равновесия в парах над $\text{NaI}-\text{HoI}_3$. Molecular composition and thermodynamic equilibria in vapour over $\text{NaI}-\text{HoI}_3$ condensed phase / Popović A., Marsel J., Lelik L., Ajtorny Zs., Kaposi O. // Adv. Mass Spectrom.: Vol. 11B. Proc. 11th Int. Mass Spectrom., Conf., Bordeaux, 29 Aug.—2 Sept., 1988.— London, 1989.— С. 1130—1131.— Англ. Место хранения ГПНТБ СССР
Равновесное испарение бинарных иодидов $\text{NaI}(\text{I})-\text{HoI}_3(\text{II})$ в ячейке Кнудсена исследовано масс-спектрометрически в интервале т-р 680—830 К. Значения $\Delta_r H_{298}$ по 3-му и 2-му законам, а также $\Delta_r S_{298}$ по 3-му и 2-му законам для равновесий над конденсированной фазой I+II составили соотв.: I(s)=I(g)

(K_P, ΔH)

X. 1991, N 8

195,4 и 190,1 кДж/моль; 149,9 и 142,0 Дж/моль·К;
 $2\text{I}(s) = \text{Na}_2\text{I}_2(g)$ 224,8 и 207,9; 172,8 и 149,3; $\text{II}(s) =$
 $= \text{II}(g)$ 275,3 и 278,3; 202,2 и 205,6; $\text{I}(s) + \text{II}(s) =$
 $= \text{NaHoI}_4(g)$ 263,0 и 252,6; 233,1 и 218,4; $\text{I}(s) + \text{II}(g) =$
 $= \text{NaHoI}_4(g)$ -13,0 и -27,8; 29,8 и 10,3; $\text{I}(g) + \text{II}(s) =$
 $= \text{NaHoI}_4(g)$ 68,0 и 59,0; 82,6 и 70,5; $2\text{I}(g) =$
 $= \text{Na}_2\text{I}_2(g)$ -165,5 и -174,9; -126,1 и -138,4;
 $\text{I}(g) + \text{II}(g) = \text{NaHoI}_4(g)$ -207,2 и -210,0; -119,6 и
-119,4. Образование в смеси I+II газофазных комплексов способствует увеличению в парах конц-ии низколетучего II, что представляет особый интерес в производстве электрич. разрядных ламп. Соответствующий фактор (F) увеличения конц-ии II в парах рассчитан по данным изученных равновесий для $\text{I}/\text{II} = 0,1/0,9$. Значения $F(\text{II})$ табулированы в интервале 686—826 К с шагом ~ 20 К.

А. С. Гузей

№ 294

1989

7 Б3049. Определение энергий появления ионов, образующихся при ионизации газовой фазы над системами иодид щелочного металла—иодид редкоземельного элемента. Determination of appearance energy for ions formed in the gaseous phase over alkali iodide and rare earth iodide systems / Popović A., Muhić S., Mag sel J., Ajtony Zs., Bencze L., Kaposi O. // Rapid Commun. Mass. Spectrom.— 1989.— 3, № 7.— С. 207—211.— Англ.

С помощью масс-спектрометра, оборудованного Мо-эффузационной ячейкой Кнудсена, исследованы процессы ионизации молекул, находящихся в насыщ. паре над системами $\text{NaI}-\text{NaI}_3$, $\text{NaI}-\text{DyI}_3$, $\text{CsI}-\text{HoI}_3$, $\text{CsI}-\text{DyI}_3$ и над чистыми компонентами. Зависимости ионных токов I от ионизирующего напряжения V обрабатывались минимизацией эффективного разброса электронов по энергии с помощью постоянного коэф.

(+2) (R)

X. 1990, № 7

«*b*» в выражении $\Delta I = I(V) - I(V + \Delta V)$. Изломы на обработанных кривых сопоставлены с крит. энергиями различных процессов, приводящих к образованию исследуемого иона. Измерены энергии ионизации 8,0 для NaI , 7,5 для CsI , 9,5 для DyI_3 , 9,6 для HoI_3 , 8,5 для NaDyI_4 , 8,3 для NaHoI_4 , 8,5 для CsDyI_4 и 8,2 эВ для CsHoI_4 . Везде $\pm 0,2$ эВ. При исследовании системы $\text{NaI}-\text{DyI}_3$ зарегистрированы в незначит. кол-ве ионы $\text{Na}_2\text{DyI}_4^+$, свидетельствующие о присутствии в паре молекул Na_2DyI_5 . Показано, что основным ионам, образующимся при ионизации этой молекулы является ион Na_2I^+ .

Ю. С. Ходеев



NaHoI₄ 1989

Popovič A., Muhič S.,
et al.

I Rapid Commun. Mass.
Spectrom. 1989. 3, N 7. C.
207-211.

(cen. NaDyI₄; I)

~~K.G. SO
Kd. 804~~

Naz GdCl₆, Naz GdCl₅ 1989
OT 32656

III: 244763z Sodium gadolinium chloride (Na₂GdCl₆). A compound with uncommon phase transitions. Seifert, H. J.; Thiel, G. (Univ. GH Kassel, Kassel, Fed. Rep. Ger.). *Thermochim. Acta* 1989, 151, 197-201 (Eng). For Na₂GdCl₆ 2 modifications exist: at ambient temp. trigonal D-Na₂GdCl₆ and below 497° a monoclinic H-Na₂GdCl₆. There is no direct transition from D → H; but at 200° D-Na₂GdCl₆ decomp. to NaCl + Na₂GdCl₅. At 265° H-Na₂GdCl₆ is formed by the reverse reaction. This way of acting is proved by emf. vs. temp. measurements with a galvanic cell for solid electrolytes, and by dynamic high-temp. x-ray diffraction patterns. Na₂GdCl₅ is orthorhombic, space group *Pmma*, with *a* 1203.1(3), *b* 629.5(2), and *c* 760.5(2) pm; *Z* = 4.

(Tz)

C.A. 1989, III, N26

Nadillac [Om. 34237] 1989

Leipert H. J.,

Fz Z. Thierm. Anat., 1989,
35, N8, 1879-1890

NaHo₂F₇

1990

6 Б3113. Система $\text{NaF}-\text{HoF}_3$ / Федоров П. П., Павлова Л. Н., Ольховская Л. А., Икрами Д. Д., Соболев Б. П. // Ж. неорган. химии. — 1990. — 35, № 11. — С. 2948—2950. — Рус.

Методами ДТА и РФА изучены фазовые равновесия в системе $\text{NaF}-\text{HoF}_3$, определена область гомогенности конгруэнтно плавящейся фазы переменного состава $\text{Na}_{0.5-x}\text{Ho}_{0.05+x}\text{F}_{2+2x}$ ($x = -0,01 — +0,155$), выявлено соединение NaHo_2F_7 со структурой, пр-ной от флюорита (параметры моноклинной субъячейки $a = 3,934$; $b = 3,934$; $c = 5,561 \pm 0,005 \text{ \AA}$, $\beta = 88,63^\circ$), существующее в тв. состоянии в интервале т-р $633—767^\circ \text{ C}$. Фаза на основе NaHoF_4 (структурный тип гагаринита) имеет область гомогенности 4 ± 1 мол. %.

Резюме

(7)



ж. 1991, N6

NaEuCl₄

1990

114: 89302t Double chlorides in the systems ACl/europium trichloride (A = sodium to cesium). Seifert, H. J.; Sandrock, J. (Abt. Anorg. Chem., Univ. Kassel, D-3500 Kassel, Fed. Rep. Ger.). Z. Anorg. Allg. Chem. 1990, 587, 110-18 (Ger). The phase diagrams of the pseudobinary systems ACl/EuCl₃ (A = Na to Cs) were investigated by DTA. The T- and H-A₂EuCl₄ with A = Cs, Rb and T- and H-NaEuCl₄ were found in addn. to other known compds. Their powder diffractograms were indexed by analogy to known structure families. Soln. calorimetry and measurements of e.m.f. = f(T) in galvanic cells for solid electrolytes were used to det. the enthalpies (ΔH) and free energies (ΔG) of formation of the ternary chlorides. In the cases of KCl and NaCl, only the compds. A₂CuCl₅ and NaEuCl₄ are stable at ambient temp. Compared to the systems with LnCl₃ (La to Nd) investigated previously, a tendency toward structures with lower coordination nos. exists as was already detected in the systems ACl/SmCl₃.

(+3)

☒

C.A. 1991, 114, N10



EuCl₄, RbEuCl₄,
CsEuCl₄ (SH, SF, Tm)

1990



№ 4 Е679. Система $\text{NaF}-\text{HoF}_3$ / Федоров П. П., Павлова Л. Н., Ольховая Л. А., Икрами Д. Д., Соболев Б. П. // Ж. неорган. химии.— 1990.— 35, № 11.— С. 2948—2950

Методами ДТА и РФА изучены фазовые равновесия в системе, определена область гомогенности конгруэнтно-плавящейся фазы переменного состава $\text{Na}_{0,5-x}\text{Ho}_{0,5+x}\text{F}_{2+2x}$ ($x =$ от $-0,01$ до $+0,155$), выявлено соединение NaHo_2F_7 со структурой, производной от флюорита (параметры моноклинной субъячейки $a = 3,394$; $b = 3,934$; $c = 5,561 \pm 0,005$ Å, $\beta = 88,63^\circ$), существующее в твердом состоянии в интервале т-р. Фаза на основе NaHoF_4 (структурный тип гагаринита) имеет область гомогенности 4 ± 1 мол. %. Резюме

Структура

phi, 1991, № 4

NaLa(WO₄)₂

1990

Om 34 779

3 Е268. Низкотемпературная теплоемкость, энтропия и разность энタルпий $\text{NaLa}(\text{WO}_4)_2$ / Фролова Г. И., Козеева Л. П., Пауков И. Е. // Ж. физ. химии.— 1990.— 64, № 10.— С. 2800—2801

В вакуумном адиабатич. калориметре измерена теплоемкость $\text{NaLa}(\text{WO}_4)_2$ в интервале 5,7—320 К. Рассчитаны значения термодинамич. ф-ций и температурная зависимость дебаевской температуры.

Резюме

(6)

phi. 1991, n3

NaLa(WO₄)₂ № 34779 1990.

5 Б3013. Низкотемпературная теплоемкость, энтропия и разность энталпий NaLa(WO₄)₂ / Фролова Г. Н., Козеева Л. П., Пауков И. Е. // Ж. физ. химии.— 1990.— 1990.— 64, № 10.— С. 2800—2801.— Рус.

Методом вакуумной адиабатич. калориметрии в интервале т-р 5,7—320 К измерена теплоемкость C_p NaLa(WO₄)₂ (I). Станд. значения термодинамич. ф-ций I составили соотв. $C_p^0(298,15 \text{ K}) = 238,8 \pm 2 \text{ Дж/моль}\cdot\text{К}$, $\Phi^0(298,15 \text{ K}) = 143,8 \pm 0,4 \text{ Дж/моль}\cdot\text{К}$, $S^0(298,15) = 290,8 \pm 0,6 \text{ Дж/моль}\cdot\text{К}$, $H^0(298,15) - H^0(0) = 43840 \pm 50 \text{ Дж/моль}$. Вычислена т-рная зависимость дебаевской т-ры $\theta(T)$. Она меняется от 250К при 15К до 650К при 300К. Сильная зависимость величины θ от т-ры означает, что существенный вклад в теплоемкость вносит нескольких разных видов колебаний решетки.

А. Л. М.

(P, 3)

X. 1991, N 5

0733395

1990

NaDyJ₄
Na₂DyJ₃

(k_p, Δf)

7 И250. Термодинамические свойства в расплавленной системе NaJ—DyJ₂. Thermodynamic properties of the melt of the NaI—DyI₃ system / Hilpert K., Miller M., Gerads H., Saha B. // Ber. Bunsenges. phys. Chem.—1990.— 94, № 1.— С. 35—39.— Англ.

При т-ре 1000 К методом кнудсеновской эффузионной масс-спектрометрии исследованы пары системы NaJ—DyJ₃, которая представляет собой твердый DyJ₃+расплав при содержании $x_{\text{NaJ}} < 0,53$ и чистый расплав при $x_{\text{NaJ}} > 0,53$. Для зарегистрированных в парах системы частиц NaJ, (NaJ)₂, DyJ₃, NaDyJ₄ и Na₂DyJ₃ определено их парциальное давление в зависимости от состава системы в полном диапазоне его изменения. На основании получаемых данных рассчитаны химич. активности NaJ и DyJ₃, а также избыточный химич. потенциал NaJ. Установлено, что рассчитанные интегр. энергии Гиббса для расплава являются отрицательными и проявляют минимум вблизи содержания $x_{\text{NaJ}} = 0,75$. Результаты для парциальных давлений обсуждаются в связи с их важностью для понимания процессов переноса в металлогалоидных лампах. Библ. 23. Б. И. А.

φ. 1990, № 7

Надя 94

Om 33395

1990

13 Б3191. Термодинамические свойства расплава
системы NaJ—DyJ₃. Thermodynamic properties of the
melt of the NaI—DyI₃ system / Hilpert K., Miller M.,
Gerads H., Saha B. // Ber. Bunsenges. phys. Chem.—
1990.— 94, № 1.— С. 35—39.— Англ.

С использованием модифицированного масс-спектро-
метра с камерой Кнудсена исследованы равновесия
жидкость — пар в системе NaI (I) — DyI₃ (II) при т-ре
1000 К, когда в равновесии с расплавом с конц-ией
I $0 < x < 0,53$ мол. доли находится тв. II или система
полностью расплавлена и $0,53 \leq x \leq 1$. В паро-газовой
фазе (в атмосфере аргона) исследованные в-ва нахо-

($\chi_p, \Delta f$)

X. 1990, N 13

дятся в форме молек. частиц I, $(\text{NaI})_2$, II, NaDyI_4 и Na_2DyI_5 . Определены их парц. давл. Рассчитаны хим. активности I и II и избыточные хим. Пт I. Интегральные избыточные свободные энергии Гиббса расплава во всех случаях отриц., а их зависимости от состава проходят через минимум вблизи $x=0,75$, что соответствует образованию анионного комплекса Dy_6^{3-} . Практическое значение исследования связывается с использованием данной смеси в металл-галогенидных лампах электроосветительных приборов. Л. В. Арсеенков

NaEr_2I_4

NaEr_2I_8

(P , $\delta\rho$, ΔH)

01134605

1990

4 Б3049. Комплексообразование в газообразной системе $\text{NaI}-\text{ErI}_3$. Gas complexation in the $\text{NaI}-\text{ErI}_3$ system / Metallinou Monika M., Herstad Oddvin, Ostvold Terje, Papatheodorou Georg N. // Acta chem. scand.—1990.—44, № 7.—С. 683—687.—Англ.

Давление пара эквимол. смеси NaI (I) — ErI_3 (II) определено эффузионным методом Кнудсена в сочетании с масс-спектрометрич. методом. В газ. фазе установлено образование комплекса $\underline{\text{NaErI}_4}$ (III) и небольших кол-в димера $\underline{\text{NaEr}_2\text{I}_8}$. Приведены относит. интенсивности линий масс-спектра и ПТ появления ионов. Определена $\Delta_{\text{sub}}H$ (II) = 253 ± 12 кДж/моль. Для газофазной р-ции I+II=III, $\Delta_rH = -244 \pm 12$ кДж/моль, $\Delta_rS^0 = -163 \pm 12$ Дж/моль·К. Для газофазной р-ции димеризации $\Delta_rH = -200 \pm 20$ кДж/моль, $\Delta_rS = -187 \pm 17$ Дж/моль·К при 890 К. Предложена модель строе-

ж. 1991, № 4

ния димера и схема его диссоциации с отщеплением II
и I. Проведено сопоставление с термодинамич. св-ва-
ми газ. комплексов в др. подобных галидных системах.
Изученная газ. система используется в газоразряд-
ных лампах высокой интенсивности.

Л. А. Резницкий

NaErI₄

Om 34605

1990

(K_p, ΔH)

113: 160017r Gas complexation in the sodium iodide-erbium iodide system. Metallinou, Monika M.; Herstad, Oddvin; Oestvold, Terje; Papatheodorou, Georg N. (Norw. Inst. Technol., Univ. Trondheim, N-7034 Trondheim, Norway). *Acta Chem. Scand.* 1990, 44(7), 683-7 (Eng). The vapor phase above an equimolar NaI-ErI₃ was studied by the Knudsen cell mass spectrometry. The presence of the complex mol. NaErI₄ in the equil. vapor was established. There is also evidence for the existence of the complex dimer Na₂Er₂I₈ in small amts. The main complexation reaction is given by reaction NaI(g) + ErI₃(g) ⇌ NaErI₄(g), with $\Delta H = -244 \pm 12$ kJ/mol and $\Delta S = -163 \pm 12$ J/mol. K at 890 K. For the complex dimerization reaction 2NaErI₄(g) ⇌ Na₂Er₂I₈(g), the corresponding enthalpy and entropy changes are -200 ± 20 kJ/mol and -187 ± 17 J/mol.K at 890 K. The volatility enhancement of ErI₃ due to the complexation was calcd. to be approx. 21 at 900 K and 50 at 825 K.

C.A. 1990, 113, N 18

Na_3EuCl_6

1990

Seifert H.-J., Sandrock J.

Z. Anorg. und allg. chem.
1990, 587, N.S. C. 110-118.

(Calc. \bullet EuCl_3 ; I)

$Na_3 NdCl_6(e)$

1991

Faure - Escard M.,
Bogacz A., et al.
(Afr H,
Mater. Sci. Forum.
Gp) 1991, 73-75, 61-70.

(Cer-Li₃ NdCl₆(e); ?)

1991

21 Б2072. Модель атомного строения флюорито-
подобной фазы NaYb_2F_7 / Голубев А. М., Федоров П. И.,
Бондарева О. С., Симонов В. И., Соболев Б. П. //
Кристаллография.— 1991.— 36, № 3.— С. 656—661.—
Рус.

Предложена модель атомного строения монокл.,
псевдоромбич. ($a \simeq a_{\phi}\sqrt{6}$, $b \simeq a_{\phi}\sqrt{2}$, $c \simeq a_{\phi}3\sqrt{3}$, $\beta \simeq 90^\circ$,
ф. гр. $C2$, где a_{ϕ} — параметр исходной флюоритовой
субъячейки) флюоритоподобной фазы NaYb_2F_7 . В основу
моделирования положены многоатомные кластеры
 $\text{Na}_8\text{Yb}_6\text{F}_{68}$, образующие слои с катионным составом
 Na_4Yb_6 , подобные слоям в структуре KHo_2F_7 . Соединение
кластеров из разных слоев в предлагаемой модели
осуществляется двумя способами: как в структуре
 KHo_2F_7 и как в гипотетич. трикл. структуре NaR_2F_7 . Выявлена возможность образования политипных структур MR_2F_7 за счет различных комбинаций двух способов соединения слоев кластеров. $\text{M}_8\text{R}_6\text{F}_{68}$. Приведены приблизит. координаты атомов гипотетич. структуры NaYb_2F_7 , к-рые могут служить стартовой моделью при уточнении параметров структуры по монокристальным данным.

Структура

X. 1991, № 3

$\text{LnNa(AsO}_4\text{)}_2$ 1991
Касенов Б.К.,

Узарурова З.М.

ΔG_f° ,
расчём

Несораз. соедин.

1991. 27, NII.C.2452-

2454. (cell: LnAsO_4 ; ?)

NazLabs

Dm. 35579 /

1991

Seifert H., Yuan Y.,

J. Less-Common Metals
1991, 170, N1, 135-143

Thermochemical systems • studies on the
A₂Br - LaBr₃

(A = Na, K, Rb, Cs)

$\text{Na}_3\text{Ce}(\text{PO}_4)_2$

1991

116: 92452p Phase equilibria in the system cerium phosphate (CePO_4)-trisodium phosphate. Szczygiel, Irena; Znamierowska, Teresa (Fac. Eng. Econ., Acad. Econ., 53345 Wroclaw, Pol.). *J. Solid State Chem.* 1991, 95(2), 260-4 (Eng). The phase diagram of the system CePO_4 - Na_3PO_4 was detd. by differential thermal, x-ray, and microscopic methods. The system contains only one intermediate compd., $\text{Na}_2\text{Ce}(\text{PO}_4)_2$, which melts incongruently at 1550°C. This compd. is stable down to room temp. and exhibits a polymorphic transition at 1050°C. The low-temp. modification has an orthorhombic (lattice type P) unit cell with parameters a 14.074(1), b 16.039(1), and c 18.607(1) Å; V = 4200.21 Å³.

(Tm)

C.A. 1992, 116, N 10

$\text{Na}_3\text{Ce}(\text{PO}_4)_2$

1991

20 Б3065. Фазовые равновесия в системе CePO_4 — Na_3PO_4 . Phase equilibria in the system CePO_4 — Na_3PO_4 /Szczygieł Irena, Znamierowska Teresa //J. Solid State Chem.—1991.—95, № 2.—С. 260—264.—Англ.

С помощью методов ДТА, рентгенографии, микроскопии в отраженном свете и ИК-спектроскопии определена фазовая диаграмма системы CePO_4 — Na_3PO_4 . Система содержит только одно соед. $\underline{\text{Na}_3\text{Ce}(\text{PO}_4)_2}$, плавящееся инконгруэнтно при 1550° С. Это соед. устойчиво вплоть до комн. т-ры и показывает полиморф. превращение при 1060° С. Низкот-рная модификация $\beta = \text{Na}_3\text{Ce}(\text{PO}_4)_2$ имеет ромбич. структуру с параметрами элементарной ячейки: а 14,074(1), b 16,039 (1) и с 18,607 (1) А; $V=4200,21 \text{ A}^3$.

В. Ф. Байбуз

(T_m, T_{t2})

Х: 1992, № 20

Na₂CaP₂O₇

Om 35629

1991

115: 241067a Phase equilibria in the system cerium phosphate-sodium phosphate. Szczygiel, I.; Znamierowska, T. (Fac. Eng. Econ., Acad. Econ., 53345 Wroclaw, Pol.). *J. Therm. Anal.* 1991, 37(4), 705-11 (Eng). The system CePO₄-NaPO₄ was investigated by differential thermal and x-ray analyses and IR spectroscopy and its phase diagram was established. The system contains only one intermediate compd., CeNaP₂O₇, which melts incongruently at 800°. It exhibits a polymorphic transition at 595°. The low-temp. modification has an orthorhombic unit cell with the parameters: $a = 5.28$, $b = 12.65$, $c = 4.31$ Å, $\alpha = \beta = \gamma = 90^\circ$ and $V = 288.1$ Å³.

(Tm)

C.A. 1991, 115, N22

№ 67

№ 35629

1991

24 Б3096. Фазовые равновесия в системе CePO_4 — NaPO_3 . Phase equilibria in the system CePO_4 — NaPO_3 / Szczygiel I., Znamierowska T. // J. Therm. Anal.— 1991. — 37, № 4.— С. 705—711.— Англ.; рез. нем.

Методами ДТА, ТГА, РФА, ИКС исследованы фазовые равновесия в системе CePO_4 (I)— NaPO_3 (II). Установлено, что в системе существует одно промежут. соединение NaCeP_2O_7 , никонгруэнтно плавящееся при 800°C и имеющее две полиморфные модификации с трой фазового перехода 595°C . Параметры крист. решетки низкот-рной модификации $a = 5,28$; $b = 12,65$; $c = 4,31$ Å, $\alpha = \beta = \gamma = 90^\circ$; $V = 288,3$ Å³. Фазовая диаграмма системы I—II имеет эвтектику при 610°C и перитектику при 800°C .

В. А. Коржов,

Х. 1991, № 24

NaLuF₄

1992

10 В2. Новая модификация тетрафторлютециата на-
трия NaLuF_4 / Федоров П. П., Бондарева О. С., Бу-
чинская И. И., Вистинь Л. Л., Соболев Б. П. // Ж.
неорган. химии.— 1992.— 37, № 2.— С. 273—275.— Рус.

Методом твердофазного спекания при 570° С получена
новая модификация соединения NaLuF_4 со структурой
типа NaScF_4 — KErF_4 , гексагональная сингония, $a = 13,57$
(4), $c = 9,38$ (4), $Z = 18$.

(T_{ℓ_2})

X. 1992, N 10

$\text{Na Nd}(\text{WO}_4)_2$

(In 36943)

1992

119: 81365y Thermodynamic properties of sodium neodymium tungstate ($\text{NaNd}(\text{WO}_4)_2$) at 5.8-320 K. Frolova, G. I.; Kozeeva, L. P.; Paukov, I. E. (Inst. Neorg. Khim., Novosibirsk, Russia). *Zh. Fiz. Khim.* 1992, 66(12), 3387-9 (Russ.). Adiabatic vacuum calorimeter was used to measure the heat capacity of $\text{NaNd}(\text{WO}_4)_2$ at low temps. and the thermodyn. functions were derived. A Schottky anomaly was obtd., due to the Stark level thermal population of the ground state $\frac{1}{2}, \pm \text{Nd}^{3+}$.

C_p , ΔH_{m} vs T
 ϕ -III

C.A. 1993, 19, N8

$\text{NaNd}(\text{WO}_4)_2$

Дн 36943

1992

4 E182. Термодинамические свойства $\text{NaNd}(\text{WO}_4)_2$ в интервале температур 5,8—320К / Фролова Г. И., Козеева Л. П., Пауков И. Е. // Ж. физ. химии. — 1992 .— 65 , № 12 .— С. 3387—3389 .— Рус.

В вакуумном адиабатич. калориметре измерена теплопроводность $\text{NaNd}(\text{WO}_4)_2$. Рассчитаны значения термодинамич. ф-ций. Обнаружена аномалия Шотки, обусловленная термич. заселением штарковских уровней основного состояния ${}^4I_{9/2}$ ионов Nd^{3+} .

gr

(6-320K)

сф. 1993, N 4

$\text{NaNd}(\text{WO}_4)_2$ (dm 36943) 1992

1) 7 Б3022. Термодинамические свойства $\text{NaNd}(\text{WO}_4)_2$ в интервале температур 5,8—320 К /Фролова Г. И., Ко-
зеева Л. П., Пауков И. Е. //Ж. физ. химии.—1992.—66
№ 12.—С. 3387—3389.—Рус.

Gr
(5,8—320K)
В вакуумном адиабатич. калориметре измерена тепло-
емкость $\text{NaNd}(\text{WO}_4)_2$. Рассчитаны значения термодина-
мич. функций. Обнаружена аномалия Шоттки, обуслов-
ленная термич. заселением штарковских уровней основ-
ного состояния $^4J_{9/2}$ ионов Nd^{3+} .

d. 1993, № 7

NdCl₃·3NdCl 1992
1963116. Фазовое равновесие и структурные разно-
видности систем NdCl₃—NaCl, NdCl₃—CaCl₂, PrCl₃—NaCl,
PrCl₃—CaCl₂. Phase equilibria and structural species in NdCl₃—
NaCl, NdCl₃—CaCl₂, PrCl₃—NaCl, and PrCl₃—CaCl₂ systems
/Sharma Ram A., Rogers Robert A. //J. Amer. Ceram. Soc.
—1992.—75, № 9.—C. 2484—2490.—Англ.

(Tm)

С помощью метода ДТА построены равновесные фазовые диаграммы для систем NdCl₃—CaCl₂ и NdCl₃—NaCl и соотнесены с известными из лит-ры фазовыми диаграммами систем PrCl₃—NaCl и PrCl₃—CaCl₂ для оценки структурных особенностей этих расплавов. На фазовой диаграмме системы NdCl₃—CaCl₂ обнаружена простая эвтектика при содержании CaCl₂ $x=59\pm 1$ мол.% и $t=600\pm 2^\circ\text{C}$. В системе NdCl₃—NaCl обнаружено соед. состава $\text{NaCl}\cdot 3\text{NdCl}$, инконгруэнтно плавящееся при $t=545\pm 5^\circ\text{C}$ до NdCl₃ и жидкости, содержащей примерно 47 мол.% NaCl и эвтектику с $x=68$ мол.% NaCl и $t=439\pm 2^\circ\text{C}$. На основании соответствия активностей, вы-

X. 1993, N 19

численных по ур-нию Клапейрона — Клаузиуса и модели Темкина применительно к расчетам эксперим. диаграммы NdCl_3 — CaCl_2 и справочных диаграмм PrCl_3 — CaCl_2 , показано, что расплавы в системе NdCl_3 — CaCl_2 содержат ионы Nd^{3+} , Ca^{2+} и Cl^- , а в системе PrCl_3 — CaCl_2 ионы Pr^{3+} , Ca^{2+} и Cl^- . Аналогично, в системе NdCl_3 — NaCl указано на присутствие ионов Na^+ , Cl^- и NdCl_4^- в расплавах с высоким содержанием NdCl_3 . Аналогичные ионы идентифицированы в расплавах PrCl_3 — NaCl .

О. Е. Голуб

$\text{NaCl} \cdot 3\text{NdCl}_3$

1992

117: 259187r Phase equilibria and structural species in neodymium chloride-sodium chloride, neodymium chloride-calcium chloride, praseodymium chloride-sodium chloride, and praseodymium chloride-calcium chloride systems. Sharma, Ram A.; Rogers, Robert A. (Phys. Chem. Dep., Gen. Met. Res. Lab., Warren, MI 48090-9055 USA). *J. Am. Ceram. Soc.* 1992, 75(9), 2484-90 (Engl.). Equil. phase diagrams for the systems $\text{NdCl}_3\text{-CaCl}_2$ and $\text{NdCl}_3\text{-NaCl}$ were detd. by DTA. A simple eutectic was obsd. at 59 ± 1 mol.% CaCl_2 and $600 \pm 2^\circ$ in the $\text{NdCl}_3\text{-CaCl}_2$ system. A compd. $\text{NaCl}\text{-3NdCl}_3$ which melts incongruently at $545 \pm 5^\circ$ to NdCl_3 and a liq. contg. approx. 47 mol.% NaCl , and a eutectic at 68 mol.% NaCl and $439 \pm 2^\circ$ were found in the $\text{NdCl}_3\text{-NaCl}$ system. On the basis of agreements between the activities calcd. by the Clausius-Clapeyron equation and Temkin's model using the present data for the $\text{NdCl}_3\text{-CaCl}_2$ system and the literature data for the $\text{PrCl}_3\text{-CaCl}_2$ system, the melts in the former system consist of Nd^{3+} , Ca^{2+} , and Cl^- ions and in the latter system of Pr^{3+} , Ca^{2+} , and Cl^- ions. The above approach indicates the presence of Na^+ , Cl^- , and NdCl_3^{2-} ions in the NaCl -rich melts and Nd^{3+} , Cl^- , and NdCl_4^- in the NdCl_3 -rich melts in the $\text{NdCl}_3\text{-NaCl}$ system. Analogous ions were indicated in the melts of the $\text{PrCl}_3\text{-NaCl}$ system.

(Tm)

C.A. 1992, 117, N26

Nalepa D

1992

(Tm)

117: 15201z Phase equilibria in the partial system cerium phosphate(CePO_4)-sodium pyrophosphate($\text{Na}_4\text{P}_2\text{O}_7$)-sodium metaphosphate(NaPO_3). Szczygiel, I.; Znamierowska, T. (Fac. Eng. Ec., Acad. Econ., 53345 Wrocław, Pol.). ~~Mater. Chem. Phys.~~ 1992, 31(3), 277-9 (Eng). During the study of sodium-cerium(III) phosphates, the phase diagram of system CePO_4 - $\text{Na}_4\text{P}_2\text{O}_7$ - NaPO_3 was detd. by thermal, x-ray and microscopic anal. One double phosphate, NaCeP_2O_7 , occurs in this system. It melts incongruently to $\text{Ce}(\text{PO}_4)_3$ and a liq. at 800°. Two systems, NaCeP_2O_7 - $\text{Na}_4\text{P}_2\text{O}_7$ and NaCeP_2O_7 - $\text{Na}_3\text{P}_2\text{O}_7$, were found to occur in this region. Their phase diagrams were detd.

C. A. 1992, 117, N2

Na_2DyBr_4

1993

Na_2DyBr_5 Hilpert K., Miller M.

Proc. Electrochem. Soc.
Macc-
crekmp,
Keeygc.
venap.

1993, 93-16, 148-60.
 NaBr ; $\frac{T}{\Delta t}$

Na.TbI₄(2)

1994.

145°, 150

Mikhalkin

Na.TbI₄(2) 1994

121: 168888m Vapor complexation and thermochemistry over NaI-TbI₃ mixtures: a mass spectrometric investigation. Boghosian, S.; Herstad, O. (Inst. Chem. Eng. High Temp. Chem. Processes, Univ. Patras, Patras, Greece GR-26500). *Polyhedron* 1994, 13(10), 1639-46 (Eng). High-temp. Knudsen effusion mass spectrometry was used for studying the equil. vapors over equimolar NaI-TbI₃ mixts. in the temp. range 765-885 K. The data prove the existence of the NaTbI₄ vapor complex, which is shown to undergo ionization by deriving the full series of NaTbI_n⁺ (n = 1, 2, 3, 4) fragments upon electron impact. The detection of an Na₂TbI₄⁺ fragment with very low ion intensity provides evidence for the formation of a 2nd, larger vapor complex mol. [Na₂TbI₅ (g) or Na₂Tb₂I₈ (g)] to a much lesser extent. Ion intensity data are used for calcg. the equil. partial pressures of gaseous species and for detg. the thermodn. functions of the reaction: NaI(g) + TbI₃(g) ⇌ NaTbI₄(g); ΔH° = -225 ± 3 kJ mol⁻¹, ΔS° = -44 ± 4 J mol⁻¹ K⁻¹. The equil. 2NaI(g) + TbI₃(g) ⇌ Na₂TbI₅(g) and 2NaTbI₄(g) ⇌ Na₂Tb₂I₈(g) are also considered and their thermodn. functions are detd. and discussed with ref. to their consistency. The volatility enhancement of TbI₃, which is mainly due to NaTbI₄(g) formation, ranges between 35 at 885 K and 95 at 765 K.

C.A. 1994, 121, N 14

NaTbI₄

1994

5 Б3023. Комплексообразование в газовой фазе и термохимия смесей NaI—TbI₃: масс-спектрометрическое исследование. Vapour complexation and thermochemistry over NaI—TbI₃ mixtures: A mass spectrometric investigation /Boghosian S., Herstad O. //Polyhedron. —1994.—13, № 10.—С. 1639—1646.—Англ.

Равновесия в газ. фазе над эквимол. смесями NaI—TbI₃ при 765—885 К изучены эффузионным методом Кнудсена в сочетании с масс-спектрометрич. методом. Установлено образование комплекса NaTbI₄, к-рый ионизируется при электронном ударе с образованием ионов NaTbI_n⁺ (n=1, 2, 3, 4), а также более сложных фрагментов Na₂TbI_n⁺, образующихся при диссоциации Na₂TbI₅ или Na₂Tb₂I₈. Вычислены изменения ΔH°, кДж/моль, и ΔS°, Дж/К•моль, в газофазных р-циях: NaI+TbI₃=NaTbI₄ — 225±3 и —144±4; 2NaI+TbI₃=Na₂TbI₅ — 372±10 и —282±12; Na₂I₂+TbI₃=Na₂Tb₂I₈ — 210±10 и —171±6; 2NaTbI₄=Na₂Tb₂I₈ — 159±8 и —146±10. Исследование предпринято с целью установления термодинамич. х-к состава пара галогенных ламп.

Л. А. Резницкий

X. 1995, N5

ом 37577 1994

24 Б3086. Калориметрическое исследование жидких смесей $\text{PrCl}_3\text{—NaCl}$ и $\text{PrCl}_3\text{—KCl}$. Calorimetric investigation of $\text{PrCl}_3\text{—NaCl}$ and $\text{PrCl}_3\text{—KCl}$ liquid mixtures /Gaune-Escard M., Rycerz L., Szczepaniak W., Bogacz A. //Thermochim. Acta .—1994 .—236 .—С. 59—66 .—Англ.

В высокотемпературном микрокалориметре Кальве с использованием метода разрушения ампул для смешения двух жидк. компонентов измерены энталпии смешения $\Delta_{mix} H$ для жидк. бинарных систем NaCl—PrCl_3 и KCl—PrCl_3 при т-ре 1122 К во всей области составов в среде аргона при атм. давл. с точностью около 6%. В исследованных системах $\Delta_{mix} H$ отрицательны с миним. значениями около —7 и —16 кДж/моль для систем NaCl—PrCl_3 и KCl—PrCl_3 соотв. при $x_{\text{PrCl}_3} \approx 0,4$. Определены также энталпии образования всех расплавов систем $\text{PrCl}_3\text{—MCl}$ (где $M=\text{Li, Na, K, Rb, Cs}$) составов при $x_{\text{PrCl}_3}=0,25$. Мол. энталпии образования ΔH_m (M_3PrCl_6 , I, 1122 К), соотв-щие р-ции $3\text{MCl}(l)+\text{PrCl}_3(l)=\text{M}_3\text{PrCl}_6$, равны —6,1; —25,0; —55,9; —66,4 и 80,4 кДж/моль для $M=\text{Li, Na, K, Rb}$ и Cs соотв. Проведено сравнение со значениями ΔH для соединений M_3LnCl_6 (где $M=\text{Li, Na, K, Rb, Cs}$ и Ln=La, Ce, Nd), полученными ранее. В. Ф. Байбуз

8/ff

(1) K_3PrCl_6

X. 1994, №24

Dylls-Nall (21) DM 39639 1994

120: 228673d Enthalpies of mixing in the $\text{DyCl}_3\text{-NaCl}$, $\text{DyCl}_3\text{-KCl}$ and $\text{DyCl}_3\text{-PrCl}_3$ liquid systems. Gauno-Escard, M.; Rycerz, L.; Bogacz, A. (IUSTI, UA 1168 CNRS, Universite de Provence, Centre de St. Jerome, Av. Escadrille Normandie Niemen, F-13397 Marseille, 20 Fr.). *J. Alloys Compd.* 1994, 204(1-2), 185-8 (Eng). The ipolar enthalpies of mixing ($\Delta_{mix}H_m$) in the $\text{DyCl}_3\text{-NaCl}$, $\text{DyCl}_3\text{-KCl}$, and $\text{DyCl}_3\text{-PrCl}_3$ liq. binary systems were measured at 1100, 1070, and 1074 K, resp., over the whole compn. range under argon at atm. pressure. For the first two systems, the enthalpies of mixing are neg. over the whole compn. range, with min. at $x_{\text{DyCl}_3} \approx 0.3$ of about -8 and -21 kJ/mol, resp. For the $\text{DyCl}_3\text{-PrCl}_3$ system the enthalpy-of-mixing values are pos., with a max. at ≈ 0.4 of 760 J/mol. The least-squares coeffs. A, B, C and D of the equation for the interaction parameters λ (kJ/mol) = A + Bx + Cx² + Dx³ are presented.

(Smix H)

↗ (72)

C.A. 1994, 12.0, N18

$\text{DyCl}_3 \rightarrow \text{KCl}$

$\text{DyCl}_3 \rightarrow \text{PrCl}_3$ (DmixH)

Lao. & Nas. Nitr₃

1994

Hildrem, Ragni; Brustad,
Morten; et al.

P, ΔF,
 $\Delta_2 S$, $\Delta_2 H$ Mater. & Met. 1994,
29 (8), 857-60

(all. Lao. 8% K₂O, 2% Nitr₃; I)

NaBr - DyBr₃

1994

122: 22563a Analysis and thermochemistry of the vapor of the NaBr-DyBr₃ system. Hilpert, K.; Miller, M. (Inst. Mat. Energy Systems, Res. Cent. Julich, D-52425 Julich, Germany). *J. Electrochem. Soc.* 1994, 141(10), 2769-74 (Eng). The vapor of the NaBr-DyBr₃ system was studied under equil. conditions between 763 and 1009 K by using Knudsen effusion mass spectrometry with 1- and two-compartment Knudsen cells. The gaseous species NaBr, (NaBr)₂, DyBr₃, (DyBr₃)₂, NaDyBr₄, and Na₂DyBr₅ were detected in the vapor. The enthalpy and entropy changes of the reactions $\text{NaDyBr}_4(\text{g}) = \text{NaBr}(\text{g}) + \text{DyBr}_3(\text{g})$ [1], $\text{NaDyBr}_4(\text{g}) = \text{NaBr}(\text{g}) + \text{DyBr}_3(\text{s})$ [2], and $2\text{NaDyBr}_4(\text{g}) = 2\text{NaBr}(\text{g}) + (\text{DyBr}_3)_2(\text{g})$ [3], as well as the enthalpy change of the reaction $\text{Na}_2\text{DyBr}_5(\text{g}) = 2\text{NaBr}(\text{g}) + \text{DyBr}_3(\text{g})$ [4], resulted as $\Delta H_{298}^{\circ} = 242.7 \pm 5.6 \text{ kJ mol}^{-1}$, $\Delta S_{298}^{\circ} = 146.5 \pm 6.8 \text{ J mol}^{-1} \text{ K}^{-1}$ for reaction Eq. 1; $\Delta H_{298}^{\circ} = -33.6 \pm 1.0 \text{ kJ mol}^{-1}$, $\Delta S_{298}^{\circ} = -54.9 \pm 2.7 \text{ J mol}^{-1} \text{ K}^{-1}$ for reaction Eq. 2; $\Delta H_{298}^{\circ} = 269.6 \pm 6.8 \text{ kJ mol}^{-1}$, $\Delta S_{298}^{\circ} = 131.8 \pm 8.0 \text{ J mol}^{-1} \text{ K}^{-1}$ for reaction Eq. 3; and $\Delta H_{298}^{\circ} = 418.8 \pm 12.1 \text{ kJ mol}^{-1}$ for reaction Eq. 4. The following equil. const. was obtained for the dissociation reaction Eq. 1: $\log K_p^{\circ} = -12,299/(T/\text{K}) + 6.9615$. The data are discussed generally as well as with respect to their significance for chem.-vapor transport in metal halide lamps.

(P, M.X.)

C.A. 1995, 122, N2

1994

 $Na_{1,5}Ln^{3+}_{1,5}F_6$

18 Б2040. Кристаллические структуры новых минералов, [изученные] методом рентгенографического уточнения по Ритвельду. Crystal structures of new minerals by X-ray Rietveld refinement /Kabalov Yu. K., Sokolova E. V., Urusov V. S. // [Pap.] Int. Conf. «Powder Diffraction and Cryst. Chem.», St. Petersburg, 20—23 June :Collec. Abstr. — St. Petersburg ,1994 .— С. 43—44 .— Англ.

Рентгенографически с использованием автоматич. дифрактометра АДР-2 с уточнением профильных параметров по Ритвельду изучена крист. структура новых минералов: $Na_{1,5}Ln^{3+}_{1,5}F_6$ (I) из аракшановых демозитов (Вост. Саяны), гексагон. структура, параметры решетки $a = 5,9855$, $c = 5,1382 \text{ \AA}$, $Z = 1$, ф. гр. $P\bar{6}_3/m$; $CuNiSb_2$ (II) из Золотой горы (Центр. Урал), тригон. сингония, $a = 4,0510$, $c = 5,1382 \text{ \AA}$, $Z = 1$, ф. гр. $P\bar{3}m1$; новый минерал $Th(Na,Ca,U)_2(K_{1-\square})Si_8O_{20}$ (III) из Тянь-Шаня, тетрагон. структура, $a = 7,5797$, $c = 14,7119 \text{ \AA}$, $Z = 2$, ф. гр. $P4/mcc$, для к-рой характерно превалирующее положение ионов Ca в положении B вме-

кристал-
структур

71

X.1994, N/8.

сто Na в стеаците; согданит $(\text{Na}, \text{K}) (\text{Zr}^{4+}, \text{Fe}^{3+}, \text{Ti}, \text{Fe}^{2+})_{2-}$
 $(\text{Li}, \text{Al})_3(\text{Si}_{12}\text{O}_{30})$ (IV) (из Тянь-Шаня) с гексагон. структурой, а 10,0367, с 14,1992 Å, Z 2, ф. гр. P6/mcc, характеризующаяся 6-тичленными двойными кольцами Si—O (типа структуры миларита) и клинопироксено-эссенеит $\text{Ca}-\text{Fe}^{3+}\text{AlSiO}_6$ (V) (из Северного Урала) с монокл. структурой, а 9,7947, b 8,8650, с 5,3415 Å, β 105,854°, ф. гр. C2/c. Обсуждены структурные особенности I—V.

И. С. Шаплыгин

Nall - Dyll

1994

122: 144038d Mixing enthalpy and structure of the molten NaCl-DyCl₃ system. Takagi, Ryuzo; Rycerz, Leszek; Gaune-Escard, Marcelle (Research Laboratory Nuclear Reactors, Tokyo Institute of Technology, Meguro, Japan 152). Proc. - Electrochem. Soc. 1994, 94-13(MOLTEN SALTS), 99-107 (Eng). The enthalpies of mixing, $\Delta_{\text{mix}}H_m$, of the NaCl-DyCl₃ system were measured at 1100 K by direct calorimetry in the entire compn. range. The enthalpies of mixing are neg. with a min. value at $x_{\text{DyCl}_3} = 0.4$. Isothermal mol. dynamics (MD) simulations of the molten DyCl₃ and NaCl-DyCl₃ systems were carried out to calc. the mixing enthalpies and the structure of these systems was investigated. In the simulated systems the coordination no. of the Cl⁻¹ ions around the Dy³⁺ ion is 6. The complex ions Dy₂Cl₁₁⁵⁻ and Dy₃Cl₁₆⁷⁻ were obsd. as well as DyCl₆³⁻. Although most of these compds. share apex Cl⁻ ions, an edge sharing compn. was found around $x_{\text{DyCl}_3} \approx 0.4$.

(Anix H)

C. A. 1995, 122, N 12

NaF-LaF_3 1995

Abdour F.

Berkari M., et al.

A. H. f. Ghoutiex
Hugrelx Cee-
led, bergeron-
tree et repas.
Rapport.

Calorim. Anal.
Therm. 1995, 26,
119-24.

(cer. LiF-LaF_3 ; I)

NaF-NdF₃

1995

Abdoun F.

Berkani M., et al.

A Hf gboïreux

Héickeux eee- Calorim. anal.

eeu, legeoko-

merrepacé.

Therm. 1995, 26,

119-24.

(eeu. LiF-LaF₃; I)

1995

Na₂CeO₂
Na₂CeO₃

122: 177049m The reaction of liquid sodium with the oxides CeO₂ and Ce₂O₃ and the determination of the free energy of formation of NaCeO₂ and Na₂CeO₃. Barker, Marten G.; Frankham, Stephen A.; Gadd, Paul G. (Department of Chemistry, The University of Nottingham, Nottingham, UK NG7 2RD). *J. Nucl. Mater.* 1995, 218(2), 256-60 (Eng). NaCeO₂ and Na₂CeO₃ are stable in liq. Na. Their free energies of formation were measured by emf. methods. At 873 K Na₂CeO₃ requires high O levels in the Na for it to be formed but NaCeO₂ will form from Ce₂O₃ and Na at reactor operating O levels. CeO₂ reacts with liq. Na at 625 K forming NaCeO₂ and the heat of reaction was measured.

(A, F)

C.A.1995, 122, N 14

Om. 38260!

1995

Nall/Tellz

Hans-Joachim Seifert,^{*}

Nall/Dylls[†] Jürgen Sandrock

Morawietz et al.,

CRYSKAP

Upps. Acta Chem. Scand., 1995,

49, 653-

● 687

$\text{YbI}_2 - \text{NaI}$

1995

122: 171267j Measurement and calculation of the YbI_2 -Al (A = Na, K, Rb, Cs) phase diagrams. Qiao, Zhiyu; Zhuang, Weidong; Wu, Shiming; Wang, Shihua; Jiang, Shengbang (Dep. Phys. Chem., Univ. Sci. Technol. Beijing, Beijing, Peop. Rep. China 100083). *J. Solid State Chem.* 1995, 114(1), 146-50 (Eng). The phase diagrams of the YbI_2 -Al systems were measured by differential thermal anal. and X-ray powder diffraction. A set of thermodn. functions were optimized based on an interactive computer-assisted anal. The optimized phase diagrams and thermodn. data are self-consistent.

Day. group,
measured
CB - 12

(+3) \otimes

C.A. 1995, 122, N14

$\text{YbI}_2 - \text{KI}$,

$\text{YbI}_2 - \text{RbI}$

$\text{YbI}_2 - \text{CsI}$

NaTbCl₃

1995

123: 94626s Thermochemical and structural investigations on the systems NaCl/TbCl₃ and NaCl/DyCl₃. Seifert, H. J.; Sandrock, J.; Uebach, J. (Inorganic Chemistry, Universitat Gh Kassel, D-34109 Kassel, Germany). *Int. Harald A. Oeye Symp.* 1995, 69-76 (Eng). Edited by Soerlie, Morten; Oestvold, Terje; Huglen, Reidar. Norw. Inst. Technol., Inst. Inorg. Chem.: Trondheim, Norway. The pseudobinary systems NaCl-TbCl₃ and NaCl-DyCl₃

were investigated by DTA and X-ray diffraction. Three incongruent-melting compds. exist in both systems: NaLn₂Cl₇ (KDy₂Cl₇ - structure), NaLnCl₄ (NaGdCl₄ - structure), and dimorphous Na₃LnCl₆. Addnl., a compd. Na₂TbCl₅ (K₂PrCl₅ - structure) was found in the system with terbium chloride. The high-temp.-compds. H-Na₃LnCl₆ have cryolite structure, the low-temp.-compds. L-Na₃LnCl₆ crystallize in the "stuffed LiSbFe"-type. The analogous Eu- and Gd-compds. are stable only at higher temp. in the cryolite-structure, the "LiSbFe"-phases can be obtained metastable by quenching. By soln. calorimetry and emf. measurements in galvanic cells with solid electrolytes the enthalpies and free energies of formation of the ternary chlorides from the compds. adjacent in the systems were detd. Most stable are the compds. NaLnCl₄.

*M.X., CMA -
EuLnCl₆*

(i) X

C.A. 1995, 123, N8

NaDyCl₃

Nadylly

1995

Seifert H. J.,

Sandrock J. et al.

M. X.,
Ecuador -
Koreeb.

Int. Harald A. Oeye Symp.
1995, 69-76.

(Cope. Nadylly; ?)

F: NaTbCl₄

1995

P: 1

ЗБ359. Термохимические и структурные исследования в системах NaCl/TbCl[3] и NaCl/DyCl[3]. Thermochemical and structural investigations on the systems NaCl/TbCl[3] and NaCl/DyCl[3] / Seifert Hans-Joachim, Sandrock Jurgen, Uebach Jochen // Acta chem. scand. 1995. - 49, N 9. - C. 653-657. - Англ.

С помощью ДТА и дифракции рентгеновских лучей исследованы псевдобинарные системы NaCl - TbCl[3] и NaCl - DyCl[3]. В обеих системах существуют три никогруэнтио плавящихся соединения: NaLn[2]Cl[7] (со структурой типа KDy[2]Cl[7]), NaLnCl[4] (со структурой типа NaGdCl[4]) и диформное соединение Na[3]LnCl[3] (где Ln-Tb или Dy). Кроме того в системе с TbCl[3] найдено соединение Na[2]TbCl[5] (со структурой типа K[2]PrCl[5]). Методами калориметрии р-рения и измерения э. д. с. в гальванич. элементах с тв. электролитами определены энталпии образования и свободные энталпии образования тройных хлоридов.. Tm, DG, DH.

X.1996, N3

F: NaDyCl₄

P: 1

ЗБ359. Термохимические и структурные исследования в системах NaCl/TbCl[3] и NaCl/DyCl[3]. Thermochemical and structural investigations on the systems NaCl/TbCl[3] and NaCl/DyCl[3] / Seifert Hans-Joachim, Sandrock Jurgen, Uebach Jochen // Acta chem. scand. 1995. - 49, N 9. - C. 653-657. - Англ.

С помощью ДТА и дифракции рентгеновских лучей исследованы псевдобинарные системы NaCl - TbCl[3] и NaCl - DyCl[3]. В обеих системах существуют три инкогруэнтно плавящихся соединения: NaLn[2]Cl[7] (со структурой типа KDy[2]Cl[7]), NaLnCl[4] (со структурой типа NaGdCl[4]) и диформное соединение Na[3]LnCl[3] (где Ln-Tb или Dy). Кроме того в системе с TbCl[3] найдено соединение Na[2]TbCl[5] (со структурой типа K[2]PrCl[5]). Методами калориметрии р-рения и измерения э. д. с. в гальванич. элементах с тв. электролитами определены энталпии образования и свободные энталпии образования тройных хлоридов.. Tm, DG, DH.

1995

X. 1996, N3

Nall/TbCl₃

1995

123: 323328r Thermochemical and structural investigations on the systems NaCl/TbCl₃ and NaCl/DyCl₃. Seifert, Hans-Joachim; Sandrock, Juergen; Uebach, Jochen (Inorganic Chemistry, Univ. Gh Kassel, D-34109 Kassel, Germany). *Acta Chem. Scand.* 1995, 49(9), 653-7 (Eng). The pseudobinary systems NaCl/TbCl₃ and NaCl/DyCl₃ were investigated by DTA and X-ray diffraction. Three incongruently melting compds. exist in both systems: NaLn₂Cl₇ (KDy₂Cl₇ structure), NaLnCl₄ (NaGdCl₄ structure) and dimorphic Na₃LnCl₆. Addnl. a compd. Na₂TbCl₅ (K₂PrCl₅ structure) was found in the system with terbium chloride. The high-temp. compds. H-Na₃LnCl₆ have the cryolite structure, the low-temp. compds. L-Na₃LnCl₆ crystallize in the 'stuffed LiSbF₆'-type. The analogous Eu- and Gd-compds. are stable only at higher temp. in the cryolite structure, the 'LiSbF₆' phases can be obtained metastable by quenching. By soln. calorimetry and EMF vs. T measurements in galvanic cells for solid electrolytes the enthalpies ΔH° and free enthalpies ΔG° for the formation of the ternary chlorides from the compds. adjacent in the systems were detd. Most stable are the NaLnCl₄ compds.

F.X. CLEMENS

(7)

□



Nall/DyCl₃

(all open)

C.A. 1995, 123, N24

NaMCl₄

1995

M = Eu, Tb, Y

(T₂)

122: 305105r Synthesis and crystal structures of the ternary rare earth chlorides NaMCl₄ (M = Eu-Yb, Y). Wickleder, Mathias S.; Meyer, Gerd (Inst. Anorganische Chem., Univ. Hannover, Hannover, Germany). Z. Anorg. Allg. Chem. 1995, 621(4), 546-9 (Ger). Single crystals of NaErCl₄ were obtained from the melt of NaCl and ErCl₃ (1:1 molar ratio) by slow cooling. It crystallizes in the monoclinic crystal system (space group P2/c) with the structure of α -NiWO₄ with a 632.24(9), b 759.78(9), c 674.2(1) pm, β 92.310(3) $^\circ$, Z = 2. Two preparative routes to pure powder samples of the chlorides NaMCl₄ are described. At room temp., these are isotypic with NaErCl₄ (M = Tm-Yb; II) while the tricyclic structure of NaGdCl₄ is adopted with M = Gd-Ho, Y (I). Phase transitions from one structure to the other are obsd. for all compds. The transition temps. decrease with decreasing size of the ion M³⁺.

⊕☒



NaYCl₄ (T₂)

C.A. 1995, 122, N24.

1995

NaMCl₄
M=Er, Yb₂O₃

17 Б252. Синтез и кристаллические структуры тройных редкоземельных хлоридов NaMCl₄ (M=Eu—Yb, Y). Synthese und Kristallstrukturen der Ternären Selten-Erd-Chloride NaMCl₄ (M=Eu—Yb, Y) / Wickleder M. S., Meyer G. // Z. Anorg. und allgem. Chem. — 1995. — 621, № 4. — С. 546—549. — Нем.; рез. англ.

Проведен синтез NaMCl₄ (M=Er, Tu, Yb, Eu, Gd, Tb, Dy, Ho, Y, I—IX) растворением NH₄Cl, M₂O₃ (или Tb₄O₇) и NaCl в отношении NH₄:M:Na 3:1:1 в концентрир. HCl, высушиванием и разложением при 320 °C на NaMCl₄ и NH₄Cl. Монокристаллы I получены сплавлением ErCl₃ и NaCl в отношении 1:1 при 600 °C и охлаждением 5 °C/ч до 250 °C. Цвет кристаллов I — розовый, габитус неопределенный. Проведен РСТА I (λMo, 713 рассмотренных отражений, R1 0,0276). Параметры монокл. решеток I—III: а 632,18, 629,33, 628,03, б 760,66, 757,12, 755,23, с 674,91, 672,22, 669,97 пм, β 92,296, 92,223, 92,184°, Z 2, ф. гр. P2/c, структурный тип α-NiWO₄ (X). Параметры трикл. решеток IV—IX: а 704,04—699,18, б

Х. 1995, N 17

678,32—672,72; с 668,15—663,30 пм, α 100,963—100,55°, β 91,972—91,593°; γ 89,959—89,614°, V 94,74—92,30 Å³, Z 2, ф. гр. P1⁻, структурный тип NaGdCl₄ (V). Структурный тип X представляет собой сверхструктуру к типу PbO₂ с заполнением через слой позиций атомов Pb на атомы Na⁺ и M³⁺, или структуру внедрения в тип ZrCl₄. Атомы M образуют цепи [MCl_{4/2}Cl_{2/1}], состоящих из октаэдров, сочлененных цис-ребрами. Атом Cl¹⁻ координирован 2Er³⁺ и 1Na⁺; Cl²⁻ окружен 1Er³⁺ и 2Na⁺. Структура V слоистая, в к-рой КЧ M и Gd равно 7, а КЧ Cl⁻ равно 3 или 4. Все соединения существуют в двух формах, причем т-ра фазового перехода понижается в порядке: Eu, Gd, Tb, Dy, Ho, Y, Er, Tm, Yb, кроме того у III она минусовая! (—50 °C). Энергия активации очень мала, хотя переход 1 рода. Реберные связи семивершинников V сохраняются у октаэдров X. Из расчета следует, что кулоновская часть энергии решетки обеих структур отличается на 1,4%.

Н. Л. Смирнова



F: NaLnTiO₄

1996

P: 1

20Б260. Структура и ионная проводимость NaLnTiO[4];
Сравнение с аналогичными (характеристиками)
Na[2]Ln[2]Ti[3]O[10] (Ln=La, Nd, Sm, Gd). Structure
and ionic conductivity of NaLnTiO[4]; Comparison
with those of Na[2]Ln[2]Ti[3]O[10] (Ln=La, Nd, Sm,
and Gd) / Byeon S. H., Park K., Itoh M. // J. Solid
State Chem. - 1996. - 121, 2. - С. 430-436. - Англ.

Ритвелдовским уточнением порошковых рентгеновских
данных решены структуры NaLaTiO[4] (I), NaNdTiO[4]
(II), NaSmTiO[4] (III) и NaGdTIO[4] (IV).

Структуры I- IV тетрагон., ф. гр. P4/nmm; а
3,77343, 3,75055, 3,76127 и 3,77085, с 13,0178,
12,8242, 12,6335 и 12,4644; 'рo' (выч.) 4,89, 5,13,
5,29 и 5,39; R[1] 1,63, 2,37, 2,38 и 2,71%; R[wp]
9,69, 10,07, 11,16 и 9,90%. Чередующиеся двойные

слои NaO и LnO расположены в упорядоченной 1:1 последовательности - $(\text{NaO})[2]-\text{TiO}[2]-(\text{LnO})[2]-\text{TiO}[2]$ - вдоль оси с. Сдвиг атомов Ti из плоскости к двойным слоям NaO приводит к заметному искажению слоев $\text{TiO}[2]$. Также наблюдается складчатость слоев LnO , тогда как слои NaO почти гладкие. Параметр решетки с для I-IV уменьшается с ионным радиусом Ln , но параметр а такой тенденцией не характеризуется, что связано со складчатостью слоев LnO и объяснено недостаточной компенсацией зарядов между слоями NaO и LnO . I-IV представляют собой плохие ионные проводники с проводимостью на порядок меньшей, чем у соединений $\text{Na}[2]\text{Ln}[2]\text{Ti}[3]\text{O}[10]$. Их проводимость понижается от I(La) к IV(Gd) из-за уменьшения доступного объема для миграции ионов Na^+ .

$\text{NaF} - \text{RF}_3$
 $R = \text{Tm}, \text{Yb, Lu}$

1996

126: 149149h Phase diagrams of $\text{NaF}-\text{RF}_3$ systems ($R = \text{Tm}, \text{Yb}, \text{Lu}$). Fedorov, P. P.; Buchinskaya, I. I.; Bondareva, O. S.; Vistin, L. L.; Sobolev, B. P. (Inst. Kristallogr., RAN, Moscow, Russia). *Zh. Neorg. Khim.* 1996, 41(11), 1920–1924 (Russ), MAIK Nauka. Phase diagrams of the title systems were studied by DTA and x-ray phase anal. The high-temp. phases $\text{Na}_{0.5-x}\text{R}_{0.5+x}\text{F}_{2+2x}$ with fluorite-type structure were obsd. Upon quenching transformation of these phases into NaRF_4 compds. with gaggarinite-type structure and into ordered fluorite-type phases were obsd.

C.-A. 1997, 126, N 11

1996

NdCl₃ - NaCl 126: 255919u Phase diagram of NdCl₃-NaCl binary system.
Hosoya, Yuji; Terai, Takayuki; Tanaka, Satoru; Takahashi, Yoichi
(Dep. Quant. Eng. Syst. Sci., Univ. Tokyo, Tokyo, Japan 113). *Netsu Bussei* 1996, 10(4), 96-101 (Japan), Nippon Netsu Bussei Gakkai.
Molten chloride mixts. are considered to be a fast-breeder-reactor fuel
and a solvent in pyrochem reprocessing of nuclear spent fuel. In this
work, using NdCl₃ as an imitative substance in place of UCl₃ or PuCl₃,
the phase diagram of NdCl₃-NaCl binary system was constructed. An-
hyd. neodymium chloride (NdCl₃) of 99.9% in purity, sodium chloride
(NaCl) of 99.99% were used for the sample mixts. Chloride mixts. were
prep'd. by taking weighed amts. of the components prior to melting and
freezing under dry inert atm., and their compns. were detd. considering
loss in wt. due to vaporization of NaCl. These mixts. were ground prior
to use for differential thermal anal. (DTA) and x-ray diffractometry
(XRD). Transition temps. of each sample were obtained by DTA with
heating curves at a rate of 15 K/min in argon flowing at 100 mL/min,
and solid phases were characterized by XRD under dry nitrogen. In the
NdCl₃-NaCl system, an intermediate compd. of 3NdCl₃·NaCl, which
decomp's. at 540° to NdCl₃ and liq., and an eutectic at 437° were found.
The crystal structure of 3NdCl₃·NaCl was a hexagonal (of which lattice
parameters were $a_0 = 7.50 \text{ \AA}$, $c_0 = 4.25 \text{ \AA}$ at 22°). Light rare-earth
trichlorides have the same crystal structure as UCl₃ and PuCl₃, and
their thermochem. behavior is very similar to one another. Taking that
into account, it is considered that the phase diagrams for UCl₃-NaCl
and PuCl₃-NaCl systems should be reexam'd.

Pay. glas

C. A. 1997, 126
N 19

Nadilly

1996

18 Б252. Вариант структуры $\text{NaErCl}_4/\alpha\text{-NiWO}_4$ -типа у тройного редкоземельного хлорида типа NaMCl_4 : синтез и кристаллическая структура NaLuCl_4 . Eine Strukturvariante zum $\text{NaErCl}_4/\alpha\text{-NiWO}_4$ -Typ für ternäre Selten-Erd-Chloride vom Typ NaMCl_4 : Synthese und Kristallstruktur von NaLuCl_4 / Wickleder M. S., Güdel H. U., Armbruster Th., Meyer G. // Z. anorg. und allg. Chem. — 1996. — 622, № 5. — С. 785—789. — Нем. ; рез. англ. . Место хранения ГПНТБ

Бесцветные, в форме колонок кристаллы NaLuCl_4 (I) и NaScCl_4 (II) получены из LuCl_3 и ScCl_3 в отношении 1:1 с NaCl в кварцевых ампулах при 630 °С методом Бриджмена. Проведена порошковая рентгенография и РСТА I (20 °С, λMo, 1371 отражение, R 0,0152). Параметры ромбической решетки: I a 618,6, в 1592,2, с 657,0 пм, V 97,4 см³/моль, Z 4, ф. гр. Pbcp, II a 617,92, в 1553,63, с 635,67 пм. Структура изотипных I и II может быть представлена, как гексагональная плотнейшая упаковка ионов Cl. Слои перпендикулярны [100]. Атомы Lu

↗ (4)

X. 1996, N 18

занимают 1/4 позиций октаэдрических пустот. Октаэдры соединяются ребрами в цис-позиции с образованием цепочек $[LuCl_{4/2}Cl_{2/1}]_{\infty 1}$ вдоль [001]. Атомы Na также находятся в октаэдрах между слоями с Lu. Октаэдры Lu и Na соединены вершинами. Межатомные расстояния Lu—Cl 260,7, 267,5, 250,1, Na—Cl 290,1, 282,1, 279,4, Lu—Lu 401,1, Na—Na 502,0 пм. Проведено сравнение с родственными структурами $NaErCl_4$, $NaGdCl_4$.

Н. Л. Смирнова



Nat-Latz

1997

Abdour, F; facere-
Escaré, M; et al;

Paraguay,
Smith H.

g. phase Equilib. 1997,
18(1), 6-20.

(All. dif-Latz; I)

Eulla - Nall

1997

127: 351732u Phase diagram and Raman spectroscopy of EuCl₂-NaCl binary mixtures. Koyama, Yasuyuki; Takagi, Ryuzo; Iwadate, Yasuhiko; Fukushima, Kazuko (Research Laboratory for Nuclear Reactors, Tokyo Institute of Technology, 2-12-1 O-okayama, Meguro-ku, Tokyo, Japan). *J. Alloys Compd.* 1997, 260(1-2), 75-79 (Eng), Elsevier.
A phase diagram of the EuCl₂-NaCl system was detd. by differential scanning calorimetry (DSC) and the activity coeffs. of EuCl₂ and NaCl in this system were estd. under some assumptions. According to DSC measurement, it was found that there were two phase transitions at 1123.9 K and 1016.8 K. In order to specify the m.p. of EuCl₂ we did Raman spectroscopy expts. Thus, the m.p. of EuCl₂ was evaluated to be 1016.8 K which was detected as the lower peak in the DSC curve. Raman spectroscopy of this system suggested that complex species were not formed clearly in the EuCl₂-poor system and the estd. activity coeffs. of EuCl₂ also supported this suggestion.

OPCY. Gray
CKP



(4) Eulla (B T_m, T_{tz})

C.A. 1997, 127, N 25

NaHoCl₄

1997

24Б3174. Тройные хлориды в системах
NaCl/HoCl₃ и NaCl/ErCl₃. Ternäre Chloride in den
Systemen NaCl/HoCl₃ und NaCl/ErCl₃ / Seifert H. J.,
Sandrock J. // Z. anorg. und allg. Chem.— 1997.— 623,
№ 10.— С. 1525–1528.— Нем.; рез. англ. Место хранения
ГПНТБ России

(Fz)

Посредством ДТА и высокот-рной дифракции рентгено-вских лучей определены фазовые диаграммы систем NaCl—HoCl₃ и NaCl—ErCl₃. Показано существование соединений Na₃LnCl₆ и NaLnCl₄ (Ln=Ho, Er), а также NaHo₂Cl₇. Соединение NaHoCl₄ претерпевает при т-ре 374°C фазовый переход от структуры типа NaGdCl₄ к структуре типа NaErCl₄. С помощью калориметрии р-рения и измерений э.д.с. в гальванич. элементе с тв. электролитом определены термодинамич. ф-ции для образования тройных хлоридов из NaCl и LnCl₃. Найдено, что соединения NaLnCl₄ являются наиболее устойчивыми.

В. Ф. Байбуз

Х. 1997, № 24

NaHolly

1997

(T₂)

128: 16665t Ternary chlorides in the systems NaCl/HoCl₃ and NaCl/ErCl₃. Seifert, H. J.; Sandrock, J. (Abteilung Anorganische Chemie, Universitat Kassel, D-34109 Kassel, Germany). Z. Anorg. Allg. Chem. 1997, 623(10), 1525–1528 (Ger), Barth. Phase diagrams of the systems NaCl/HoCl₃ and NaCl/ErCl₃ were detd. by DTA and high-temp. XRD. There exist compds. Na₃LnCl₆, NaLnCl₄ (Ln = Ho, Er) and NaHo₂Cl₇. NaHoCl₄ undergoes a phase transition at 374° from the NaGdCl₄- to the NaErCl₄-type of structure. The thermodn. functions for the formation of the compds. from NaCl and LnCl₃ were detd. by

soln. calorimetry and e.m.f. measurements in galvanic cells for solid electrolytes. The compds. NaLnCl₄ are the most stable ones.

④ NaErCl₄ (newer
of payob.)

C.A. 1998, 128, N2

Natrolly

1997

Seifert H.-J., Sandrock J.;

Z. Anorg. Allg. Chem.

meines 1997, 623(10), 1525-28
Bragg.

(all. Natro[•]ly; I)

1997

F: NaErSe₂

P: 1

2Б253. Кристаллическая структура ErSeI и NaErSe[2].

Die Kristallstrukturen von ErSeI und NaErSe[2] /

Stowe K. // Z. anorg. und allg. Chem. - 1997. -

623, 10. - С. 1639-1643. - Нем.; рез. Англ.

Место хранения ГПНТБ России Транспортной реакцией получены розовые кристаллы ErSeI (I), ErSeBr (II). Проведен РСТА (I, 547 независимых отражений, 'лямбда'Mo, R 2,87%, 293 K). Параметры ромбической решетки I, a 418,26, b 558,4, c 884,0 пм, z 2, 'po' (выч.) 5,968, ф. гр. Pmmn, II 406,3, 559,2, 795 пм, структурный тип FeOCl. Межатомные

расстояния в октаэдре Er-Se 281,1, 284,0, Er-I
300,1, Er-Er 418,3, 415,0, Se-Se 383,5, 418,3, Se-I
428,0, 481,7, I-I 418,3, 419,9 пм. Розовые
кристаллы NaErSe[2] (II) получены при
взаимодействии $4\text{Er} + 6\text{Se} + 6\text{NaCl} \leftarrow$
 $> 3\text{NaErSe}[2] + \text{Na}_3\text{ErCl}_6$ при 850°C . Проведен
РСТА (293 К, 'лямбда' Mo, 193 независимых отражения,
R 2,47%). Параметры гексагональной решетки: а
408,41, с 2067,4 пм, Z 3, 'ро' (выч.) 5,808, ф. гр.
R 3 т, структурный тип 'альфа'-NaFeO[2], Na-Se
300,3, Er-Se 284,2, Se-Se 395,3, 408,4, 440,3 пм.

Eud-Na

1997

Zhao, Zhi-fang;
Wang, Shi-Hua; et
al.,

gymnosperma

faodeng Xuexiao

Xuetao 1997, 18(2), 182-185

(all. *Eud-Na*-Lipi; I)

Nalecly(2)

1998

130: 57789w Mass spectrometric and theoretical study of the mixed complex $\text{NaCeCl}_4(\text{g})$. Kapala, J.; Roszak, S.; Lisek, I.; Miller, M. (Institute of Inorganic Chemistry and Metallurgy of Rare Elements, Wroclaw University of Technology, 50-370 Wroclaw, Pol.). *Chem. Phys.* 1998, 238(2), 221-229 (Eng), Elsevier Science B.V.. The vaporization of the $\text{NaCl}-\text{CeCl}_3$ system was investigated at 919-1046 K by means of Knudsen effusion mass spectrometry. The vapor species NaCl , Na_2Cl_2 , CeCl_3 , and NaCeCl_4 were found in the equil. vapor and their partial pressures were evaluated. Theor. calcns. of the $\text{NaCeCl}_4(\text{g})$ structure were performed and the thermodn. functions of this mol. were evaluated. The enthalpy change of the dissocn. reaction $\text{NaCeCl}_4(\text{g})=\text{NaCl}(\text{g})+\text{CeCl}_3(\text{g})$ was detd. by the third-law method as $238.0 \pm 6.5 \text{ kJ mol}^{-1}$. The volatility enhancement of CeCl_3 by the formation of the vapor complex NaCeCl_4 was estd. from obtained thermodn. data of gaseous and condensed phases.

MacCrenk
+ Melop. pacit
P, DfH. . .



C.A. 1999, 130, N5

NaAsWO₆

1998

Karyakin, N. V. et al.,

Cp, memory
of III, AsS,
Sf f

Russ. J. Gen. Chem.
1998; 68(8), 1178-1182

(all. LiAsWO₆; I)

Nall - T_{eff}(u)

1998

lycerz, h; et al.,

(D₅₄) High Temp. Mater.
Processes (N.Y.) 1998, 2(4),
483 - 496

(all. Zill - T_{eff}; I)

$NdCl_3 - NaCl$

1998

(gray. glass)

130: 72135y Phase diagram of the neodymium chloride-sodium chloride system. Sato, T.; Ogawa, T. (Japan Atomic Energy Research Institute, Tokai-mura, Ibaraki-ken, Japan 319-11). *J. Therm. Anal. Calorim.* 1998, 52(2), 363-371 (Eng), Kluwer Academic Publishers. DTA was used to study the phase diagram of $NdCl_3$ -NaCl system. The peritectic reaction was found to occur at $540 \pm 7^\circ C$. The peritectic compd. was confirmed to be $Na_3Nd_5Cl_{18}$ by means of X-ray diffraction anal. The homogeneity range $Na_3Nd_5C_{18}$ could not be defined accurately, but appeared to be between 59 and 70 mol% of $NdCl_3$ at temps. between 300 and $540^\circ C$.

C. A. 1999, 130, N6

Ni_3ErCl_6 1995

Iwadate, Yasuhiko; et al.

(T_m) Electrochemistry (Tokyo)
1999, 67(6), 553-557

(all $\text{Ni}_3\text{Er} \bullet \text{Cl}_6$, T)

1999

F: NaNdCl₄(g)

P: 1

132:27065 Mass spectrometric and theoretical study
of the mixed complex NaNdCl₄(g). Kapala, J.; Lisek,
I.; Roszak, S.; Miller, M. Institute of Inorganic
Chemistry and Metallurgy of Rare Elements, Wroclaw
University o Technology Wroclaw 50-370, Pol.

Polyhedron, 18(22), 2845-2851 (English) 1999

The vaporization of the NaCl-NdCl₃ system was
investigated at 833-1116 K using Knudsen effusion mass
spectrometry. The vapor species NaCl, NdCl₃, NaNdCl₄
were found in the equil. vapor and their partial

C-A.2000, 132

pressures were evaluated. Theor. calcns. of the NaNdCl₄(g) structure were performed and thermodn. functions of the complex species were evaluated. The enthalpy of the dissociation reaction NaNdCl₄(g)=NaCl(g)+NdCl₃(g) was computed by the and third law methods. The value of $\Delta H^\circ(298) = 256.5 \pm 7.0$ resulted from this computation. The volatility enhancement of NdCl₃ by the formation of the vapor complex NaNdCl₄ was estd. from obtained thermodn. gaseous and condensed phases.

F: NaCl-NdCl₃

1999

P: 1

132:27065 Mass spectrometric and theoretical study
of the mixed complex NaNdCl₄(g). Kapala, J.; Lisek,
I.; Roszak, S.; Miller, M. Institute of Inorganic
Chemistry and Metallurgy of Rare Elements, Wroclaw
University o Technology Wroclaw 50-370, Pol.

Polyhedron, 18(22), 2845-2851 (English) 1999 The
vaporization of the NaCl-NdCl₃ system was investigated
at 833-1116 K using Knudsen effusion mass spectrometry.

The vapor species N NdCl₃, and NaNdCl₄ were found in
the equil. vapor and their partial press were evaluated.

Theor. calcns. of the NaNdCl₄(g) structure were
performe the thermodn. functions of the complex species
were evaluated. The entha change of the dissociation
reaction NaNdCl₄(g)=NaCl(g)+NdCl₃(g) was computed second
and third law methods. The value of
.DELTA.dH.degree.(298)=256.5. resulted from this
computation. The volatility enhancement of NdCl₃ by the
formation of the vapor complex NaNdCl₄ was estd. from
obtained thermodn. gaseous and condensed phases.

C.A. 2000, 75L

RE_2O_3 - Na_2Y

1949

$\text{RE} = \text{P37}$
 $(\text{Sm}, \text{Eu}, \text{Yb})$

Sun, Yimin; Qiao, Zhiyu,

Phys. Prop. High Temp. Mater.
Processes (N.Y.) 1999,
3(1), 125-140.

(all. RE_2O_3 - Li_2Y ; I)

$\text{Na}_\text{fd}(\text{WO}_4)_2$

2000

Voron'ko Yu. K. et al.,

Панарин
чекинг,
 T_{Z2} Трой. Материал 2000,
 36 (9), 947 - 953.

(ill. $\text{Na} \bullet \text{La}(\text{WO}_4)_2$)

$\text{NaYB(WO}_4\text{)}_2$ 2000

Voron'ko Yu. K. et al;

Passare
cheKMP,
 T_{Fe} Inorg. Mater 2000,
36(9), 947 - 953

(all)  $\text{NaLa(WO}_4\text{)}_2 \cdot \text{H}_2\text{O}$

$\text{Na La}(\text{WO}_4)_2$
 $\text{Ln} = \text{La, fd, Y, Yb}$

$\text{Na La}(\text{WO}_4)_2$ 2000

134: 22879f Raman spectra and phase transformations of the $\text{MLn}(\text{WO}_4)_2$ ($\text{M} = \text{Na, K}; \text{Ln} = \text{La, Gd, Y, Yb}$) tungstates. Voron'ko, Yu. K.; Sobol', A. A.; Ushakov, S. N.; Tsymbal, L. I. (Scientific Center for Laser Materials and Technologies, Institute of General Physics, Russian Academy of Sciences, Moscow, Russia 117942). *Inorg. Mater.* 2000, 36(9), 947–953 (Eng), MAIK Nauka/Interperiodica Publishing. The 300-K crystal structure, phase transformations, and melting of the $\text{MLn}(\text{WO}_4)_2$ ($\text{M} = \text{Na, K}; \text{Ln} = \text{La, Gd, Y, Yb}$) tungstates and the structure of their melts were studied by Raman spectroscopy.

Pанас
чекинг, Tz2 ☐

C. A. 2001, 134, N2

Na Nd

2003

F: $\text{NaNd}(\text{PO}_3)_4$, $\text{Nd}_2\text{O}_3\text{-Na}_2\text{O}\text{-P}_2\text{O}_5$ (T_m $\alpha\mu\kappa$)
P: 1 =

04.13-19Б3.46. Исследование фазовых равновесий в системе $\text{Nd}_2\text{O}_3\text{-Na}_2\text{O-P}_2\text{O}_5$. Квазибинарное сечение $\text{Nd}(\text{PO}_3)_3\text{-NaPO}_3$. St of phase equilibria in the system $\text{Nd}_2\text{O}_3\text{-Na}_2\text{O-P}_2\text{O}_5$. The quasi-bi section $\text{Nd}(\text{PO}_3)_3\text{-NaPO}_3$ / Znamierowska T., Bandrowski Sz. // Pol. J. Chem. - 2003. - 77, N 9. - С. 1131-1134. - Англ.

Квазибинарное сечение $\text{Nd}(\text{PO}_3)_3\text{-NaPO}_3$ в системе $\text{Nd}_2\text{O}_3\text{-Na}_2\text{O-P}_2$ Исследовано методами ДТА, ТГА, дериватографии и порошковой дифракции рентгеновских лучей и на основе полученных данных построена фазовая диаграмма системы $\text{Nd}(\text{PO}_3)_3\text{-}$

NaPO_3 . Найдено, что исходные метафосфаты реагируют молярном отношении 1:1, образуя промежуточное соединение $\text{NaNd}(\text{PO}_3)_4$. Подтверждено, что это соединение плавится инконгруэнтно при температуре 8 давая $\text{Nd}(\text{PO}_3)_3$ и жидкость с высоким содержанием NaPO_3 . Фосфат $\text{NaNd}(\text{PO}_3)_4$ является стабильным при комнатной температуре и не показывая полиморфных переходов.

Библ. 7.

Nd_xNaCr₂O₅) Tm. 42050

2004

NdM Cr₂O₅

(M = Na, K, Cs); Nd₂Mg Cr₂O_{5.5}.

Даеврекенов С.М., et al.

Неорганические материалы, 2004, 40, №9, 1115 - 1117

C_p "Синтез и свойства хромитов
(298 - 673 K), "NdM Cr₂O₅ (M = Na, K, Cs) и
T_{tz} Nd₂Mg Cr₂O_{5.5}:

+3



NaDyGalx

2002

F: NaCl-DyCl₃, NaBr-DyBr₃, NaI-DyI₃

P: 1

Na Dy Galx

04.05-19Б3.60. Термодинамика систем расплавленных солей NaX-DyX[3] (X=Cl, I). Thermodynamics of the NaX-DyX[3] (X=Cl, Br, I) molten salt systems / Baglio J. A., Brock L. R., Struck C. W. // *Thermochim. acta.* - 2002. - 38 1. - С. 27-34. - Англ.

Оценены термодинамические свойства для твердой, жидкой и газообразной сис NaBr-DyBr[3] и рассчитаны концентрации газовых фаз из различных компонент над расплавами систем NaX-DyX[3] (X=Cl, Br, I). На основе опубликованных фазовых диаграмм систем NaCl-DyCl[3] и NaI-DyI[3] и энталпий смешения для хлоридных систем с использованием модели многокомпонентного расплава полу фазовая диаграмма системы NaBr-DyBr[3] и энталпии смешения для всех трех исследованных систем.

2001

F: NaYbP₂S₆, NaSmP₂S₆ Na Lh P₂S₆

P: 1

02.07-19Б2.27. Модификация структурь на четвертичных тиофосфатах редких з NaYbP[2]S[6], NaSmP[2]S[6] и KSmP[2]S[7]. Structure modification on quate rare earth thiophosphates: NaYbP[2]S[6], NaSmP[2]S[6], and KSmP[2]S[7] / Eun-Young, Kim Eun-Jeong, Kim Sung-Jin // J. Solid State Chem. - 2001. № 1. - С. 195-204. - Англ.

Соединения NaYbP[2]S[6] (I), NaSmP[2]S[6] (II) и KSmP[2]S[7] (III) получе кристаллизацией из р-ра в расплаве галогенида щелочного металла или полихалькогенидов. I получен по стехиометрической реакции в системе Yb/S/P/NaCl при 700рС, а II и III - в системе Sm/S/P/Na[2]S(K[2]S[x]) при 750рС.

Проведен РСТА. Чувствительные к воздуху темнокрасные кристаллы I и триклинную ф. гр. P-1, а $a = 6,8241$, $b = 7,0371$, $c = 9,107$ Å, 'альфа' 87,17, 'бет' 87,62, 'гамма' 88,30, $Z = 2$, $R[1] = 1,47\%$, $WR[2] = 4,17\%$. Желтые пластинчатые кристаллы II имеют моноклинную

Ф. гр. Р2[1]/а, а 11,0717, b 7,2999, с 11, 'бета' 111,30, Z 4, R 4,37%. Бледно-желтые пластинки III характеризуются моноклинной Ф. гр. Р2[1]/а, а 8,981, b 12,254, c 9,609 Å, 'бета' 90,27р, R[1] 2,42%. I и II производные семейства M{I}M{III}Р[2]S[6]. I имеет структуру, сложенную плоскими монослоями; взаимодействие между слоями слоя В II два слоя типа MPS[3] связаны друг с другом. Особенности упорядочения Na{+} и катионов редких земель в двумерных слоях различны: атомы Na и Yb локализованы попарно в I, тогда как в II атомы Na и Sm образуют треугольную конфигурацию. Структура III подобна структуре ABiP[2]S[7] (A=K, Rb), где гофрированные слои образованы из единиц Sm{3+} и [P[2]S[7]]{4-}. Ширина запрещенной зоны, измеренная оптически, составляет для I и II 1,85 эВ и 2 эВ, соответственно.

Fabmirele K.C. u op.

KIK 42355

2009

(C_p Na₂Fe₂(MnO₄)(PO₄), C_p (6-348K)

Pyromusca, la negatii

V/K 42354

2009

Галенов В.С., Смирнова Н.Н. и др.

($\text{Cs}_2\text{Li}_2\text{Si}(\text{MoO}_4)(\text{PO}_4)$, с. (4-346К)

Рыжиков, л. керам